



This is a digital copy of a book that was preserved for generations on library shelves before it was carefully scanned by Google as part of a project to make the world's books discoverable online.

It has survived long enough for the copyright to expire and the book to enter the public domain. A public domain book is one that was never subject to copyright or whose legal copyright term has expired. Whether a book is in the public domain may vary country to country. Public domain books are our gateways to the past, representing a wealth of history, culture and knowledge that's often difficult to discover.

Marks, notations and other marginalia present in the original volume will appear in this file - a reminder of this book's long journey from the publisher to a library and finally to you.

Usage guidelines

Google is proud to partner with libraries to digitize public domain materials and make them widely accessible. Public domain books belong to the public and we are merely their custodians. Nevertheless, this work is expensive, so in order to keep providing this resource, we have taken steps to prevent abuse by commercial parties, including placing technical restrictions on automated querying.

We also ask that you:

- + *Make non-commercial use of the files* We designed Google Book Search for use by individuals, and we request that you use these files for personal, non-commercial purposes.
- + *Refrain from automated querying* Do not send automated queries of any sort to Google's system: If you are conducting research on machine translation, optical character recognition or other areas where access to a large amount of text is helpful, please contact us. We encourage the use of public domain materials for these purposes and may be able to help.
- + *Maintain attribution* The Google "watermark" you see on each file is essential for informing people about this project and helping them find additional materials through Google Book Search. Please do not remove it.
- + *Keep it legal* Whatever your use, remember that you are responsible for ensuring that what you are doing is legal. Do not assume that just because we believe a book is in the public domain for users in the United States, that the work is also in the public domain for users in other countries. Whether a book is still in copyright varies from country to country, and we can't offer guidance on whether any specific use of any specific book is allowed. Please do not assume that a book's appearance in Google Book Search means it can be used in any manner anywhere in the world. Copyright infringement liability can be quite severe.

About Google Book Search

Google's mission is to organize the world's information and to make it universally accessible and useful. Google Book Search helps readers discover the world's books while helping authors and publishers reach new audiences. You can search through the full text of this book on the web at <http://books.google.com/>



Über dieses Buch

Dies ist ein digitales Exemplar eines Buches, das seit Generationen in den Regalen der Bibliotheken aufbewahrt wurde, bevor es von Google im Rahmen eines Projekts, mit dem die Bücher dieser Welt online verfügbar gemacht werden sollen, sorgfältig gescannt wurde.

Das Buch hat das Urheberrecht überdauert und kann nun öffentlich zugänglich gemacht werden. Ein öffentlich zugängliches Buch ist ein Buch, das niemals Urheberrechten unterlag oder bei dem die Schutzfrist des Urheberrechts abgelaufen ist. Ob ein Buch öffentlich zugänglich ist, kann von Land zu Land unterschiedlich sein. Öffentlich zugängliche Bücher sind unser Tor zur Vergangenheit und stellen ein geschichtliches, kulturelles und wissenschaftliches Vermögen dar, das häufig nur schwierig zu entdecken ist.

Gebrauchsspuren, Anmerkungen und andere Randbemerkungen, die im Originalband enthalten sind, finden sich auch in dieser Datei – eine Erinnerung an die lange Reise, die das Buch vom Verleger zu einer Bibliothek und weiter zu Ihnen hinter sich gebracht hat.

Nutzungsrichtlinien

Google ist stolz, mit Bibliotheken in partnerschaftlicher Zusammenarbeit öffentlich zugängliches Material zu digitalisieren und einer breiten Masse zugänglich zu machen. Öffentlich zugängliche Bücher gehören der Öffentlichkeit, und wir sind nur ihre Hüter. Nichtsdestotrotz ist diese Arbeit kostspielig. Um diese Ressource weiterhin zur Verfügung stellen zu können, haben wir Schritte unternommen, um den Missbrauch durch kommerzielle Parteien zu verhindern. Dazu gehören technische Einschränkungen für automatisierte Abfragen.

Wir bitten Sie um Einhaltung folgender Richtlinien:

- + *Nutzung der Dateien zu nichtkommerziellen Zwecken* Wir haben Google Buchsuche für Endanwender konzipiert und möchten, dass Sie diese Dateien nur für persönliche, nichtkommerzielle Zwecke verwenden.
- + *Keine automatisierten Abfragen* Senden Sie keine automatisierten Abfragen irgendwelcher Art an das Google-System. Wenn Sie Recherchen über maschinelle Übersetzung, optische Zeichenerkennung oder andere Bereiche durchführen, in denen der Zugang zu Text in großen Mengen nützlich ist, wenden Sie sich bitte an uns. Wir fördern die Nutzung des öffentlich zugänglichen Materials für diese Zwecke und können Ihnen unter Umständen helfen.
- + *Beibehaltung von Google-Markenelementen* Das "Wasserzeichen" von Google, das Sie in jeder Datei finden, ist wichtig zur Information über dieses Projekt und hilft den Anwendern weiteres Material über Google Buchsuche zu finden. Bitte entfernen Sie das Wasserzeichen nicht.
- + *Bewegen Sie sich innerhalb der Legalität* Unabhängig von Ihrem Verwendungszweck müssen Sie sich Ihrer Verantwortung bewusst sein, sicherzustellen, dass Ihre Nutzung legal ist. Gehen Sie nicht davon aus, dass ein Buch, das nach unserem Dafürhalten für Nutzer in den USA öffentlich zugänglich ist, auch für Nutzer in anderen Ländern öffentlich zugänglich ist. Ob ein Buch noch dem Urheberrecht unterliegt, ist von Land zu Land verschieden. Wir können keine Beratung leisten, ob eine bestimmte Nutzung eines bestimmten Buches gesetzlich zulässig ist. Gehen Sie nicht davon aus, dass das Erscheinen eines Buchs in Google Buchsuche bedeutet, dass es in jeder Form und überall auf der Welt verwendet werden kann. Eine Urheberrechtsverletzung kann schwerwiegende Folgen haben.

Über Google Buchsuche

Das Ziel von Google besteht darin, die weltweiten Informationen zu organisieren und allgemein nutzbar und zugänglich zu machen. Google Buchsuche hilft Lesern dabei, die Bücher dieser Welt zu entdecken, und unterstützt Autoren und Verleger dabei, neue Zielgruppen zu erreichen. Den gesamten Buchtext können Sie im Internet unter <http://books.google.com> durchsuchen.

GRUNDRISS
DER
ELEKTROTECHNIK

Verfaßt von
HEINRICH KRATZERT.

I. Theil, 1. Buch.

LEIPZIG UND WIEN
FRANZ DEUTICKE

Digitized by Google

Library
of the
University of Wisconsin

GRUNDRISS DER ELEKTROTECHNIK

für den praktischen Gebrauch,
für Studierende der Elektrotechnik und
zum Selbststudium.

Verfasser :

Heinrich Kratzert,

Ingenieur und k. k. Professor für Elektrotechnik an der Fachschule für Elektrotechnik
der k. k. Staatsgewerbeschule in Wien, X.

I. Theil, 1. Buch.

2. Auflage.

**Elektricitätslehre mit besonderer Berücksichtigung der praktischen
Nutzanwendungen, Wechselströme und Maße.**

Mit 117 Abbildungen.

LEIPZIG UND WIEN.
FRANZ DEUTSCHE.

1899.

Alle Rechte vorbehalten.

Verlags-Nr. 606.

95892
MAY 1 1906

TN
K 86
—
1
—
1

6968405

Vorwort.

Das 1. Buch dieses Grundrisses der Elektrotechnik zerfällt in die folgenden drei Abtheilungen:

1. Die allgemeine Elektrizitätslehre, welche die für den praktischen Elektrotechniker wichtigsten Gesetze und Erscheinungen der Elektrizität umfasst. An Bekanntes anschließend, soll hier jener Zusammenhang der allgemeinen und angewandten Elektrizitätslehre (Elektrotechnik) vermittelt werden, der wohl zu einer leichten Einführung in den Gegenstand und zu einem gründlichen Studium desselben unerlässlich ist. Diese Abtheilung führt in kürzester Zeit durch die gesammte Elektrotechnik. Die größte Aufmerksamkeit fanden die elektrischen Maschinen und Motoren. Die Stromrichtung wurde in diesen Apparaten mit Zuhilfenahme meiner Stromrichtungsregel bestimmt. Auf diesem Wege kommt man sehr bald in die Lage, diese Strom- und die Kraftlinienrichtungen augenblicklich anzugeben. Von den neuesten Erscheinungen, welche Aufnahme gefunden haben, seien angeführt: Röntgenstrahlen, Télescripteur, Zerograph, Fernseher, Beleuchtung und Telegraphie ohne Draht u. s. w. Der Umfang dieser Abtheilung hat sich durch praktische Zusätze etwa verdoppelt.

2. Die Maße. Auch die zweite Abtheilung wurde in dieser Auflage eingehender, als in der ersten erörtert. Nur auf diese Weise ist ein Einblick in die elektrischen Einheiten zu erzielen. Diese Lehren sollen weiters mit möglichst elementaren Mitteln für ein streng wissenschaftliches Studium des Gegenstandes vorbereiten. Am häufigsten kommen in der Praxis Widerstandsmessungen vor. Als Grundlage für diese Messungen sind sechs Tabellen sammt Erläuterungen beigegeben. Dieselben geben Zahlenwerte über Widerstände, Leistungsfähigkeiten, Widerstandszunahmen und Temperaturskoeffizienten der wichtigsten Leiter, die meines Wissens das erstmal in so großem Umfange veröffentlicht werden.

3. Die Wechselströme bilden einen neu aufgenommenen Abschnitt der sich in ungeahnter Entwicklung befindlichen Industrie.

IV

Mit dem Maßstabe in der Hand habe ich die einfachsten Darstellungen und Lösungen der Aufgaben angestrebt.

Soweit es der Raum zuließ, wurde es versucht, durch Ziffern-Beispiele belebend in den Stoff einzugreifen. Dieses Buch dürfte somit eine Grundlage für jedes elektrotechnische Studium bilden und sich daher nicht nur für die folgenden Bücher dieses Grundrisses der Elektrotechnik, sondern auch für elektrotechnische Specialwerke als Einleitung sowie selbständig für den praktischen Gebrauch, für Studierende und für das Selbststudium eignen. Jenen Collegen und Freunden, welche mich durch Zeichnungen, Berichtigungen und durch das Lesen der Correc-turen wesentlich unterstützt haben, spreche ich auch an dieser Stelle meinen besten Dank aus und danke ebenso allen beteiligten Kreisen für die wohlwollende Aufnahme der 1. Auflage meines Grundrisses der Elektrotechnik.

Wien, im Juni 1898

Der Verfasser.

Inhalts - Verzeichnis.

Allgemeine Elektrizitätslehre.

Einleitung.

	Seite
1. Gegenstand	1

I. Abschnitt.

Elektricität der Ruhe.

I. Kapitel. Die Elektricität im Zustande der Isolation	3
2. Elektrischer Grundversuch	3
3. Positiv und negativ elektrische Körper	3
4. Gute und schlechte Leiter der Elektricität	4
5. Mittheilung der Elektricität	4
6. Elektroskope	4
7. Elektricität durch Fernwirkung	5
8. Natürliche und gebundene Elektricität	5
9. Diëlektrische Polarisaton	6
10. Elektrisiermaschine	6
11. Die Hydroelektrisiermaschine	7
12. Ansammlungsapparate (Kondensator und Ladungsapparat)	7
13. Plattenkondensatoren	7
14. Cylinderkondensatoren	9
15. Kugelkondensatoren	10
16. Kondensatoren	10
17. Diëlektricität	10
18. Influenzelektrisiermaschine	11
19. Atmosphärische Elektricität	11
20. Blitz, Donner, Blitzableiter	11
21. Nordlicht (Polarlicht)	11
22. Ruhende Elektricität	11
II. Kapitel. Die Wirkungen der Elektricität	12
23. Wirkungen des elektrischen Stromes	12
I. Wirkungen im Schließungsbogen	12
24. Physiologische Wirkungen	12
25. Chemische Wirkungen	12
26. Wärmewirkungen	12

	Seite
27. Lichtwirkungen	13
28. Mechanische Wirkungen	13
II. Wirkungen außerhalb des Schließungskreises	13
29. Magnetische Wirkungen	13
30. Elektrische Wirkungen	13

II. Abschnitt.

Elektricität der Bewegung.

I. Kapitel. Die Entstehung des galvanischen Stromes	14
31. Elektricitäts-erregung durch den chemischen Vorgang	14
32. Wesen der Elektricität	14
II. Kapitel. Maße	16
33. Das Ohm	16
34. Das Ampère	21
35. Das Volt	21
36. Das Ohm'sche Gesetz	22
37. Das Farad	25
38. Arbeit, Effekt (Leistung)	26
III. Kapitel. Gesetze sammt Anwendungen	26
39. Sinus- und Tangens-Gesetz	26
40. Biot-Savart'sches Gesetz	28
41. Tangentenbusssole	28
42. Erstes Gesetz nach Kirchhoff	33
43. Zweites Gesetz nach Kirchhoff	34
44. Einfache Stromverzweigung	34
45. Die Brückenmethode nach Wheatstone (Kirchhoff)	36
46. Thomson'sche Doppelbrücke	37
IV. Kapitel. Wirkungen des galvanischen Stromes	38
47. Eintheilung	38
I. Wirkungen des galvanischen Stromes im Stromkreise	39
48. Physiologische Wirkungen	39
49. Chemische Wirkungen	39
50. Wärmewirkungen	44
51. Lichtwirkungen	46
52. Mechanische Wirkungen	46
II. Wirkungen des galvanischen Stromes in die Ferne	46
1. Magnetische Wirkungen oder Elektromagnetismus	46
53. Grundgesetz	46
54. Galvanometer	47
55. Elektromagnet	48
56. Gleichstrom-Läutewerk	50
57. Wechselstrom-Läutewerk	52
2. Elektrische Wirkungen oder Wirkungen der Bewegung des elektrischen Stromes oder Elektrodynamik	53
I. Wechselwirkungen zwischen Strömen und zwischen Strömen und Magneten	58
58. Parallele Ströme	58

	Seite
59. Gekreuzte Ströme	53
60. Kraftlinientheorie	54
61. Anwendung der Kraftlinientheorie	56
62. Magnetische Felder der Ströme	60
63. Vergleich zwischen Strömen und Magneten	60
II. Elektrodynamische Induktion	61
a) Strom- oder Voltainduktion	61
64. Gegenseitige Induktion	61
65. Selbstinduktion	62
b) Induktion durch Magnete (Magneto- u. Elektromagnetinduktion)	63
66. Grundversuch	63
67. Das Gesetz nach Lenz	65
68. Das Gesetz nach Maxwell	66
69. Magnetelektrische Maschine	66
70. Elektrische Maschinen mit gesondert (separat) erregten Magneten	71
71. Dynamoelektrischer Grundsatz	71
72. Gleichstrom-Dynamomaschine	72
73. Wechselstrom-Dynamo	75
74. Elektromotoren	76
75. Funkeninduktor nach Ruhmkorff	78
76. Transformator	78
77. Das Telephon	78
78. Induktion der körperlichen Leiter	80
79. Induktion höherer Ordnung	80
c) Elektrische Schwingungen	81
80. Telegraphie und Beleuchtung ohne Draht	81
V. Kapitel. Weitere Elektrizitätsquellen	82
81. Die Thermoelektricität	82
82. Thierische Elektricität	83

Angewandte Elektrizitätslehre oder Elektrotechnik.

I. Abschnitt.

Physikalische Maße.

83. Einleitung	84
I. Kapitel. Mechanische Maße	85
84. Fläche.	85
85. Rauminhalt (Körper-, Kubikinhalt oder Volumen)	85
86. Geschwindigkeit	86
87. Winkelgeschwindigkeit der drehenden Bewegung	87
88. Beschleunigung.	88
89. Winkelbeschleunigung	88
90. Kraft	89
91. Arbeit	90
92. Effekt (Arbeitsstärke, Zeitarbeit, Intensität der Arbeitsleistung).	90
93. Drehungsmoment	91
94. Trägheitsmoment	91
95. Wärmeäquivalent	91

VIII

	Seite
II. Capitel. Magnetische Maße	92
96. Magnetische Quantität (Polstärke oder absolute Einheit der Pole)	92
97. Magnetisches Moment	92
98. Magnetisches Potential	93
99. Intensität der Magnetisierung oder spezifischer Magnetismus	93
100. Intensität des magnetischen Feldes	93
101. Magnetisches Drehungsmoment	94
III. Capitel. Elektrostatische Maße	94
102. Elektrizitätsmenge	94
103. Elektrostatische Stromeinheit	94
104. Elektrostatisches Potential	95
105. Intensität des elektrischen Feldes	95
106. Kapazität	95
107. Widerstand	96
IV. Capitel. Elektromagnetische Einheiten	96
108. Stromstärke	96
109. Elektrizitätsmenge	97
110. Elektromotorische Kraft (Spannung, Spannungsdifferenz, elektrisches Potential, Potentialdifferenz)	97
111. Induktionskoeffizient	98
112. Widerstand und Leitungsfähigkeit mit 6 Tabellen	98
113. Kapazität	109
114. Elektrische Arbeit	110
115. Elektrischer Effekt	110
3 Tabellen über die Maße	111—113

II. Abschnitt.

Wechselströme.

I Kapitel. Allgemeines.	
116. Methoden	114
117. Das einfache Sinusgesetz	114
118. Summation zweier periodisch veränderlicher Größen	120
119. Zusammensetzung mehrerer periodisch veränderlicher Größen	121
120. Verhältnis zwischen maximaler und mittlerer elektromotorischer Kraft	122
121. Mittelwerte periodisch veränderlicher Größen	
122. Arbeit des Wechselstromes	123
II. Kapitel. Wechselstromkreis mit Widerstand, Selbstinduktion und Kapazität	
123. Stromkreis mit Widerstand und Selbstinduktion	126
124. Widerstände mit Selbstinduktion und Hintereinanderschaltung	128
125. Widerstand ohne Selbstinduktion hinter Widerstand mit Selbstinduktion	129
126. Widerstände mit Selbstinduktion in Parallelschaltung	130
127. Kondensator im Wechselstromkreis	131

Allgemeine Elektrizitäts-Lehre.

Einleitung.

1. Gegenstand. Alles, was wir durch unsere Sinne wahrnehmen können, heißt *Sinnenwelt* oder *Natur*.

Die Wissenschaft, welche sich mit der Erforschung und Erkenntnis alles dessen, was wir durch unsere Sinne wahrnehmen können, befasst, heißt *Naturwissenschaft* oder *Naturkunde*.

Mit den Sinnen nehmen wir wahr:

a) *Natur-Körper* oder *Gegenstände*, das sind mit *Stoff* (*Materie* oder *Substanz*) ausgefüllte, allseitig begrenzte Theile des *Raumes* und

b) *Erscheinungen* oder *Phänomene* (*Eigenschaften* und *Veränderungen*), die nicht allein, sondern nur an den *Körpern* vorkommen, z. B. *Ton*, *Farbe*, *Ruhe*, *Bewegung* u. s. w.

Die *Naturwissenschaft* zerfällt demnach in die *Beschreibung* der *Naturkörper* (*Naturprodukte* im Gegensatze zu *Kunstprodukten*), *Naturbeschreibung* oder *Naturgeschichte* und in die *Untersuchung* der an den *Körpern* auftretenden *Erscheinungen*, *Naturlehre*.

Die *Naturkörper* zerfallen in *organische Körper* (*Thiere* und *Pflanzen*) und *unorganische* (*leblose*) *Körper*.

Mit den *Erscheinungen* an den *unorganischen Körpern* befassen sich die *Physik* und die *Chemie*. Jene *Erscheinungen*, bei welchen der *Stoff* der *Körper* nicht verändert wird, gehören in das Gebiet der *Physik*, jene *Erscheinungen* dagegen, bei welchen der *Stoff* der *Körper* verändert wird, in das Gebiet der *Chemie*.

Die nächsten Zweige der *Physik* sind: *Mechanik*, *Schall*, *Licht*, *Wärme*, *Magnetismus* und *Elektricität*.

Die *Elektricitätslehre* zerfällt in die *allgemeine Elektricitätslehre* und in die *angewandte Elektricitätslehre* oder *Elektrotechnik*.

Die *allgemeine Elektricitätslehre* lehrt die *Erscheinungen*, die *Gesetze* und *Wirkungen* der *Elektricität*, die *angewandte Elektricitätslehre* oder *Elektrotechnik* dagegen wendet die *Wir-*

kungen der Elektrizität in der elektrotechnischen Industrie für die verschiedensten Zwecke des praktischen Lebens an.

Die allgemeine Elektrizitätslehre zerfällt in 2 Theile:

1. Elektrizität der Ruhe (Reibungselektrizität, statische Elektrizität oder Elektrostatik), welche die Erscheinungen, die Gesetze, sowie die Wirkungen sehr kurze Zeit dauernder (augenblicklicher oder momentaner) Ströme (elektrischer Schläge) oder auf längere oder kürzere Zeit unterbrochene (diskontinuirliche) Folgen solcher Ströme zum Gegenstande hat.

2. Elektrizität der Bewegung (Berührungselektrizität, dynamische Elektrizität, Galvanismus oder Voltaismus), welche sich mit den Erscheinungen, den Gesetzen und den Wirkungen einer ununterbrochenen (kontinuirlichen) Gegenströmung und Vereinigung der beiden entgegengesetzten Elektrizitäten befasst.

I. Abschnitt. *Elektricität der Ruhe.*

I. Kapitel.

Die Elektricität im Zustande der Isolation.

2. Elektrischer Grundversuch. Reibt man einen Glasstab (eine Glasröhre) mit Seide, so erhält derselbe folgende Eigenschaften:

a) Der Glasstab zieht Hollundermarkkugeln, Papierschnitzelchen u. s. w. an und stößt sie nach der Berührung wieder ab.

b) Beim Reiben hört man ein knisterndes Geräusch.

c) Zwischen Reibzeug und Glasstab springen kleine Funken über.

d) Aus dem Glasstabe kann man mit den Fingern Funken ziehen, die im Finstern sichtbar sind. Dabei empfindet man in den Fingern (Knöcheln) einen schwachen Stich.

e) In der Nähe des Glasstabes macht sich ein eigener Geruch (Ozon-Geruch) bemerkbar.

f) Kommt man mit dem Gesichte in die Nähe des Glasstabes, so glaubt man, dass man sich in einem Spinnennewe befindet.

Ein Körper, welcher diese Eigenschaften besitzt, ist elektrisch. Die Ursache elektrischer Erscheinungen nennt man Elektricität.

Bei sämtlichen Versuchen über Reibungselektricität müssen die Apparate trocken und warm sein und bleiben.

Dem griechischen Philosophen Thales von Milet (600 v. Chr.) war die Eigenschaft des Bernsteines (ēlektron), durch Reiben die Fähigkeit zu erlangen, andere Körper anzuziehen, bekannt; erst im Jahre 1600 wurde dieselbe Eigenschaft von dem englischen Physiker William Gilbert an andern Körpern nachgewiesen.

3. Positiv und negativ elektrische Körper. Theilt man zwei nebeneinander befindlichen Ballons A und B, Fig. 1, die Elektricität

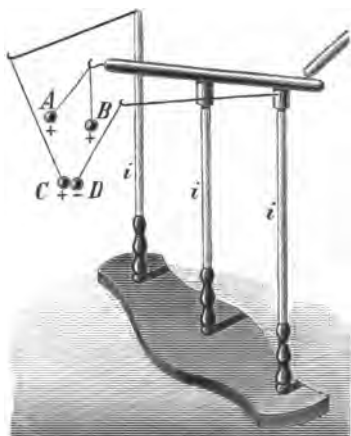


Fig. 1. Apparat zum Nachweise des elektrischen Grundversuches.

einer geriebenen Glasstange mit, so werden sich dieselben abstoßen. Dasselbe geschieht, wenn man den beiden Ballons die Elektrizität einer mit Flanell, Wolle oder Pelz geriebenen Harzstange übermittelt, d. h.: Gleichnamige Elektrizitäten stoßen einander ab.

Theilt man, Fig. 1, einem Ballon *C* Glas-, dem anderen *D* Harz-Elektrizität mit, so ziehen sie einander aus größerer Entfernung an, d. h.: Ungleichnamige Elektrizitäten ziehen einander an.

Sobald sich letztere Ballons berühren, heben die beiden Elektrizitäten einander auf, ähnlich wie positive und negative Größen in der Mathematik d. h.:

Gleiche Mengen positiver und negativer Elektrizität heben sich auf (neutralisieren sich). Dieses Gesetz steht im Zusammenhange mit der Annahme, dass jeder unelektrische Körper beide Elektrizitäten in gleicher Menge enthalte (Symmer).

Man nennt mit Franklin (1751) die Glaselektrizität die positive, die Harzelektrizität die negative Elektrizität.

4. Gute und schlechte Leiter der Elektrizität. Körper, welche die Elektrizität, wenn sie mit einem elektrischen Körper bestrichen werden, schnell aufnehmen und sie ebenso schnell an ihre Umgebung abgeben, nennt man gute Leiter der Elektrizität; diese müssen, wenn ihre Elektrizität andauern soll, durch schlechte Leiter der Elektrizität (Isolatoren oder Diëlektrica) isoliert werden, das sind solche Leiter, welche die Elektrizität sehr langsam aufnehmen und sehr langsam abgeben.

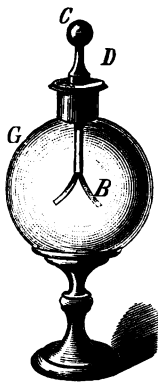


Fig. 2.
Elektroskop.

Gute Leiter sind die Metalle, Kohle u. s. w., schlechte Leiter dagegen Glas, Porzellan, Guttapercha, Kautschuk, Holz, Hartgummi, Lithin, Ebonit, Vulkanit, Baumwolle, Hanf, Jute, Seide, Papier, Pressspan, Fibre, Stabilit, Mikanit, Glimmer u. s. w. Die Metalle und die Kohle nennt man Leiter 1. Ordnung, die Säuren und Salzlösungen Leiter 2. Ordnung.

5. Mittheilung der Elektrizität. Streicht man einen guten Leiter mit einem elektrischen Körper, so wird derselbe durch Mittheilung gleichnamig elektrisch; die Menge der Elektrizität, die der gestrichene Körper gleich nach der Mittheilung besitzt, hat der streichende Körper verloren.

6. Elektroskope. Jeder Apparat, welcher dazu dient, den elektrischen Zustand eines Körpers und die Art desselben zu erkennen, nennt man ein Elektroskop.

Eines der gebräuchlichsten Instrumente ist das Goldblattelektroskop von Bennet (1787), Fig. 2. In einem Glasballon *G* sind die beiden Goldblättchen *B* an einem Messingdrahte *D* befestigt. Der Messingdraht ist an der Einführung in den Ballon durch Schellack isoliert. Das Ende des Messingdrahtes steht mit dem Kollektorknopfe *C* in metallischer Verbindung.

1. Versuch. Erkennung des elektrischen Zustandes eines Körpers. Legt man an den Knopf *C* einen elektrischen Körper, so werden die beiden Pendel *B* gleichnamig elektrisch und stoßen einander ab.

2. Versuch. Unterschied zwischen positiver und negativer Elektrizität. Theilt man dem Knopfe *C* Glaselektrizität mit, so gehen die beiden Pendel *B* auseinander, sie fallen jedoch zusammen, wenn man dem Knopfe *C* gleich darauf Harzelektrizität mittheilt.

Versieht man das Elektroskop mit einer Theilung, und zwar so, dass man die Ablenkung der Blättchen aus der lothrechten Lage ablesen kann, dann nennt man dasselbe Elektrometer. Anwendung: Messung der atmosphärischen Elektrizität.

7. **Elektrizität durch Fernwirkung.** Nähert man, Fig. 3, einem elektrischen Körper *A* einen unelektrischen *BC*, welchen der Glasträger *J* isoliert trägt, so wird der letztere Körper an der Seite *B* ungleichnamig, an der Seite *C* mit dem Körper *A*, gleichnamig elektrisch. Diese Elektrizität, heißt Elektrizität durch Fernwirkung, Vertheilung, Influenz oder Induktion.

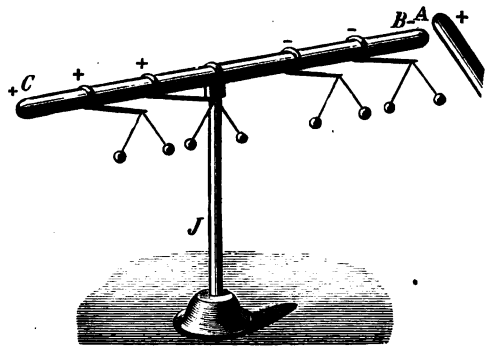


Fig. 3. Influenz-Apparat.

8. Natürliche und gebundene Elektrizität. Jeder

Körper ist von Natur aus elektrisch und enthält beide Elektrizitäten in gleicher Menge (§ 3). Berührt man, Fig. 3, den Körper *BC* mit dem Finger, so springt zwischen Körper und Finger ein Funke über, die Pendel in *C* fallen zusammen, d. h. die positive Elektrizität ist zur Erde abgeleitet worden, die Pendel bei *B* stoßen einander stärker ab, d. h. die negative Elektrizität des Körpers *BC* bleibt von der positiven des Körpers *A* gebunden.

9. Dielektrische Polarisation. Auch auf Nichtleiter wirkt die Elektrizität in die Ferne ein, jedoch nur derart, dass die entgegengesetzten Elektricitäten in den kleinsten Theilchen (Massentheilchen oder Molekülen) derselben, sowie es Fig. 4 veranschaulicht, getrennt werden. Dieser Zustand der Nichtleiter heißt dielektrische Polarisation. Jedes Massentheilchen zeigt $+$ und $-$ Elektricität. Die ungleich-

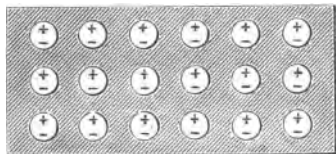


Fig. 4. Dielektrische Polarisation.

namigen Pole sind ähnlich wie in Fig. 3 dem in die Ferne wirkenden elektrischen Körper zu-, die gleichnamigen dagegen abgewendet.

10. Elektrisiermaschine (Otto von Guericke, 1663), Fig. 5. Die wichtigsten Bestandtheile der Elektrisiermaschine sind folgende:

- a) Ein zu reibender Körper, Glasscheibe G .
- b) Ein reibender Körper, Reibzeug, Reibkissen R überzogen mit einem Amalgam (Quecksilber-Legierung), bestehend aus Quecksilber, Zinn und Zink).
- c) Ein isolierter Leiter, $+$ Konduktor C , welcher die erzeugte $+$ Elektricität aufnimmt.
- d) Ein isolierter Leiter, $-$ Konduktor K , welcher die erzeugte $-$ Elektricität aufnimmt.

Auf dem Konduktor kann behufs Vergrößerung seiner Oberfläche der sogenannte Winter'sche Ring aufgesteckt werden. Derselbe besteht aus einem Kupferdraht, welcher sich innerhalb eines Holzringes befindet. Kupferdraht und Konduktor stehen in metallischer Verbindung, so dass durch den Kupferdraht die Oberfläche des Konduktors vergrößert erscheint.

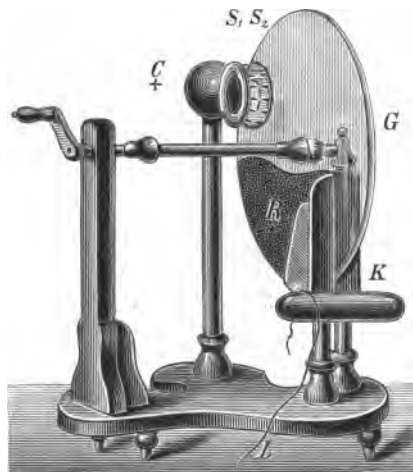


Fig. 5. Reibungs-Elektrisir-Maschine.

Aus den beiden Holzringen S_1 und S_2 , welche sich zu beiden Seiten der Glasscheibe G befinden, ragen gegen die Scheibe hin metallische Saugspitzen hervor, von denen eine Metalleitung zum Konduktor führt. Die Saugspitzen saugen die $+$ Elektricität durch die sogenannte Spitzenwirkung von der Glasscheibe G auf

den $+$ Konduktor C . Beim Reiben wird die Scheibe positiv, das Reib-

zeug negativ elektrisch. Die — Elektrizität strömt auf den — Konduktor *K*. Eine von diesen beiden Elektrizitäten muss zur Erde abgeleitet werden, wenn sich die beiden Elektrizitäten nicht schon beim Entstehen wieder vereinigen sollen. In Fig. 5 deutet *L* die Leitung zur Erde an.

Einfache Elektrisiermaschinen stellen Übersetzungen, z. B. Riemenübersetzungen dar.

Bei dem Schleifen des Riemens überspringen zwischen Riemen und Scheibe Funken; aus dem Riemen kann man Funken ziehen.

11. Die Hydroelektrisiermaschine (Armstrong, 1880) erzeugt Elektrizität durch Reibung von Wasserdämpfen an dem Hahne eines isolierten Dampfkessels.

12. Ansammlungsapparate (Kondensator und Ladungsapparat). Von dem Konduktor einer Elektrisiermaschine aus kann man einem Leiter nur so lange Elektrizität mittheilen, bis die elektrische Dichte des Leiters gleich derjenigen des Konduktors ist. Zur Ansammlung grosser Mengen beider Elektrizitäten in zwei von einander isolierten Leitern oder einer Elektrizität in einem Leiter und zur Verdichtung kleiner Elektrizitätsmengen, um dieselben nachweisen und messen zu können, dienen die sogenannten Ansammlungsapparate; sie beruhen wesentlich auf der im § 7 beschriebenen Fernwirkung der Elektrizität. Die beiden Leiter heißen Belegungen (Elektroden, Armaturen), die trennende Schicht nennt man Dielektricum.

Die Kondensatoren werden in Platten-, Cylinder- und Kugelkondensatoren eingetheilt.

13. Plattenkondensatoren.

Diese Kondensatoren bestehen aus zwei sich gegenüberstehenden, parallelen, leitenden Platten. Zwischen den Platten befindet sich ein Isolator.

Die Platte, welcher Elektrizität mitgetheilt wird, heißt Kollektor, die andere Kondensatorplatte.

1. Der Ansammlungsapparat von Rieß (1853), Fig. 6. Die wichtigsten Bestandtheile dieses Apparates sind der Kollektor *A*, der Kondensator *B* und der Fortsatz

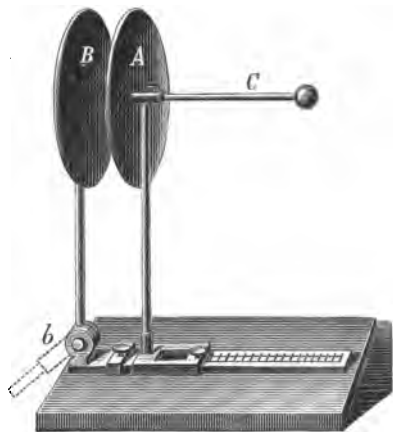


Fig. 6. Ansammlungs-Apparat nach Rieß.

C sammt der Kugel, getragen von dem Kollektor *A*. Klappt man *B* um das Gelenke *b* um und verbindet *C* mit dem + Konduktor einer

Elektrisiermaschine, so wird A durch Mittheilung positiv elektrisch. Dreht man nun B in die der Figur entsprechende Stellung zurück, so wirkt A auf B vertheilend ein. Die A zugewendete Fläche von B wird durch Fernwirkung negativ, die abgewendete positiv elektrisch. Die $+$ Elektrizität von B wird die $-$ Elektrizität von B neutralisieren (§ 3). Leitet man jedoch die $+$ Elektrizität B zur Erde ab, so wird die $-$ Fläche von B stärker elektrisch. Diese $-$ Elektrizität zieht die $+$ Elektrizität von A und C in die dem Kondensator zugewendete Fläche von A , so dass die Dichte der Elektrizität in A und C vermindert wird. Die Dichte der Elektrizität der Fortsatzkugel sinkt unter die des Konduktors der Elektrisiermaschine und bei gegenseitiger Berührung muss auf die Fortsatzkugel wieder Elektrizität übergehen. Dieser Vorgang wiederholt sich so lange, bis die Dichte der Elektrizität der Fortsatzkugel gleich ist der Dichte der Elektrizität auf dem Konduktor der Elektrisiermaschine; dann ist der Ansammlungsapparat geladen.

Unter der Verstärkungszahl eines Ansammlungsapparates versteht man den Quotienten der Dichte des Kollektors durch die des Konduktors oder den Quotienten der Dichte der Fortsatzkugel vor und nach der Drehung des Kondensators bei der ersten Einströmung der Elektrizität.

$$\text{Verstärkungszahl} = \frac{\text{Dichte des Kollektors.}}{\text{Dichte des Konduktors.}}$$

Nach Rieß gelten folgende Gesetze:

1. Für größere Scheiben ist die Verstärkungszahl größer.
2. Die Verstärkungszahl nimmt ab, wenn die Entfernung zunimmt (bei kleineren Entfernungen umgekehrt proportional).
3. Die Verstärkungszahl nimmt etwas zu, wenn die Länge der Zuleitung stark abnimmt.
4. Die Verstärkungszahl ist größer, wenn der Ableitungsdraht des Kondensators zu seiner Fläche parallel läuft, als wenn er dazu senkrecht ist.
5. Die Verstärkungszahl ist größer, wenn die Zuleitung nach der Mitte des Kollektors anstatt nach dem Rande hin erfolgt.
6. Die Verstärkungszahl hängt von der Art des Isolators ab.

Bei einem Scheibendurchmesser von 184 mm, einer Scheibenentfernung von 4.5 mm, einer Dichte am Ende der Zuleitung von 0.155 von der Anfangsdichte war die Verstär-

$$\text{kungszahl} = \frac{1}{0.155} = 6.4; \text{ bei einer Entfernung von } 9 \text{ mm} = \frac{1}{0.274} = 3.6.$$

2. Kondensatorelektroskop, Fig. 7. Volta hat den Ansammlungsapparat dazu verwendet, um Elektrizitäten von geringer Dichte nachzuweisen. Schraubt man anstatt des Kollektorknopfes C , Fig 2, auf die Zuleitungsstange des Elektroskopes die Kondensatorplatte C und stellt darauf die Kollektorplatte P mit dem isolierenden Glasgriffe J , so veranschaulicht diese Anordnung ein sehr empfindliches

Instrument zur Nachweisung ganz geringer Elektrizitätsmengen. Kollektor und Kondensator sind an den sich berührenden Flächen mit einer Firnisschichte überzogen, welche als Isolator dient. Theilt man z. B. bei dieser Anordnung der Kollektorplatte $C +$ Elektrizität mit und berührt die Kondensatorplatte P ableitend, so zeigt das Elektroskop $+$ Elektrizität an, wenn die Kondensatorplatte abgehoben wird.

3. Die Franklin'sche Tafel, Fig. 8, besteht aus einer viereckigen Glastafel, welche zu beiden Seiten mit Stanniol so belegt ist, dass ein breiter Rand frei bleibt. Der freibleibende Rand wird, um Feuchtigkeit abzuhalten, mit Sieglackfirnis bestrichen.

4. Glimmer-, Papier- und andere Kondensatoren werden durch Übereinanderschichtung von Stanniolblättern und Blättern aus isolierendem Materiale (Glimmer, Papier u. s. w.) hergestellt.

5. Die Normalkondensatoren von Siemens & Halske bestehen aus einem Systeme von übereinanderliegenden Metallscheiben, welche sich, sorgfältigst isoliert, in einem Kasten befinden. Während des Gebrauches wird durch den Kasten trockene Luft von 20° C. geblasen.

6. Jede Luftleitung, z. B. eine Telegraphen oder Telephonleitung stellt einen Kondensator vor; die Leitung bildet einen, die Erde den zweiten Leiter, die Luft den Isolator.

14. Cylinderkondensatoren sind aus von einander isolierten, leitenden Cylindern zusammengesetzt.

1. Die Leydnerflasche (Kleist 1745, Cuneus 1746), Fig. 9, sammelt größere Elektrizitätsmengen an als ein Leiter für sich aufzunehmen vermag. Sie besteht aus einem innen und außen bis zu $\frac{2}{3}$ seiner Höhe mit Stanniol belegten Glasbecher, auf dessen freier Oberfläche zur Abhaltung von Feuchtigkeit Sieglackfirnis aufgetragen ist. Während die eine Belegung leitend mit der Erde verbunden ist, führt man der anderen Elektrizität z. B. dadurch zu, dass man den Knopf K an den Konduktor einer thätigen Elektrisiermaschine legt. Stärkere elektrische Ladungen erhält man, wenn man die äußeren und inneren Belegungen mehrerer Flaschen zu einer sogenannten Batterie verbindet.

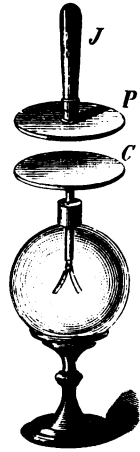


Fig. 7.
Kondensator-
Elektroskop.

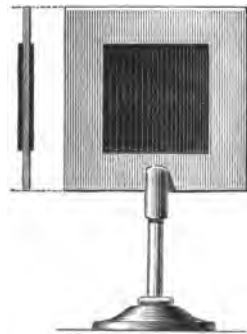


Fig. 8.
Franklin'sche Tafel.

2. Kabel für die elektrische Beleuchtung und Kraftübertragung besitzen einen inneren Kupferleiter, einen Isolator und einen äußeren Blei- (oder Blei- und Eisenband-) Leiter und sind deshalb sowie Telegraphen- und Telephonkabel als Kondensatoren anzusehen. Man kann auch das Wasser oder die Erde, in welchen das Kabel liegt, als äußeren Leiter ansehen.



Fig. 9.
Leydnerflasche.

15. Kugelkondensatoren. Verbindet man eine metallene Hohlkugel mit einer Elektrisiermaschine und bringt dieselbe im Innern einer zweiten metallenen Hohlkugel an, welche mit der Erde leitend verbunden ist, so erhält man einen Kugelkondensator.

16. Kondensatoren.

Die Kondensatoren sind nur für augenblickliche Stromwirkungen durchlässig, für längere dagegen erweisen sie sich als undurchdringlich; sie finden deshalb nur in der Elektrizität der Ruhe und für Wechselströme Anwendung.

Schaltet man einen Kondensator an die Pole einer Gleichstrom-Elektrizitätsquelle (Element oder Gleichstrommaschine), so wird sich derselbe bis zur Dichte (§ 13) der Pole der Elektrizitätsquelle laden; eine weitere Elektrizitätsströmung erscheint ausgeschlossen. Bei der letzteren Anordnung stellen die Kondensatorplatten die Fortsetzung der Pole der Elektrizitätsquelle vor und müssen deshalb als Theile derselben dasselbe Potential besitzen.

Anwendung der Kondensatoren in der Elektrotechnik. Untersuchungen an Kabeln, Beleuchtung und Kraftübertragung mittels Wechselstrom, Telegraphie, Telephonie, Bestimmung von Kapacitäten, Dielektricitäts-Konstanten, Induktions-Koeffizienten u. s. w.

17. Dielektricität (Faraday 1838, Boltzmann 1872—75). Befinden sich zu beiden Seiten eines Nichtleiters entgegengesetzte elektrische Ladungen, so wird in dem Nichtleiter ein eigenthümlicher Zustand hervorgerufen, welcher auf die Ladungen zurückwirkt. Man nennt diesen Zustand und die damit verbundenen Veränderungen der Ladungen Dielektricität (siehe auch § 9). Das Dielektricum eines geladenen Kondensators befindet sich im Zustande der Dielektricität. Die Zahl, welche anzeigt, wie vielmal so stark die Ladung eines Kondensators bei Anwendung eines anderen Dielektricums ist als der Luft, heißt Vertheilungszahl¹⁾ (Dielektricitätskonstante, spezifische Induktionskapazität) des Isolators.

¹⁾ Dr. von Waltenhofen, Die internationalen absoluten Maße, Seite 110.

18. Die Influenzelektrisiermaschine (Holtz, 1865) erzeugt aus einer gegebenen kleinen Elektrizitätsmenge durch ununterbrochene Influenzwirkung große Elektrizitätsmengen. Poggendorf hat im Jahre 1876 mit solchen Maschinen das Problem der Kraftübertragung durch Influenzelektricität gelöst, indem er den Strom einer Influenzelektrisiermaschine in eine zweite schickte und so deren drehbare Scheibe in Rotation versetzte. Die Influenzelektrisiermaschinen liefern viel größere Elektrizitätsmengen als die bisher besprochenen Apparate.

19. Atmosphärische Elektrizität.

Die Elektrizität der Luftschichten ist in der Regel $+$, die der Wolken bald $+$, bald $-$.

20. Blitz, Donner, Blitzableiter. Den Entladungsfunken zweier Wolken oder einer Wolke und der Erde nennt man den Blitz, das durch denselben verursachte Geräusch den Donner. Den Ausgleich der Elektrizitäten der Gewitterwolken und der Erde vermittelt der Blitzableiter (Benjamin Franklin, 1753).

21. Nordlicht (Polarlicht) ist eine atmosphärische Lichterscheinung, welche aus einer leuchtenden Krone am nördlichen Horizonte (Nordlichtkrone) besteht.

22. Ruhende Elektrizität.

Die Reibung ist die Quelle der ruhenden Elektrizität; letztere wird weiters durch alle Vorgänge erregt, welche eine ähnliche Erschütterung der Massentheilchen (Moleküle) von Körpern zur Folge haben.

Solche Erschütterungen rufen hervor:

1. Feilen, Schaben, Zerschneiden, Zerschneiden, Auseinanderreißen vieler Substanzen, Druck und Erwärmung.

Beispiele: Die von Harz, Wachs, Holz u. s. w. abgeschabten Theile sind elektrisch. Beim Zerschneiden von Holz, Abspalten von Glimmer- oder Gypsblättchen zeigen die Spaltungsflächen Spuren von Elektrizität. Die Bruchflächen einer gebrochenen Siegelackstange sind elektrisch. Zerschneidet man einen Kork und drückt die Schnittflächen gegeneinander, so zeigen sie Spuren von Elektrizität. Viele Krystalle werden durch Druck oder Erwärmung elektrisch. Durch Druck erhalten elektrische Eigenschaften: Doppelspat, Arragonit, Flussspat, Bergkrystall; durch Erwärmung: Turmalin u. s. w.

Mit den elektrischen Erscheinungen bei Erhitzung der Krystalle befasst sich die Pyroelektrizität.

2. Flussspat wird durch Beleuchten elektrisch. Erscheinungen dieser Art nennt Hankel photoelektrische, dagegen aktinoelektrische das Elektrischwerden des Bergkrystalls u. s. w. nach Absorption von Wärmestrahlen.

3. Der Verbrennungs-Vorgang; die Flammen des Wasserstoffgases, Alkohols u. s. w. haben elektrische Eigenschaften.

4. Das Glimmen der Körper z. B. die Elektrizität erzeugt durch das Anzünden eines Räucherkerzchens u. s. w.

5. Das Verdampfen. Chemisch reines Wasser bleibt beim Verdampfen unelektrisch; das Wasser wird $+$ und der Dampf $-$ elektrisch, wenn es mit den Oxyden von

Kalium, Natrium, Calcium oder Barium gemischt erscheint, das Wasser wird — und der Dampf + elektrisch, wenn das Wasser eine lösliche Säure, ein Carbonat, Sulfat, Chlorid, Nitrat oder Acetat aufgenommen hat. Verdampft man mit diesen Salzen gemischtes Wasser unter einem Drucke, welcher größer ist, als der Luftdruck, so wächst die Menge der Elektrizität mit dem Drucke.

II. Kapitel.

Die Wirkungen der Elektrizität.

23. Wirkungen des elektrischen Stromes. Die Wirkungen des elektrischen Stromes lassen sich am besten mit Hilfe eines Dauerstromes, wie wir ihn in der Berührungselektrizität kennen lernen werden, nachweisen. Hier kommen nur die Wirkungen der augenblicklichen Ströme der ruhenden Elektrizität, die Wirkungen des raschen Verlaufes und plötzlichen Ausgleiches großer Elektrizitätsmengen des Entladestromes in Betracht.

Die Wirkungen des Stromes zerfallen:

I. Wirkungen im Schließungskreise.

1. Physiologische Wirkungen.
2. Chemische Wirkungen.
3. Wärmewirkungen.
4. Lichtwirkungen.
5. Mechanische Wirkungen.

II. Wirkungen außerhalb des Schließungskreises.

1. Magnetische Wirkungen.
2. Elektrische Wirkungen.

I. Wirkungen im Schließungsbogen.

24. Physiologische Wirkungen.

Schaltet man seinen Körper in den Schließungsbogen einer Elektrizitätsquelle, so fühlt man im Augenblicke der Entladung einen Schlag im Innern des Körpers. Starke Entladungen können dauernde Lähmungen, ja sogar den Tod zur Folge haben. Lässt man auf eine Stelle des Körpers den Strom oft überspringen, so bildet sich daselbst eine Blase.

25. Chemische Wirkungen.

Der Entladungsstrom zerlegt chemisch zusammengesetzte Flüssigkeiten.

26. Wärmewirkungen.

Durch den Funken der Elektrisiermaschine kann man Äther, Alkohol, Terpentin und andere ätherische Öle, ebenso Knallgas, feste Körper, Schießpulver, Schießbaumwolle, Dynamit, Meganit u. s. w. entzünden.

Starke Entladungen bewirken das Roth-, Weißglühen und Schmelzen eines Drahtes.

Anwendung: Elektrische Glüh- und Funkenzündung.

27. Lichtwirkungen.

Die elektrische Entladung durch die Luft, durch irgend ein Gas oder durch Flüssigkeiten ist mit einer Lichterscheinung verbunden. Beim Entladen einer elektrischen Batterie, einer Elektrisiermaschine u. s. w. sieht man helle Funken überspringen.

Durchgang der Elektrizität durch Gase. Die Luft und Gase sind im verdünnten Zustande für die Elektrizität leicht durchlässig. Schmilzt man in ein Glasrohr an jedem Ende desselben einen Draht (Elektrode) ein, verdünnt in dem Rohre die Luft und schaltet diese Elektroden in die sekundären Windungen eines Ruhmkorff (§ 75), so entsteht zwischen den Elektroden ein violettes Lichtband. Man nennt diese Röhren Geißler'sche Röhren. Hittorf fand (1869), dass bei steigender Verdünnung die Glaswand gegenüber der Kathode hellgrün leuchtet. Es gehen von der Kathode Strahlen aus, welche selbstleuchten phosphorescieren. Diese Strahlen heißen Kathodenstrahlen und die Röhren Hittorfsche (William Crookes'sche) Röhren. Nach Wilhelm Conrad Röntgen gehen von der Stelle des Selbstleuchtens Strahlen aus, welche auf photographische Platten einwirken und fluorescenzfähige Körper zum Leuchten (Fluorescieren) erregen. Letztere Strahlen durchdringen die meisten nichtmetallischen Körper (Holz, Kautschuk, Hartgummi, Kork, Kohle, Graphit, Aluminium, menschlicher Körper u. s. w.), so dass man durch diese Körper hindurch photographieren kann.

28. Mechanische Wirkungen.

Die aus den Spitzen des Konduktors einer Elektrisiermaschine ausströmende Elektrizität bringt Bewegungen hervor, von den Spitzen geht ein Luftstrom aus, den man leicht mittels einer Flamme und weiters dadurch, dass er fühlbar ist, nachweisen kann. Elektrische Entladungen durchlöchern Papier, Glas u. s. w.

II. Wirkungen außerhalb des Schließungskreises.

29. Magnetische Wirkungen.

Der um eine Magnetnadel geführte augenblickliche Strom vermag dieselbe abzulenken. Stahlnadeln, welche in der Nähe des Entladestromes liegen oder um welche derselbe geführt wird, erscheinen dauernd magnetisch.

30. Elektrische Wirkungen.

Die elektrischen Wirkungen sind Influenzwirkungen. Körper, welche dem Konduktor einer Elektrisiermaschine nahe stehen, werden durch Influenz elektrisch. Entladet man den Konduktor plötzlich, so vereinigen sich die früher durch Influenzwirkung getrennten Elektricitäten ebenfalls plötzlich. Diese Erscheinung führt den Namen elektrischer Rückschlag.

II. Abschnitt.

Elektricität der Bewegung.

1. Kapitel.

Die Entstehung des galvanischen Stromes.

31. Elektricitätserregung durch den chemischen Vorgang
(Galvani 1789, Volta 1794).

Ebenso wie durch Reibung entsteht durch Berührung zweier Körper miteinander Elektricität.

Taucht man zwei verschiedene Metalle in eine Flüssigkeit, so dass sie mit der Flüssigkeit und durch diese miteinander in Berührung stehen, so werden sie an beiden Enden (inner- und außerhalb der Flüssigkeit) entgegengesetzt elektrisch.

Die Metalle und die Kohle zeigen auch freie Elektricität, wenn man sie einzeln in eine Flüssigkeit taucht; die Flüssigkeit besitzt die entgegengesetzte Elektricität.

Die Ursache der Elektricitätserregungen nennt man elektromotorische Kraft; letztere wirkt auf die sich berührenden Körper gleichsam vertheilend ein, hebt den natürlichen Zustand der Körper (§ 8) auf, führt die positive Elektricität auf den einen, die negative Elektricität auf den anderen Pol und erhält die entgegengesetzten Elektricitäten getrennt.

Unter einem elektrischen Strome versteht man die dauernde Erzeugung, Gegenströmung und Vereinigung der beiden Elektricitäten in einem Leiter.

Die Metalle und die Kohle lassen sich in eine Reihe bringen, welche die folgenden Eigenschaften besitzt:

a) Das in der Reihe vorangehende Glied wird an dem aus der Flüssigkeit hervorragenden, freien Ende negativ elektrisch.

b) Der Unterschied in der elektromotorischen Kraft der Endpole ist derselbe, es mögen sich die Metalle und die Kohle unmittelbar oder durch ihre Zwischenglieder in der Reihe berühren.

- c) Die elektromotorische Kraft ist um so größer, je weiter die Metalle in der Spannungsreihe auseinander stehen.

Die wichtigsten Glieder dieser sogenannten Spannungsreihe sind: Amalgamiertes Zink, Zinn, Blei, Eisen, Kupfer, Silber, Gold, Platin und Kohle.

Galvani beobachtete 1789, dass ein Froschpräparat zuckt, wenn die Muskeln mit einem Metalle, die Nerven mit einem anderen Metalle berührt werden und beide Metalle untereinander in Verbindung stehen.

Volta gab im Jahre 1794 die richtige Erklärung dieser Erscheinung; er bezeichnete als Ursache obiger Zuckung die durch die Berührung der beiden Metalle entstandene Elektrizität.

32. Wesen der Elektrizität.

Zur Versinnlichung des Wesens der Elektrizität bedient man sich in der Regel des Wassers, indem man das Gewicht des Wassers mit der Stromstärke, das Gefälle des Wassers H , Fig. 10, mit der Spannung, den Widerstand, welchen das Wasser in einer Rohrleitung L erfährt, mit dem Widerstande des elektrischen Stromes in Drähten vergleicht.

1. Vergleich zwischen dem Gewichte des Wassers und der Stromstärke.

Fließt durch eine Rohrleitung L , Fig. 10, viel Wasser, so muss dieselbe einen großen Querschnitt haben. Hat der Strom in einem Elektrizitätsleiter eine hohe Stromstärke, so muss derselbe einen großen Querschnitt haben.

2. Vergleich zwischen dem Gefälle des Wassers und der Spannung (dem Gefälle des Stromes).

Nur wenn zwischen den Wasserspiegeln zweier Gefäße R und R_1 ein Gefälle z. B. H , Fig. 10, herrscht, fließt zwischen denselben Wasser.

Nur wenn zwischen zwei Punkten eines Elektrizitätsleiters eine Spannungsdifferenz (elektrisches Gefälle) herrscht, fließt zwischen denselben Strom.

3. Vergleich zwischen dem Widerstande, den eine Rohrleitung dem Wasser und ein Elektrizitätsleiter dem Strome entgegensetzen.

Je enger eine Rohrleitung ist, desto größer wird verhältnismäßig der Widerstand sein, welchen das Wasser in derselben zu überwinden

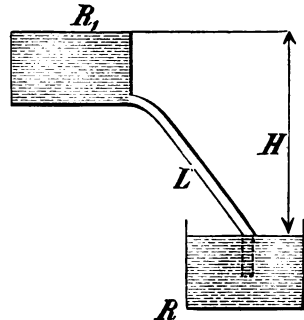


Fig. 10. Vergleich zwischen Elektrizität und Wasser.

hat. Je kleiner der Querschnitt eines Elektrizitätsleiters ist, desto höher stellt sich der Widerstand, den der elektrische Strom zu überwinden hat.

4. Vergleich zwischen den Leistungsfähigkeiten des Wassers und Stromes.

Je größer das Wassergewicht und das Gefälle sind, desto leistungsfähiger zeigt sich das Wasser. Je größer die Stromstärke und die Spannung sind, desto leistungsfähiger ist der elektrische Strom.

Die neuesten wissenschaftlichen Forschungen über das Wesen der Elektrizität (Michael Faraday, Hermann von Helmholtz, Clark Maxwell und Heinrich Hertz) haben mathematisch und versuchsweise dargethan, dass die Elektrizität sowie das Licht eine Wellenbewegung eines angenommenen Stoffes, des sogenannten Lichtäthers, ist.

Nach Maxwell betragen die Geschwindigkeit der Elektrizität und des Lichtes 300.000 Kilometer in der Sekunde.

II. Kapitel.

Maße.

33. Das Ohm, die Einheit des Widerstandes wird dargestellt durch den Widerstand, welchen ein beständiger elektrischer Strom durch eine Quecksilbersäule von 14·4521 Grammasse bei 0° C. einem gleichförmigen Querschnitte und einer Länge von 106·3 *cm* erfährt.

1 Ohm = dem Widerstande einer Quecksilbersäule von 106·3 *cm* Länge, 1 *mm*² Querschnitt bei 0° C. = 1 Ω .

1 Ohm = dem Widerstande einer Quecksilbersäule von 100 *cm* Länge, 1 *mm*² Querschnitt bei +70° C.

1 Ohm, = 1.063 S. E. (Siemens Einheiten).

1 legales Ohm = 1.06 S. E.

1 S. E. = dem Widerstande einer Quecksilbersäule von 100 *cm* Länge, 1 *mm*² Querschnitt bei 0° C. = 0.94073 Ohm.

Unter dem specifischen Widerstande eines Drahtes versteht man den Widerstand des Drahtes bei 1 *m* Länge und 1 *mm*² Querschnitt.

Der specifische Widerstand eines Kupferdrahtes (also der Widerstand eines Kupferdrahtes von 1 *m* Länge und 1 *mm*² Querschnitt) = 0.016 Ohm. Zwischen Länge, Querschnitt und Widerstand von Kupferdrähten bestehen demnach folgende Beziehungen:

$$\begin{array}{llll}
 \text{Länge} = 1 \text{ m, Querschnitt} = 1 \text{ mm}^2, \text{ Widerstand } W = 0.016 \text{ Ohm,} & & & \\
 " = 2 " , " = 1 " , " & W = 0.016 \times 2, & & \\
 " = 2 " , " = 3 " , " & W = 0.016 \times \frac{2}{3}, & & \\
 " = L " , " = q " , " & W = 0.016 \times \frac{L}{Q}. & &
 \end{array}$$

Es ergibt sich demnach für den Widerstand eines Kupferdrahtes die Formel:

$$W = 0.016 \cdot \frac{L}{Q}.$$

Charakteristisch für den Kupferdraht ist in dieser Formel der spezifische Widerstand des Kupfers = 0.016 Ohm. Für Eisen hat man deshalb anstatt 0.016 die Zahl 0.1, für Neusilber anstatt 0.016 die Zahl 0.3, also die besonderen Zahlen für das betreffende Material einzuführen. Soll die Formel allgemein, d. h. für alle Drahtmaterialie gültig sein, so setzt man anstatt der besonderen Zahlen eine allgemeine Zahl (einen Buchstaben) z. B. C ein; dann erhält man den Widerstand W aus der Formel:

$$W = C \cdot \frac{L}{Q}. \text{ Daraus ergeben sich für die Länge } L \text{ die Formel:}$$

$$L = \frac{W \cdot Q}{C}, \text{ für den Querschnitt } Q \text{ die Formel:}$$

$Q = C \cdot \frac{L}{W}$ oder nach der Konstanten (dem spezifischen Widerstande) aufgelöst:

$$C = \frac{W \cdot Q}{L}, \text{ in welchen Formeln}$$

W = Widerstand in Ohm,

C = Widerstand eines Meters von 1 mm² Querschnitt,

L = Länge in Metern und

Q = Querschnitt in mm² bedeuten.

L muss in Metern, Q in mm² gegeben sein, weil der spezifische Widerstand C in diesen Maßen gegeben ist. Aus den letzten Formeln folgt, dass der Widerstand eines Drahtes mit seiner Länge wächst und mit seinem Querschnitte abnimmt.

Beispiel: Wie groß ist der Widerstand W eines Drahtes aus Neusilber ($C = 0.3$), von 100 m Länge und 10 mm² Querschnitt?

$$W = 0.3 \cdot \frac{100}{10} = 3 \text{ Ohm.}$$

Beispiel: Welchen Widerstand hat ein Kupferdraht ($C = 0.016$) von 200 m Länge und 0.19 cm² Querschnitt?

$$0.19 \text{ cm}^2 = 19 \text{ mm}^2; W = 0.016 \cdot \frac{200}{19} = 0.1684 \text{ Ohm.}$$

Beispiel: Wie groß ist die Länge eines Kupferdrahtes ($C = 0.016$) dessen Querschnitt $= 3 \text{ mm}^2$ bei einem Widerstande $= 2 \text{ Ohm}$ beträgt?

$$L = \frac{W \cdot Q}{C} = \frac{2 \cdot 3}{0.016} = 375 \text{ m.}$$

Beispiel: Ein Draht aus Neusilber ($C = 0.3$) habe bei einer Länge von 50 m einen Widerstand von 4 Ohm ; wie groß muss der Querschnitt dieses Drahtes sein?

$$Q = C \frac{L}{W} = 0.3 \cdot \frac{50}{4} = 3.75 \text{ mm}^2.$$

Beispiel: Ein Kupferdraht sei 1000 m lang, habe einen Querschnitt von 7 mm^2 und einen Widerstand von 2 Ohm ; wie groß ist der spezifische Widerstand C dieses Drahtes?

$$C = \frac{W \cdot Q}{L} = \frac{2 \cdot 7}{1000} = 0.014 \text{ Ohm.}$$

Sind die Drähte cylindrisch, dann ist $Q = \pi r^2 = \frac{\pi d^2}{4}$, wenn $r =$ Halbmesser, $d =$ Durchmesser. Setzen wir diesen Wert für Q in die Formel $W = \frac{C \cdot L}{Q}$ ein, dann wird $W = \frac{4}{\pi} \cdot C \cdot \frac{L}{d^2} = 1.273 \cdot \frac{C \cdot L}{d^2}$.

Beispiel: Wie groß ist der Widerstand eines Drahtes, wenn derselbe einen spezifischen Widerstand C von 0.3 , eine Länge L von 30 m und einen Durchmesser d von 3 mm besitzt?

$$W = 1.273 \cdot \frac{0.3 \cdot 30}{9} = 1.273 \text{ Ohm.}$$

Aus der letzten Formel ergeben sich die weiteren:

$$C = 0.7855 \cdot \frac{W \cdot d^2}{L}; \quad L = 0.7855 \cdot \frac{W \cdot d^2}{C}; \quad d = \sqrt{\frac{1.273 \cdot C \cdot L}{W}}.$$

Beispiel: Welchen Durchmesser hat ein Draht, dessen spezifischer Widerstand $C = 0.5$, dessen Länge $L = 200 \text{ m}$ und dessen Widerstand $W = 1.273 \text{ Ohm}$?

$$d = \sqrt{\frac{1.273 \cdot 0.5 \cdot 200}{1.273}} = \sqrt{100} = 10.$$

Der reciproke Wert des spezifischen Widerstandes also der Wert $\frac{1}{C}$, heißt Leitungsvermögen oder Leitungsfähigkeit.

$$1 \text{ Megohm} = 1000.000 \text{ Ohm} = 10^6 \text{ Ohm,}$$

$$1 \text{ Mikroh} = \frac{1}{1000.000} \text{ Ohm} = \frac{1}{10^6} \text{ Ohm} = 10^{-6} \text{ Ohm.}$$

Die Widerstände wurden zuerst nach Werner von Siemens als sogenannte Widerstandskasten (Stöpselrheostate), Fig. 11 und 12, ausgeführt. Fig. 11 stellt einen Widerstandskasten in äußerer Ansicht, Fig. 12 mit aufgehobenem Deckel dar. Auf der Innenfläche des Deckels sind die Widerstände in Form von Drahtrollen r , Fig. 12, befestigt. Diese Widerstände bestehen zumeist aus isolierten Manganindrähten. Die Enden der Drahtrollen r , Fig. 12, sind an die Messing-

klötzchen m_1 und m_2 u. s. w., Fig. 11, angeschlossen. Je zwei Messingklötzchen, z. B. m_1 und m_2 , Fig. 11, sind von einander durch einen Luftzwischenraum getrennt, welcher durch die Stöpsel s überbrückt wird. Die Stöpsel s sind in die Öffnungen (Bohrungen) zwischen den Klötzchen m_1 , m_2 u. s. w. wohl eingepasst. An den Klemmen k_1 und k_2 wird der Kasten in einen beliebigen Stromkreis eingeschaltet. Sind sämtliche Stöpsel eingesetzt, dann fließt der Strom von der einen Klemme z. B. k_1 nach der Klemme k_2 durch die Messingklötzchen und Kontakte der Stöpsel. Man sagt in diesem

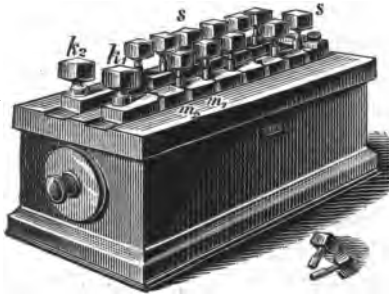


Fig. 11. Widerstandskasten, äußere Ansicht.



Fig. 12. Widerstandskasten, innere Ansicht.

Falle, der Widerstandskasten ist kurz geschlossen, weil jetzt nur der zu vernachlässigende geringe Widerstand der Messingklötzchen eingeschaltet erscheint. Zieht man irgend einen Stöpsel, so schaltet man dadurch den an die betreffenden Klötzchen angeschlossenen Widerstand ein. In der Regel sind zwischen den einzelnen Klötzchen die Widerstände von 0.1, 0.2, 0.2, 0.5, 1, 2, 2, 5, 10, 20, 20 und 50 Ohm angeschlossen, so dass man durch das Herausziehen der entsprechenden Stöpsel die Widerstände von 0.1 bis 111 Ohm zur Verfügung hat. Solche Widerstandskasten werden bis zu 10000 und mehr Ohm ausgeführt.

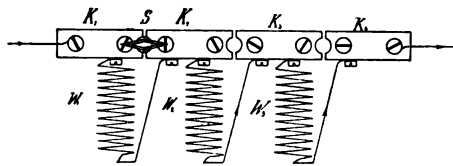


Fig. 13a. Schaltung eines Widerstandskastens.

Fig. 13a stellt die Schaltung eines Widerstandskastens dar. Die Widerstände W_1 , W_2 und W_3 sind an die Metall-Kontakte K_1 K_2 , K_2 K_3 und K_3 K_4 angeschlossen. Befindet sich der Stöpsel S , sowie es Fig. 13a anzeigt, zwischen K_1 und K_2 , so tritt der Strom bei der Klemme K_1 ein, geht durch den Stöpsel S direkt auf den Kontakt K_2 ,

über, ohne den Widerstand W_1 zu durchfließen, nimmt die Widerstände W_2 und W_3 und verlässt bei K_4 den Kasten. Die Widerstände sind zumeist bifilar (zweifädig), Fig. 13b, gewickelt. Ein Widerstand ist dann bifilar auf die Spule gerollt, wenn nicht in Spiralen mit dem einfachen Drahte, Fig. 13a, in derselben Richtung weitergewickelt wurde, sondern wenn man den Draht seiner ganzen Länge nach, Fig. 13b, in der Mitte knickt und den nun doppelten Draht auf die Spule rollt. Eine so gewickelte Rolle übt auch auf eine Magnetnadel keine Wirkung aus, weil immer Ströme entgegengesetzter Richtung nebeneinander fließen, welche sich demnach in allen Wirkungen überhaupt gegenseitig aufheben.

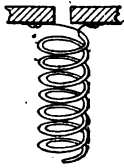


Fig. 13b.
Bifilare
Wicklung.

Diese Widerstandskästen finden insbesondere für schwache Ströme Verwendung.

Für starke Ströme verwendet man Widerstände aus Nickel, Neusilber (Argentan, Blanka, Nickelin), Rheotan, Manganin, Thermotan, Konstantan, Kupfer und Eisen in Form von Drähten, Bändern oder Geweben.

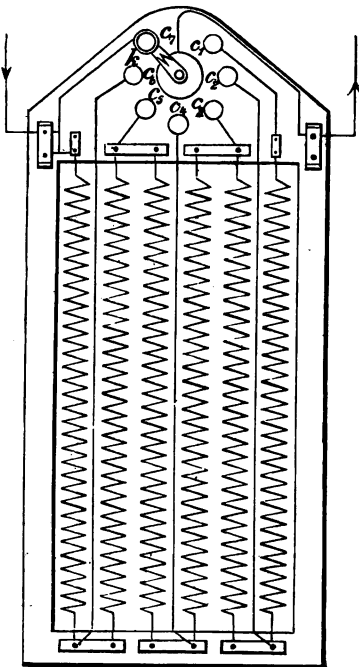


Fig. 14. Starkstrom-Rheostat.

Siemens & Halske stellen sogenannte Drahtsiebwiderstände (netzartige Gewebe aus Metallfäden) her. Die Drähte werden auf einem Dorn zu gleich langen Spiralen gewunden und auf einem eisernen Gestelle isoliert aufmontiert. Die Spiralen (Rollen, Locken) sind entweder einzeln oder in Gruppen hintereinander geschaltet. Von bestimmten Stellen der hintereinander geschalteten Spiralen, Fig. 14, führen Verbindungen (gewöhnlich isolierte Kupferdrähte) zu den Kontaktstücken c_1 bis c_7 , auf welchen die durch eine starke Feder niedergedrückte Kurbel (der Hebel) k schleift. Hat der Hebel die Stellung c_1 , so ist der ganze Widerstand eingeschaltet, während bei der in Fig. 14 wiedergegebenen Stellung c_7 des Hebels k der Widerstands-Regulator kurzgeschlossen erscheint.

Zwischen diesen beiden Stellungen sind die verschiedenen Widerstände eingeschaltet und zwar so, dass der Widerstand von c_1 aus in der Richtung der Uhrzeigerbewegung immer kleiner wird.

34. Das Ampère, die Einheit der Stromstärke, ist praktisch durch denjenigen unveränderlichen Strom dargestellt, welcher durch eine wässrige Silber-Nitratlösung fließend, aus derselben 0·001118 g Silber in der Sekunde niederschlägt.

1 Ampère = 1 A.

1 Ampère in der Sekunde = 1 Coulomb = 1 Cb.

1 " " " Minute = 60 "

1 " " " Stunde = 60·60 = 3600 Coulomb.

Das Coulomb ist die Einheit der Elektrizitätsmenge.

1 Megampère = 1000.000 Ampère.

1 Mikroampère = $\frac{1}{1000000}$ Ampère,

1 Megacoulomb = 1000000 Coulomb.

1 Mikrocoulomb = $\frac{1}{1000000}$ Coulomb.

1 Ampère entwickelt in einer Sekunde, auf 0° C und 760 mm Barometerstand umgerechnet, 0·174 cm³ Knallgas.

1 Ampère zersetzt oder fällt aus: ¹⁾

Elektrolyt	mg in der Sekunde	mg in der Minute	mg in der Stunde
Wasser	0·093	5·58	334·8
Nickel	0·305	18·30	1099
Kupfer	0·3281	19·686	1181·16
Zink	0·3371	20·22	1213·2
Gold	0·678	40·68	2441
Silber (F. u. W. Kohlrausch) .	1·1183	67·08	4024·8

Die Zahlen der 1. Kolonne (mg in der Sekunde) nennt man die elektrochemischen Äquivalente in mg für 1 Cb.

35. Das Volt, die Einheit der elektromotorischen Kraft, ist gleich der Kraft, welche beständig auf einen Leiter, dessen Widerstand = 1 Ohm wirkend, einen Strom von 1 Ampère erzeugt.

1 Volt ist praktisch als $\frac{1000}{1434}$

der elektromotorischen Kraft zwischen den Elektroden eines Clark Elementes, bei einer Temperatur von + 15° C. dargestellt.

¹⁾ Die Zahlen gelten nur für bestimmte Proben.

Das Volt, die Einheit der Spannung (Gefälle, Spannungsdifferenz, Potential, Potentialdifferenz, elektromotorische Kraft) ist weiters annähernd gleich der elektromotorischen Kraft eines Daniell'schen Elementes.

1 legales Volt = 0.9972 richtige Volt.

1 Daniell = 1 Volt = 1 V,

1 Bunsen, 1 Grove mit Salpetersäure = 1.7 Daniell = 1.9 V,

„ mit Chromsäure = 1.8 „ = 2.0 „

1 Meidinger = 0.9 „ = 1.0 „

1 Leclanché, Stöhrer oder Smee = 1.2 „ = 1.3 „

1 Latimer Clark = 1.27 „ = 1.434 „

Als Beispiele hoher Spannungen seien die Versuchsergebnisse von Warren de la Rue und Hugo W. Müller bei Funkenentladungen angeführt.

Zur Bildung eines Schließungs-Funkens von 0.5 cm Länge

zwischen 2 parabolischen Spitzen sind 5000 Volt,

zwischen 1 parabolischen Spitze und 1 Platte 6000 Volt,

zwischen 2 Platten 15000 Volt erforderlich.

Aus diesen Resultaten folgt, dass bei den kilometerlangen atmosphärischen Funkenentladungen Spannungen von Tausenden von Millionen Volt zum Ausgleich kommen.

1 Megavolt = 1000000 Volt,

1 Mikrovolt = $\frac{1}{1000000}$ Volt.

36. Das Ohm'sche Gesetz.

Das Ohm'sche Gesetz ist das wichtigste Grundgesetz der Elektrotechnik. In seiner einfachsten Form lässt sich dieses Gesetz wie folgt aussprechen:

In jedem geschlossenen Stromkreise ist die Stromstärke = $\frac{\text{Spannung}}{\text{Widerstand}}$.

Bezeichnet man die Stromstärke mit dem Buchstaben J , die Spannung mit dem Buchstaben E , den Widerstand mit dem Buchstaben W , so erhält die obige Gleichung die Form:

$$J = \frac{E}{W}, \text{ Form I.}$$

Schaltet man in einen Stromkreis verschiedene Stromstärken, Spannungen und Widerstände ein, so gilt immer die Gleichung $J = \frac{E}{W}$.

In der folgenden Tabelle sind durch solche Versuche ermittelte zusammen gehörige Werte von J , E und W angegeben.

Tabelle.

J	E	W	$J = \frac{E}{W}$
2	60	30	$2 = \frac{60}{30}$
3	60	20	$3 = \frac{60}{20}$
5	60	12	$5 = \frac{60}{12}$
2	100	50	$2 = \frac{100}{50}$
4	100	25	$4 = \frac{100}{25}$
20	200	10	$20 = \frac{200}{10}$

Wie man aus der Tabelle ersieht, befriedigen sämtliche zusammengehörige, durch Versuche ermittelte Werte von J , E und W das Ohm'sche Gesetz:

$$J = \frac{E}{W}.$$

Sind demnach zwei von den drei Größen J , E und W gegeben, so kann man die dritte aus dem Ohm'schen Gesetze berechnen.

Beispiel: Wie groß ist die Stromstärke in dem geschlossenen Stromkreise $P_1 M P_3 P_4 N P_2$, Fig. 15, wenn die Spannung an den Klemmen der Stromquelle (in diesem Falle 6 Accumulatoren) 12 Volt und der im Rheostate eingeschaltete Widerstand 3 Ohm betragen?

Setzt man die gegebenen Werte in die Form I des Ohm'schen Gesetzes ein, so erhält man:

$$J = \frac{12}{3} = 4 \text{ Ampère.}$$

Ist noch ein zweiter Widerstand, z. B. 1 Ohm, in dem Stromkreise vorhanden, so beträgt der gesammte Widerstand $3 + 1 = 4$ Ohm und

$$J = \frac{12}{3+1} = \frac{12}{4} = 3 \text{ Ampère, d. h.:}$$

Wenn der Stromkreis aus mehreren Theilen besteht, so ist die
 Stromstärke = $\frac{\text{Spannung}}{\text{Summe der Widerstände}}.$

In letzterem Beispiele wurden als Stromquelle 6 Accumulatoren in Hintereinanderschaltung zu je 2 Volt = 12 Volt vorausgesetzt. Es ist nun gleichgiltig, wie die Accumulatoren vertheilt sind, d. h. an welcher Stelle oder an welchen Stellen des Leitungsnetzes dieselben eingeschaltet werden.

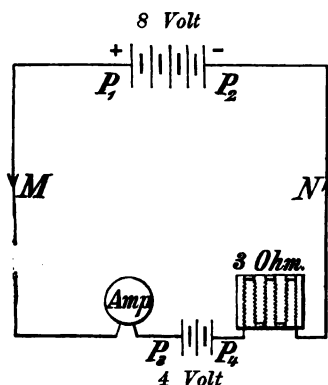


Fig. 15. Beispiel zum Ohm'schen Gesetze.

In Fig. 15 sind die Accumulatoren in Gruppen an verschiedenen Stellen des Stromkreises angeordnet.

Beispiel: Wie groß ist die Stromstärke unter den in der Fig. 15 gegebenen Verhältnissen:

1. Ohne Berücksichtigung des Widerstandes des Verbindungsdrahtes?

$$J = \frac{8 + 4}{3} = 4 \text{ Ampère, d. h.:}$$

Enthält der Stromkreis mehrere elektromotorische Kräfte, so ist die Stromstärke =

$$\frac{\text{Summe d. Spannungen}}{\text{Widerstand}}.$$

2. Mit Berücksichtigung des Widerstandes des Verbindungsdrahtes? Dieser Widerstand sei ein 1 Ohm.

$$J = \frac{8 + 4}{3 + 1} = 3 \text{ Ampère, d. h.:}$$

Enthält der Stromkreis mehrere elektromotorische Kräfte, und besteht derselbe aus mehreren Theilen, so ist die

$$\text{Stromstärke} = \frac{\text{Summe d. Spannungen}}{\text{Summe d. Widerstände}},$$

allgemeine Form des Ohm'schen Gesetzes.

Aus der I. Form des Ohm'schen Gesetzes:

$$J = \frac{E}{W}$$

ergibt sich, wenn man beiderseits des Gleichheitszeichens mit W multipliciert:

$$J W = E \text{ oder}$$

$$E = J \cdot W, \text{ Form. II.}$$

Beispiel: Mit welcher Spannung leuchtet eine Glühlampe, wenn ihr Stromverbrauch 0.5 Ampère und ihr Widerstand bei dieser Stromstärke = 200 Ohm betragen?

$$E = J \cdot W = 0.5 \cdot 200 = 100 \text{ Volt.}$$

Beispiel: Wie groß ist der Spannungsverlust in einer Leitung mit dem Widerstande von 0.5 Ohm, wenn durch die Leitung 10 Ampère fließen?

$$E = J \cdot W = 0.5 \cdot 10 = 5 \text{ Volt.}$$

Beispiel: Der Vorschaltwiderstand einer Bogenlampe für 10 Ampère messe 1 Ohm. Wie viel Volt werden durch diesen Widerstand getilgt?

$$E = J \cdot W = 10 \cdot 1 = 10 \text{ Volt.}$$

Die II. Form des Ohm'schen Gesetzes: $E = J \cdot W$ übergeht durch J dividirt in:

$$W = \frac{E}{J}, \text{ Form III.}$$

Beispiel: Wie groß muss der einer Bogenlampe vorgeschaltete Widerstand W sein, wenn letztere bei 10 Ampère auf 45 Volt einreguliert ist, und die Klemmenspannung der Dynamomaschine D , Fig. 16, 60 Volt beträgt?

In diesem Falle müssen $60 - 45 = 15$ Volt durch den Vorschaltwiderstand verbraucht werden.

$$W = \frac{15}{10} = 1.5 \text{ Ohm.}$$

Beispiel: Die Spannung an den Klemmen einer Dynamomaschine betrage 100 Volt. Es ist der Widerstand eines an diese Klemmen einzuschaltenden Leitungsnetzes zu berechnen, durch welches 20 Ampère fließen sollen.

$$W = \frac{100}{20} = 5 \text{ Ohm.}$$

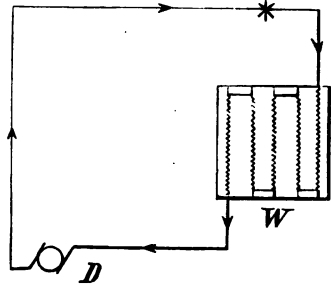


Fig. 16. Schema zur Berechnung eines Vorschaltwiderstandes W .

Die Messung von Widerstand, Stromstärke und Spannung erfolgt durch später (§ 41) zu besprechende Messinstrumente. Der praktische Elektrotechniker ist jedoch in der Lage, diese drei Größen annäherungsweise durch Auge und Gefühl zu schätzen. Aus Stärke, ungefähre Länge und Material des Drahtes schließt man auf den Widerstand. Durch Übung kommt man bald in die Lage, aus dem Grade der Erwärmung eines Leiters die Stromstärke zu bestimmen. Bei Temperaturen bis 60°C kann man den Leiter mit der Hand fest anfassen, über 60° darf man den Leiter nur mehr augenblicklich berühren, über 200° berührt man den Leiter beispielsweise mit einem Stück Papier und schließt aus dem Sengen desselben auf die Stromstärke. Ähnlich gibt der jeweilige Glühzustand eines Leiters über die Stromstärke Aufschluss. An einer Glühlampe zu 100 Volt kann man in der Nähe dieser Spannung Unterschiede der Spannung bis zu 1 Volt herab mit dem Auge beobachten. Eine solche Lampe beginnt bei rund 35 Volt dunkelroth zu glühen. Ebenso schätzt man die Spannung nach den physiologischen Wirkungen (§ 24) des Stromes. Schaltet man sich in einen Stromkreis ein, so werden die Erschütterungen der Muskeln und Nerven umso größer sein, je höher die Spannung ist. Bei solchen Versuchen muss man besonders darauf achten, dass Spannungen über 100 Volt gefährlich sind, und dass man sich nie in einen Strom einschalten darf, dessen größtmögliche Spannung man nicht kennt.

37. Das Farad.

Das Farad ist das Verhältniss der Elektrizitätsmenge zur Spannung, d. h.:

$$1 \text{ Farad} = \frac{1 \text{ Coulomb}}{1 \text{ Volt}},$$

$$1 \text{ Megafarad} = 1000000 \text{ Farad,} = 10^6 \text{ Farad,}$$

$$1 \text{ Mikrofadar} = \frac{1}{1000000} \text{ Farad,} = \frac{1}{10^6} \text{ Farad.}$$

Beispiel: Es ist die Kapazität eines Leiters in Farad zu berechnen, welcher bei 10 Volt Spannung die Elektrizitätsmenge 0.1 Coulomb aufnimmt?

$$\text{Farad} = \frac{0.1}{10} = 0.01.$$

38. Arbeit, Effekt (Leistung).

Elekt. Arbeit = Stromstärke \times elektromot. Kraft \times Zeit.

Die technische Einheit der elektrischen Arbeit ist:

$$1 \text{ Sekunden-Volt-Ampère} = 1 \text{ Volt-Coulomb} = 1 \text{ Joule} = \frac{1}{9.81} \text{ mkg} \\ = 0.102 \text{ mkg.}$$

Elekt. Effekt = Stromstärke \times elektromotorische Kraft.

Die technische Einheit des elektrischen Effektes ist:

$$1 \text{ Voltampère} = 1 \text{ Watt.}$$

$$1 \text{ englische Pferdekraft} = HP (\text{horsepower}) = 746 \text{ Watt,}$$

$$1 \text{ metrische Pferdekraft} = PS (\text{Pferdestärke}) = 736 \text{ Watt.}$$

$$1 \text{ Kilowatt} = 1000 \text{ Watt.}$$

Beispiel: Eine Dynamo gibt 100 V bei 368 A; wie viel PS entsprechen dieser Leistung?

$$\frac{100.368}{736} = 50 \text{ PS.}$$

III. Kapitel.

Gesetze sammt Anwendungen.

39. Sinus- und Tangens-Gesetz.

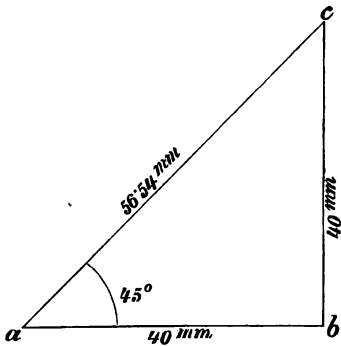


Fig. 17. Rechtwinkeliges Dreieck.

Fig. 17 stellt ein rechtwinkeliges Dreieck dar. Der \sphericalangle b beträgt somit als rechter \sphericalangle 90° . Zur Berechnung der Dreiecke benützt man die Verhältnisse

der Seiten. Das Verhältnis $\frac{bc}{ac}$ im rechtwinkligen Dreiecke nennt man sinus (sin) des \sphericalangle a und

$$\text{schreibt: } \sin a = \frac{bc}{ac}.$$

Beispiel: Mit Berücksichtigung der Angaben in Fig. 17. ist der sinus des Winkels $a = 45^\circ$ zu berechnen.

$$\sin a = \frac{bc}{ac} = \frac{40}{56.54} = 0.707.$$

Ähnlich bezeichnet das Verhältnis $\frac{ab}{ac} = \text{cosinus (cos) } a$,

$$\text{„ „ } \frac{bc}{ab} = \text{tangens (tg) } a \text{ und}$$

$$\text{„ „ } \frac{ab}{bc} = \text{cotangens (cot) } a.$$

Beispiel: Man berechne den Wert des tangens des \sphericalangle $a = 45^\circ$.

$$\text{tg } a = \frac{bc}{ab} = \frac{40}{40} = 1.$$

In Fig. 17 ist der \sphericalangle $a = 45^\circ$. Ebenso kann man sich rechtwinkelige Dreiecke mit anderen \sphericalangle gezeichnet denken. Misst man in solchen Dreiecken mit einem Maß-

stabe die Längen der Seiten ab, so kann man die obigen Verhältnisse (trigonometrische Funktionen) \sin , \cos , tg , und \cot finden.

Beispiel: Wie verhält sich in einem rechtwinkligen Dreiecke die dem Winkel $\alpha = 72^\circ$ gegenüberliegende Seite (Kathete) zu der anliegenden?

Konstruiert man ein rechtwinkliges Dreieck mit dem Winkel $\alpha = 72^\circ$, misst die dem α gegenüberliegende und anliegende Kathete in mm oder cm u. s. w. ab und dividiert sie durcheinander, so findet man rund 3, d. h.:

$$\operatorname{tg} 72^\circ = 3.$$

Dabei ist es gleichgültig, wie lang man die Seiten zeichnet, da bei allen rechtwinkligen Dreiecken mit dem α von 72° das Verhältnis der Seiten immer dasselbe ist. Die Werte für die trigonometrischen Funktionen kann man auch aus Tabellen entnehmen.

In Fig. 18. stellt $H_1 H_2$ die Verbindungslinie des magnetischen Nord- und Südpoles der Erde (Magnetische Achse) dar. Eine durch die magnetische Achse senkrecht gelegte Ebene nennt man magnetischen Meridian. Befindet sich z. B. ein vom Strome I durchflossener Ringleiter in dem magnetischen Meridiane (in Fig. 18 nicht ersichtlich) und sei im Mittelpunkte O dieses Ringes eine Magnetnadel frei beweglich aufgehängt, so wird dieselbe aus der magnetischen Achse um einen α abgelenkt. Auf den Magnetpol A wirkt der Strom, dessen Ebene in $H_1 H_2$ auf der Zeichnungsebene senkrecht steht, in der Richtung AC und der Erdmagnetismus (die Horizontalkomponente des Erdmagnetismus) in der Richtung AB , also parallel zu $H_1 H_2$. Die Komponente AC ist der Stromstärke proportional, d. h. sie wächst und fällt im Verhältnisse der Stromstärke oder $AC_1 = C_1 J$. Die Komponente AB zeigt Proportionalität mit der Horizontal-Komponente des Erdmagnetismus oder $AB = C_2 H$.

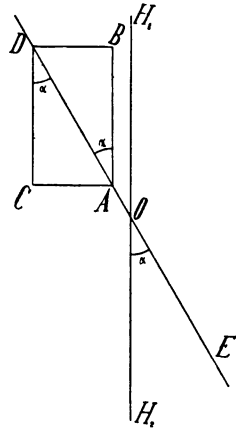


Fig. 18. Tangens-Gesetz.

C_1 und C_2 bedeuten Konstante (Proportionalitätsfaktoren). Aus der Fig. 18 folgt:

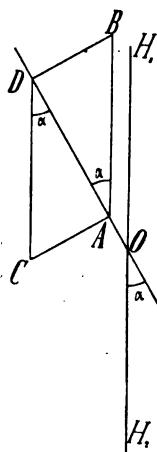
$$\operatorname{tg} \alpha = \frac{AC}{BC} = \frac{AC}{AB} = \frac{C_1 J}{C_2 H}$$

In dieser Formel sind C_1 und C_2 sowie die Horizontal-Komponente H Konstante, man kann deshalb für $\frac{C_1}{C_2} H$ eine neue Konstante $\frac{1}{C}$ einführen, dann erhält die letzte Gleichung die Form

$$\operatorname{tg} \alpha = \frac{J}{C} \quad \text{oder} \quad J = C \operatorname{tg} \alpha.$$

Diese Gleichung nennt man das Tangens-Gesetz.

Dreht man Fig. 19 (unter den Bedingungen der Fig. 18), der abgelenkten Nadel den Ring (eine oder mehrere kreisförmige Windungen) solange nach, bis man die Nadel eingeholt hat, dann wird



$$\sin \alpha = \frac{AC}{CD} = \frac{AC}{AB} = \frac{C_1 J}{C_2 H} \text{ und wenn}$$

$$\text{wir für die Konstante } \frac{C_1}{C_2} H = \frac{1}{C} \text{ setzen:}$$

$$\sin \alpha = \frac{J}{C} \text{ oder}$$

$$J = C \sin \alpha.$$

Die letzte Gleichung heißt Sinus-Gesetz.

40. Biot-Savart'sches Gesetz. Dieses Gesetz gestattet eine rechnerische Behandlung der Wechselwirkungen zwischen Strömen und Magneten. Denkt man sich ein Leiterelement L von einem Strom von der Stärke J durchflossen, so

wird derselbe auf einen Magnetpol von der Stärke M eine abstoßende Kraft P ausüben, so zwar, dass:

$$P = \frac{M J L \sin \delta}{R^2} p.$$

In dieser Formel bezeichnet R den Abstand zwischen L und M , δ den \angle , welchen R mit L einschließt und p die Wirkung, welche bei einem $\angle \delta = 90^\circ$ stattfindet, wenn alle Größen als Einheiten eingesetzt werden.

Es erscheint wohl klar, dass je größer die Stromstärke J und die Stärke des Poles M sind, desto größer auch die abstoßende Kraft P sein muss. Dass die Kraft P mit R^2 verkehrt proportional ist, wurde durch Versuche nachgewiesen. Die Proportionalität von P mit L und $\sin \delta$ hat eine Überlegung und Zerlegung des Stromelementes L in zwei Stromelemente ergeben.

41. Tangentenbussole (Pouillet 1837, Poggendorf 1840, W. Weber 1848, Gaugain 1853). Genanntes Instrument besteht aus einem Draht-Ringe, in dessen Mittelpunkt oder außerhalb desselben sich eine Magnetnadel befindet. Die Tangentenbussole beruht auf dem Tangens-Gesetze (§ 39). Die Konstante C nennt man Reduktionsfaktor; derselbe hat für jede Bussole einen anderen Wert.

Josef Kessler¹⁾ hat im Jahre 1886 eine Tangentenbussole, Fig. 20 a und 20 b konstruiert,²⁾ für welche der Reduktionsfaktor eine

¹⁾ Josef Kessler, Zur Messung des elektrischen Stromes, 1887.

²⁾ Diese Tangentenbussole bauen Czeija, Nissl & Co. in Wien.

Potenz von 10 ist. Eine drehbare Säule trägt ein Dreifuß. Auf der Säule ist eine kupferne Hülse und das Gehäuse für den Messingzeiger sammt der Theilung aufmontiert. Der Messingzeiger erscheint über einem Glockenmagnete befestigt und hängt sammt diesem und einem Spiegel an einem Coconfaden. Die kupferne Hülse hemmt die Schwingungen des in ihrem Hohlraume hängenden Glockenmagnetes, weil durch die Schwingungen im Kupfer



Fig. 20b.
Glockenmagnet.

Schraube, welche einen Schlitten mit einer Theilung und an diesem aufgeschraubt den Ring mit den Windungen trägt. Zwischen zwei

Füßen des Instrumentes befindet sich eine Wasserwaage (Libelle), welche zur senkrechten Einstellung des Instrumentes dient. Schlitten sammt Ring sind demnach gegen die Busssole durch die obige

Schraube verstellbar eingerichtet. Der Schlitten hat eine Millimetertheilung. Der Ring besitzt folgende Abmessungen in *mm*: Innerer Ringdurchmesser 159 *mm*, äußerer Ringdurchmesser 221 *mm*, Breite 20 *mm*, Wickelungshöhe 15 *mm* und in einer Lage 23 Windungen. Der Ring besteht aus einer Hartgummispule. Auf dieser Spule sind zweierlei Windungen aufgewickelt:

1. Die dünnen Windungen bestehen aus 500 Windungen isolierten Kupferdrahtes von 0.3 *mm* Durchmesser und 340 *m* Gesammtlänge, welche



Fig. 20 a. Tangentenbusssole nach Kessler.

70 Ohm Widerstand besitzen. Um nun die für die Voltmessung erforderlichen 100 Ohm genau zu erreichen, wird an die 500 Windungen zum Schlusse noch ein entsprechender Zusatzwiderstand in Manganin bifilar (§ 33) angeschlossen.

2. Die 5 dicken Windungen aus Kupferdraht von 2 mm Durchmesser haben rund 0·02 (genauer 0·017 Ohm).

Der Ring wird in den magnetischen Meridian eingestellt. Der Messingzeiger zeigt auf zwei konzentrische Theilungen. Befindet sich die Nadel in der Nord-Süd-Richtung, also parallel zur Ebene des Ringes (Nullstellung), dann zeigt die Nadel mit den beiden Spitzen auf die beiden Nullpunkte der äußeren Theilung. Der Kreis dieser Theilung ist von beiden Nullpunkten aus nach beiden Richtungen hin in 90° getheilt. Steht demnach die Nadel senkrecht auf ihrer Nullstellung, also senkrecht auf die Ringebene, dann zeigen die Spitzen der Nadel auf 90°. Neben dieser äußeren Theilung besteht eine zweite, innere, welche die 10-fachen Werte der Tangenten zu den zugehörigen Winkeln der äußeren Theilung direkt abzulesen gestattet. Die Arretierungsvorrichtung der Magnetnadel ist im Bilde ersichtlich. Dieselbe besteht aus einer Gabel, welche durch eine Schraube gehoben und gegen den Körper des Instrumentes gedrückt werden kann. Im Bilde sind rückwärts zwei gleich starke Klemmen zu sehen. Zwei schwächere Klemmen befinden sich (im Bilde nicht ersichtlich) von der Mittellinie der Figur aus symmetrisch zu den ersten. Die beiden starken Klemmen gehören zu den 5 dicken Windungen (Strommessungen), die beiden schwachen zu den 500 dünnen Windungen (Spannungsmessungen). Die Ablesungen können auf den Theilungen oder mittelst des Spiegels erfolgen. Zunächst soll nur die Messung bei Ablesung auf der Theilung beschrieben werden.

1. Strommessung. Man schaltet die 5 dicken Windungen bei den 2 dicken Klemmen ein; dann ist die Stromstärke 1 Ampère, wenn die Nadel 45° ausschlägt. Die Formel für die Tangentenbussole (§ 39) lautet allgemein

$$J = C \operatorname{tg} \alpha.$$

Bei Kessler ist $C = 1$, also $J = \operatorname{tg} \alpha$ und für 45°, $J = \operatorname{tg} \alpha = 1$. Die Werte der Tangenten geben demnach jetzt die jeweiligen Stromstärken an. Die Grenzen sämtlicher Messungen mit Tangentenbussolen bewegen sich etwa zwischen 6 und 72°. Unter 6° kann man nicht gut ablesen, über 72° ist die Beobachtung unzuverlässig. Schaltet man den dicken Windungen ihren eigenen Widerstand parallel, dann muss man die Angaben mit zwei multiplicieren. Schaltet man dieser neuen Anordnung nochmals den eigenen Widerstand parallel, dann muß man die Angaben wieder mit 2 multiplicieren u. s. w.

Bei den dicken Windungen geben 6° rund 0.1 Ampère, denn $\operatorname{tg} 6^\circ = 0.10510$.

" " " " " 45° genau 1 " , " $\operatorname{tg} 45^\circ = 1$.

" " " " " 72° rund 3 " , " $\operatorname{tg} 72^\circ = 3.07768$.

Die Grenzen der Messung mit den dicken Windungen sind deshalb ohne Nebenschlüsse rund 0.1 bis 3 Ampère.

2. Spannungsmessung. Schaltet man bei den dünnen Klemmen ein (500 Windungen), dann ist die Klemmen-Spannung 1 Volt, wenn der Ausschlag der Nadel 45° beträgt. Diese Windungen haben 100 Ohm, daher muss die Stromstärke J bei 1 Volt: $J = \frac{E}{W} = \frac{1}{100} = 0.01$ Ampère sein.

Schaltet man der 100 Ohm-Wicklung 900 Ohm vor, dann ist der gesammte Widerstand 1000 Ohm und jetzt gelten die Theile der Tangententheilung (innere Theilung) als Volt, denn jetzt ist der Widerstand 10 mal so groß als früher, es muss demnach auch die Spannung 10 mal so groß oder 10 Volt sein, denn

$$J = \frac{E}{W} = \frac{10}{1000} = 0.01 \text{ Ampère wie oben.}$$

Schaltet man der 100 Ohm-Wicklung 9900 Ohm vor, dann ist der gesammte Widerstand 10.000 Ohm, und man muss die Theile der Tangenten-Theilung mit 10 multiplicieren. Es beträgt jetzt die Spannung 100 Volt; wenn der Ausschlag an der Grad-Theilung (äußere Theilung) 45° und die Ablesung an der Tangenten-Theilung (innere Theilung) $= 10$ ist.

Bei den dünnen Windungen geben:

6° rund 0.1 Volt, denn $\operatorname{tg} 6^\circ = 0.10510$,

45° genau 1 Volt, denn $\operatorname{tg} 45^\circ = 1$,

72° rund 3 Volt, denn $\operatorname{tg} 72^\circ = 3.07768$.

Die Grenzen der Messung mit den dünnen Windungen sind deshalb ohne Vorschaltwiderstände rund 0.1 Volt bis 3 Volt.

Die Ablesung muss immer an beiden Spitzen des Zeigers erfolgen. Bei jeder Messung sind die Stromrichtungen an den Klemmen zu wechseln und aus den beiden Ablesungen das Mittel zu nehmen, d. h. es sind die beiden Ablesungen an den beiden Spitzen zu addieren und durch zwei zu dividieren.¹⁾ Ist der Coconfaden gedreht (verdrehet oder tordiert), dann gibt das Instrument bei verschiedenen Stromrichtungen verschiedene Ablesungen, und es muss der Coconfaden, beziehungsweise der Magnet, welcher an dem Faden hängt, so lange mittelst eines fremden Magneten gedreht werden, bis die Drehung (Torsion) aufgehoben erscheint.

¹⁾ Die Ablesung an beiden Spitzen und der Stromrichtungswechsel sind wegen der Parallaxe erforderlich, welche immer dann vorhanden ist, wenn die Verlängerung des Aufhängefadens nicht durch den Mittelpunkt der Kreistheilungen geht.

Beispiel einer Messung: Wie groß sind Stromstärke, Spannung und Widerstand eines Daniell'schen Elementes von 12 cm Höhe?

Schaltet man das Element in die dünnen Windungen ein, dann ist $\alpha = 47^\circ$. Die Stromstärke $a = 0.01 \text{ tg } 47$, $\text{tg } 47 = 1.07237$, $a = 0.01 \cdot 1.07237$ Ampère.

Die elektromotorische Kraft des Elementes $E = \text{Stromstärke} \times \text{Gesamtwiderstand}$. $a = \text{Stromstärke}$, $W_i = \text{Widerstand des Elementes}$, 100 Ohm = Widerstand der dünnen Windungen. Daher:

$$E = a (W_i + 100) = \frac{\text{tg } \alpha}{100} (W_i + 100) \dots I.$$

Jetzt schaltet man das Element in die dicken Windungen ein. Der Ausschlag sei $\beta = 27^\circ$, $\text{tg } \beta = 0.51$, $A = 1$. $\text{tg } \beta = 0.51$ Ampère. Bei dieser Messung waren nur die 5 dicken Windungen in die Leitung eingeschaltet, deren Widerstand man gegen W_i vernachlässigen kann. Das Element erscheint demnach nahezu kurzgeschlossen, und es ist die elektromotorische Kraft

$$E = A W_i = \text{tg } \beta W_i \dots II.$$

Aus den Gleichungen I u. II können E u. W_i nach den Regeln der Auflösung zweier Gleichungen ersten Grades mit zwei Unbekannten berechnet werden. Aus Gleichung II ist $W_i = \frac{E}{A}$. Setzen wir diesen Wert in die Gleichung I ein, so erhält die-

$$\begin{aligned} \text{selbe die Form } E &= a \left(100 + \frac{E}{A} \right) = a \cdot 100 + \frac{a E}{A}, \quad E \left(1 - \frac{a}{A} \right) = a \cdot 100, \\ E &= \frac{a \cdot 100}{1 - \frac{a}{A}} = a \cdot 100 \left[1 + \frac{a}{A} + \left(\frac{a}{A} \right)^2 + \dots \right]; \quad E = \text{tg } \alpha \left[1 + \frac{\text{tg } \alpha}{100 \text{ tg } \beta} + \right. \\ &\quad \left. + \left(\frac{\text{tg } \alpha}{100 \text{ tg } \beta} \right)^2 + \dots \right]. \end{aligned}$$

In unserem Falle wird demnach die elektromotorische Kraft des Daniell $E = 1.07 \left(1 + \frac{1.07}{50} + \dots \right)$ Volt. Die Klemmenspannung 1.07 ist also bloß um 2% zu vergrößern; die übrigen Glieder der Reihe fallen bei der möglichen Genauigkeit fort, so dass

$$E = 1.09 \text{ Volt.}$$

(Thatsächlich schwankt diese Spannung zwischen 0.9 bis 1.2 Volt).¹ Der innere Widerstand

$$W_i = \frac{E}{A} = \frac{1.09}{0.51} = 2.2 \text{ Ohm}$$

Für Smee-, Bunsen- u. Grove-Elemente ergibt sich der Widerstand als so unbedeutend, dass die Klemmenspannung $\text{tg } \alpha$ mit mehr als 1% Genauigkeit als elektromotorische Kraft genommen werden kann.

Beispiel einer einfachen u. raschen Messung. 1 Grove 12 cm hoch.

An den kleinen Klemmen gemessen $\alpha = 61^\circ$; $\text{tg } \alpha = 1.80$.

An den starken Klemmen gemessen $\beta = 76^\circ$, $\text{tg } 76^\circ = 4$, $A = 4$ Ampère.

$$E = 1.80 \left(1 + \frac{1.80}{400} + \dots \right);$$

bei $\frac{1}{4}\%$ Genauigkeit ist sogar schon das zweite Glied zu vernachlässigen, so dass

$$E = 1.80 \text{ Volt.}$$

$$A = 4.0 \text{ Ampère}$$

$$W_i = \frac{1.8}{4.0} = 0.45 \text{ Ohm.}$$

¹) Josef Keßler, Zur absoluten Messung des elektrischen Stromes, 1887.

Der Reduktionsfaktor C der Formel $J = C \operatorname{tg} \alpha$ kann in folgender Weise ermittelt werden: Schickt man einen Strom von genau bekannter Stromstärke durch das Instrument, so ergibt sich ein gewisser Ausschlagswinkel α . Es sind deshalb in der obigen Formel J und α bekannt, und es ist

$$C = \frac{J}{\operatorname{tg} \alpha}.$$

Die Angaben des Instrumentes hängen von der Horizontalkomponente des Erdmagnetismus ab und sind demnach an verschiedenen Orten verschieden, ja sie ändern sich von Meter zu Meter. Besondere Änderungen bedingen Eisenmassen. Bei der Kessler'schen Bussole kann man die Änderungen des Erdmagnetismus dadurch ausgleichen, dass man die Entfernung zwischen Nadel-Mittelpunkt und Ring so lange ändert, bis 1 Volt bei den dünnen Windungen einen Ausschlag von 45° gibt.

Die Formel für die Tangentenbussolen folgt aus dem Biot-Savart'schen Gesetz (§ 40): $P = \frac{MJL \sin \vartheta}{R^2}$ p, indem man zunächst — was hier zulässig erscheint — $\sin \vartheta = \sin 90^\circ = 1$ und $p = 1$ setzt. Dann ist Fig. 16:

$$AC = P = \frac{MJL}{R^2}.$$

Sei R der mittlere Radius der N Windungen der Bussole, so ist $L = 2\pi RN$ und $P = \frac{2N\pi JM}{R} =$ der Kraft, mit welcher der Magnet senkrecht gegen den Stromkreis gestellt wird, wenn der Erdmagnetismus den Magnet parallel zur Ebene des Stromkreises zurückdrehen würde. AB , Fig. 16, sei die Horizontalkomponente des Erdmagnetismus auf die Maßeinheit des Magnetismus bezogen. Dann ist: $AB = HM$ die Wirkung auf die Masse M . Soll Gleichgewicht an der Nadel eintreten, dann muss die Resultierende der beiden Kräfte in die Längsrichtung der Nadel fallen. Bei dem Ablenkungswinkel α ergibt sich die Beziehung

$$\frac{AC}{AB} = \operatorname{tg} \alpha = \frac{2N\pi JM}{RHM}.$$

Wir erhalten demnach für die Stromstärke die Formel $J = \frac{RH}{2N\pi} \operatorname{tg} \alpha$, worin $\frac{RH}{2N\pi}$ der Reduktionsfaktor der Tangentenbussole genannt wird. Einzusetzen sind R in mm , H in Mitteleuropa rund 0.2 (kann aus Tabellen entnommen werden), N = Windungszahl (unbenannte Zahl) und $\pi = 3.14159$ (Ludolph'sche Zahl).

Beispiel: $R = 200 \text{ mm}$, $H = 0.2$, $C = ?$

$$C = \frac{RH}{2\pi N} = \frac{200 \cdot 0.2}{2\pi} = \frac{20}{\pi} = 6.4.$$

Demnach ist für den Ablenkungswinkel von 45° $\operatorname{tg} 45 = 1$ und die Stromstärke $J = 6.4.1 = 6.4$ Ampère.

Mit der Tangentenbussole kann man auch umgekehrt das H , das man sonst durch magnetische Schwingungsversuche erhält, bestimmen. Schickt man bei der letzten Bussole 6.4 Ampère durch die Windung, dann muss der Ausschlag 45° betragen, und es ist

$$6.4 = \frac{RH}{2N\pi}, \quad H = \frac{2.64 \cdot 3.14 \cdot N}{200} \infty 0.2, \text{ wenn } N = 1.$$

42. Erstes Gesetz nach Kirchhoff. An jedem Orte, an welchem mehrere Drähte zusammenstoßen, muss die algebraische Summe aller Stromstärken (Intensitäten) gleich Null sein.

An einem Orte solcher Art fließt ebensoviel Elektrizität zu als ab, denn sonst müsste dort eine Anhäufung von Elektrizität stattfinden.

43. Zweites Gesetz nach Kirchhoff. Bildet man in einem geschlossenen, verzweigten Stromkreise die Summe der Produkte aus Stromstärke und Widerstand für jeden einzelnen Draht, so gibt die Summe dieser Produkte die elektromotorische Kraft des Stromkreises an.

Summe aller $A \times O = V =$ elektromotor. Kraft des Stromkreises.

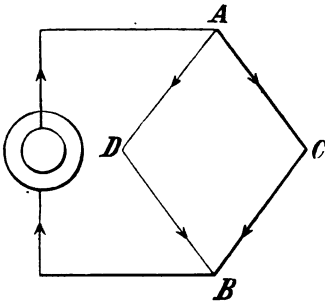


Fig. 21. Einfache Stromverzweigung.

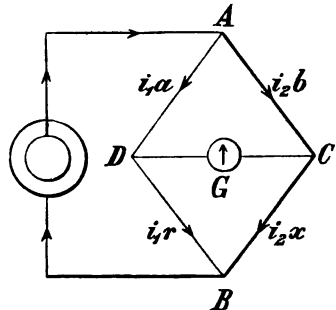


Fig. 22. Brückenmethode.

44. Einfache Stromverzweigung, Fig. 21.

$$\text{Stromstärke in } ACB = i_1 = \frac{\text{Spannungsdifferenz } A - B}{\text{Widerstand } ACB} = \frac{V}{w_1}$$

$$\text{Stromstärke in } ADB = i_2 = \frac{\text{Spannungsdifferenz } A - B}{\text{Widerstand } ADB} = \frac{V}{w_2}$$

Daraus folgt:

$$\frac{i_1}{i_2} = \frac{V}{w_1} : \frac{V}{w_2} = \frac{w_2}{w_1}$$

oder

$$i_1 : i_2 = w_2 : w_1, \text{ d. h. :}$$

Die Stromstärken in 2 nebeneinander geschalteten Zweigen verhalten sich umgekehrt zueinander, wie die betreffenden Zweigwiderstände.

Bezeichnen wir, Fig. 21, den Widerstand der Verzweigung mit w , so ist

$$i = \frac{V}{w} = \text{Gesamttstrom} = \frac{V}{w_1} + \frac{V}{w_2}$$

oder, durch V gekürzt, beziehungsweise $V = 1$ gesetzt:

$$\frac{1}{w} = \frac{1}{w_1} + \frac{1}{w_2} = \frac{w_1 + w_2}{w_1 w_2} \text{ und } w = \frac{w_1 w_2}{w_1 + w_2} \text{ d. h. :}$$

Der Gesamtwiderstand zweier Zweigwiderstände ist gleich dem Produkte derselben, dividiert durch ihre Summe.

Da $\frac{i_1}{i} = \frac{V}{w_1} : \frac{V}{w}$, so muss $\frac{i_1}{i} = \frac{w}{w_1}$ oder $i_1 = \frac{iw}{w_1}$ sein, d. h.:

Der Strom eines Zweiges ist gleich dem Gesamtstrom mal dem Gesamtwiderstande der Verzweigung, dividiert durch den Widerstand des betreffenden Zweiges.

Nach dieser Regel ist

$$i_1 = i \frac{w_1 w_2}{w_1 + w_2} : w_1 = i \frac{w_2}{w_1 + w_2}.$$

Bei 3 Zweigen erhält man:

$$\frac{1}{w} = \frac{1}{w_1} + \frac{1}{w_2} + \frac{1}{w_3} = \frac{w_1 w_2 + w_2 w_3 + w_1 w_3}{w_1 w_2 w_3}$$

$$w = \frac{w_1 w_2 w_3}{w_1 w_2 + w_2 w_3 + w_1 w_3}$$

$$\text{und } i_1 = i \frac{w_2 w_3}{w_1 w_2 + w_2 w_3 + w_1 w_3}.$$

Falls die Widerstände $w_1, w_2, w_3 \dots w_n$ einander gleich sind, dann ist

$$\frac{1}{w} = \frac{1}{w_1} + \frac{1}{w_2} + \frac{1}{w_3} + \dots + \frac{1}{w_n} = \frac{n}{w_1}, \text{ d. h. :}$$

Der Gesamtwiderstand von n gleichen Zweigen wird gefunden, indem man den Widerstand eines Zweiges durch n dividiert.

Beispiel: In einem Leitungsnetze seien 100 Glühlampen, deren Widerstand heiß à 200 Ohm beträgt, nebeneinander geschaltet. Wie groß ist der Gesamtwiderstand dieser Lampen?

$$w = \frac{200}{100} = 2 \text{ Ohm.}$$

Anwendung des Gesetzes nach Kirchhoff.

Bei C, Fig. 21, sei ein Galvanometer eingeschaltet. Im Punkte A trete der Strom J ein, im Punkte B soll derselbe Strom J aus der Stromverzweigung austreten. Die Stromstärke des Zweiges ADB bezeichnen wir mit i_1 , den Widerstand desselben Zweiges mit w_1 . Die entsprechenden Werte des Zweiges ACB nennen wir i_2 beziehungsweise w_2 .

Nach obigem verhalten sich die Stromstärken in 2 nebeneinander geschalteten Zweigen umgekehrt wie die Widerstände, d. h.:

$$\frac{i_1}{i_2} = \frac{w_2}{w_1} \text{ oder } 1 + \frac{i_1}{i_2} = 1 + \frac{w_2}{w_1} \text{ oder } \frac{i_1 + i_2}{i_2} = \frac{w_1 + w_2}{w_1}$$

$$\text{Da } i_1 + i_2 = J, \text{ erhalten wir } \frac{J}{i_2} = \frac{w_1 + w_2}{w_1}.$$

Wenn demnach durch das Galvanometer bei C nur der n^{te} Theil des zu messenden Stromes fließen soll, dann muss

$$i_2 = \frac{1}{n} J.$$

Setzt man diesen Wert in die vorstehende Gleichung ein, so erhält man

$$\frac{J}{\frac{1}{n}J} = \frac{w_1 + w_2}{w_1} \text{ oder } w_1 = \frac{1}{n-1} w_2.$$

Neben ein Galvanometer, durch welches nur $\frac{1}{10}$, $\frac{1}{100}$, $\frac{1}{1000}$ u. s. w. des Gesamtstromes fließen soll, muss demnach ein Widerstand von $\frac{1}{9}$, $\frac{1}{99}$, $\frac{1}{999}$ u. s. w. des Widerstandes w_1 geschaltet werden.

45. Die Brückenmethode nach Wheatstone (Kirchhoff), Fig. 22.

$$\text{Stromstärke in } AD = \frac{\text{Spannungsdifferenz } A-D}{\text{Widerstand } AD},$$

$$\text{Stromstärke in } AC = \frac{\text{Spannungsdifferenz } A-C}{\text{Widerstand } AC},$$

$$\text{Stromstärke in } DB = \frac{\text{Spannungsdifferenz } D-B}{\text{Widerstand } DB},$$

$$\text{Stromstärke in } CB = \frac{\text{Spannungsdifferenz } C-B}{\text{Widerstand } CB},$$

$$\text{Stromstärke in } CD = \frac{\text{Spannungsdifferenz } C-D}{\text{Widerstand } CD}.$$

Für den Fall, dass durch die sogenannte Brücke kein Strom geht, sind, Fig. 22, die Stromstärke in AD = der Stromstärke in DB = i_1 , Stromstärke in AC = der Stromstärke in BC = i_2 und (wenn a, b, r und x die Widerstände der Stromzweige AD, AC, DB und BC bedeuten): $x i_2$

(= Spannungsdifferenz $B-C$) = $r i_1$

(= Spannungsdifferenz $B-D$). $b i_2$

(= Spannungsdifferenz $A-C$) = $a i_1$

(= Spannungsdifferenz $A-D$).

Also:

$$x i_2 = r i_1,$$

$$b i_2 = a i_1;$$

dividiert man diese beiden Gleichungen durcheinander, so erhält man

$$\frac{x}{b} = \frac{r}{a} \text{ oder } x = \frac{b}{a} \cdot r.$$

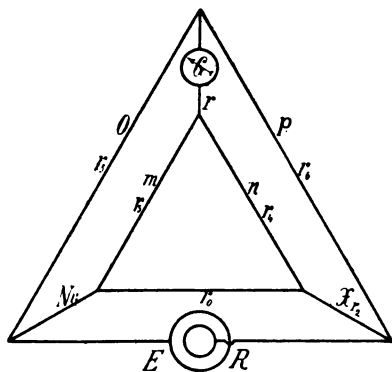


Fig. 23. Thomson'sche Doppelbrücke.

46. Thomson'sche Doppelbrücke.

Diese Brücke, deren Schaltungsschema Fig. 23 wiedergibt, dient zur Messung sehr kleiner Widerstände.

Widerstände: $r_0, r, r_1, r_2, r_3, r_4, r_5, r_6, R$

Ströme: $i_0, i, i_1, i_2, i_3, i_4, i_5, i_6, J$

Für $i = 0$ folgt aus dem Kirchhoff'schen Gesetze:

$$i_3 = i_4 \quad \dots \dots \dots I.$$

$$i_5 = i_6 \quad \dots \dots \dots II.$$

$$J = i_1 + i_5 = i_2 + i_6 \quad \dots \dots \dots III.$$

es muss daher $i_1 = i_2$ sein $\dots \dots \dots IV.$

$$i_1 = i_0 + i_3 \quad \dots \dots \dots V.$$

$$i_0 r_0 - i_3 r_3 - i_4 r_4 = 0 \quad \dots \dots \dots VI.$$

$$i_1 r_1 - i_5 r_5 + i_3 r_3 = 0 \quad \dots \dots \dots VII.$$

$$i_2 r_2 + i_4 r_4 - i_6 r_6 = 0 \quad \dots \dots \dots VIII.$$

Aus den letzten zwei Gleichungen folgt, wenn man in Betracht zieht, dass $i_1 = i_2$ und $i_3 = i_4$,

$$\frac{i_5 r_5}{i_6 r_6} = \frac{i_1 r_1 + i_3 r_3}{i_1 r_2 + i_3 r_4}$$

Aus der Gleichung VI folgt: $i_0 = \frac{i_3 r_3 + i_4 r_4}{r_0}$

und weil $i_1 = i_0 + i_3 \dots \dots \dots V$, so ist $i_1 = \frac{i_3 r_3 + i_4 r_4}{r_0} + i_3$; $i_1 = \frac{i_3 r_3 + i_4 r_4 + i_3 r_0}{r_0}$ und weil $i_3 = i_4 \dots \dots I$, so ist

$$i_1 = \frac{i_3}{r_0} (r_0 + r_3 + r_4).$$

Hiermit wird

$$\begin{aligned} \frac{r_5}{r_6} &= \frac{\frac{i_3 r_1}{r_0} (r_0 + r_3 + r_4) + i_3 r_3}{\frac{i_3 r_2}{r_0} (r_0 + r_3 + r_4) + i_3 r_4} = \frac{\frac{r_1 (r_0 + r_3 + r_4) + r_0 r_3}{r_0}}{\frac{r_2 (r_0 + r_3 + r_4) + r_0 r_4}{r_0}} = \\ &= \frac{r_1 (r_0 + r_3 + r_4) + r_0 r_3}{r_2 (r_0 + r_3 + r_4) + r_0 r_4} = \frac{r_1 + \frac{r_0 r_3}{r_0 + r_3 + r_4}}{r_2 + \frac{r_0 r_4}{r_0 + r_3 + r_4}} = \\ &= \frac{r_1 + \frac{r_3}{1 + \frac{r_3 + r_4}{r_0}}}{r_2 + \frac{r_4}{1 + \frac{r_3 + r_4}{r_0}}} \end{aligned}$$

Setzt man so wie Siemens und Halske $s = \frac{r_3}{r_4} = \frac{r_5}{r_6} \dots IX$,

$$\begin{aligned} \text{dann wird } \frac{r_3}{r_4} &= \frac{r_1 + \frac{r_3}{1 + \frac{r_3 + r_4}{r_0}}}{r_2 + \frac{r_4}{1 + \frac{r_3 + r_4}{r_0}}}; & \frac{\left(r_1 + \frac{r_3}{1 + \frac{r_3 + r_4}{r_0}}\right) r_4}{\left(r_1 + \frac{r_4}{1 + \frac{r_3 + r_4}{r_0}}\right) r_3} = \\ &= \frac{r_1 r_4 + \frac{r_3 r_4}{1 + \frac{r_3 + r_4}{r_0}}}{r_2 r_3 + \frac{r_3 r_4}{1 + \frac{r_3 + r_4}{r_0}}} = \frac{r_1 r_4}{r_2 r_3} = 1 \text{ oder} \end{aligned}$$

$\frac{r_1}{r_2} = \frac{r_3}{r_4} = s \dots X$; $r_2 = r_1 \cdot \frac{r_4}{r_3}$ und mit Berücksichtigung der Buchstaben in Fig. 23:

$$X = N \frac{n}{m}.$$

Setzt man $r_3 = r_4$ und $r_5 = r_6$, so muss nach den Gleichungen IX und X: $r_1 = r_2$ sein, d. h.:

$$X = N.$$

IV. Kapitel.

Wirkungen des galvanischen Stromes.

47. Eintheilung.

I. Wirkungen im Stromkreise.

1. Physiologische Wirkungen.
2. Chemische Wirkungen.
3. Wärmewirkungen (Kalorische Wirkungen).
4. Lichtwirkungen.
5. Mechanische Wirkungen.

II. Wirkungen des galvanischen Stromes in die Ferne.

1. Magnetische Wirkungen oder Elektromagnetismus.
2. Elektrische Wirkungen oder Wirkungen der Bewegung des elektrischen Stromes oder Elektrodynamik.

a) Wechselwirkung zwischen Strömen und zwischen Strömen und Magneten.

- b) Induktionswirkungen.
- c) Elektrische Schwingungen.

I. Wirkungen des galvanischen Stromes im Stromkreise.

48. Physiologische Wirkungen. Unter den physiologischen Wirkungen des elektrischen Stromes versteht man die Einwirkung desselben auf Menschen, Thiere und Pflanzen (§ 24).

Bringt man die Zunge zwischen einen blanken Zink- und einen blanken Kupferstreifen, so dass die Metallstreifen vor dem Munde in Berührung sind, so empfindet man einen sauren Geschmack, wenn das Kupfer oben auf der Zunge liegt, einen laugenhaften, wenn das Kupfer unten an der Zunge liegt.

Legt man einen Kupferstreifen an das rechte, einen Zinkstreifen an das linke Zahnfleisch der oberen Kinnlade und bringt dann die vorderen Enden der Metallstreifen miteinander in Berührung, so empfindet man vor den Augen einen vorübergehenden Lichtschimmer.

Das Schließen einer galvanischen Batterie von etwa 50 Elementen mit den angestrichenen Fingern verursacht in den Armen ein eigenthümliches Zucken, den sogenannten Schließungsschlag, das Öffnen des Stromkreises, durch das Entfernen der Hände von den beiden Endpolen, bewirkt ein schwächeres Zucken, den Öffnungsschlag.

Anwendung: Elektro-Medizin.

49. Chemische Wirkungen. Wasser, verdünnte Säuren, Metalloxyde und Salzlösungen werden durch den Strom in ihre Bestandtheile, Elektrolyte, zerlegt.

Nach Faraday heißen die Grenzflächen der Polplatten Elektroden. Die mit dem positiven Pole verbundene Elektrode heißt Anode, die mit dem negativen Pole verbundene Elektrode Kathode; die durch den Strom abgeschiedenen Stoffe nennt man Jonen und zwar den positiven Jon Anion, den negativen Jon Kation.

Die Apparate, in denen die Zersetzungen stattfinden, heißen Voltameter. Die Menge des abgeschiedenen Jon kann durch Wägen oder Messen ermittelt werden.

Die elektrochemischen Zerlegungen nennt man Elektrolysen.

Aus sämtlichen Flüssigkeiten (Lösungen) scheidet sich während der Elektrolyse der Sauerstoff am $+$, der Wasserstoff und die Metalle am $-$ Pole ab.

Bei der Elektrolyse werden am positiven Pole negative, am negativen Pole positive Massen frei. Es entsteht so zwischen diesen Massen ein Strom, welcher dem sie bildenden Strome entgegengesetzt gerichtet ist.

Die elektromotorische Kraft, welche der eingeschalteten Stromquelle entgegengesetzt gerichtet ist, nennt man die Polarisation der Elek-

troden. Den Strom der galvanischen Polarisation kann man an einem Messinstrumente beobachten, wenn man die Stromquelle abschaltet.

Eine ähnliche Erscheinung ist die sogenannte elektrische Endosmose. Trennt man z. B. in einem Gefäße, in welchem sich eine Kupfervitriollösung befindet, die letztere durch eine poröse Scheidewand und schickt Strom durch, so wird die Flüssigkeit in der Richtung des + Stromes fortgeführt, so dass die Flüssigkeit auf der Seite des negativen Poles ansteigt.

Die Wissenschaft, welche sich mit den chemischen Wirkungen des elektrischen Stromes befasst, heißt Elektrochemie.

Anwendung: Elektrochemie.

In das Gebiet der Elektrochemie gehören:

1. Die Elemente und die Batterien. Zwei durch eine Flüssigkeit miteinander verbundene Metalle, Fig. 24, zeigen an ihren Enden Elektrizität (§ 31) und stellen ein Element dar; sind die freien (hervorstehenden) Enden unverbunden, so heißt das Element offen, werden dieselben unter gleichzeitiger Zwischenschaltung eines Widerstandes miteinander vereinigt, so ist das Element geschlossen, werden dieselben dagegen ohne Zwischenschaltung eines Widerstandes vereinigt, dann nennt man das Element kurzgeschlossen.

Mehrere miteinander verbundene Elemente nennt man eine Batterie. Elemente, deren elektromotorische Kraft längere Zeit gleich bleibt, heißen konstante Elemente; zu den letzteren zählen die Elemente von:



Fig. 24.
Kurzgeschlossenes Element.

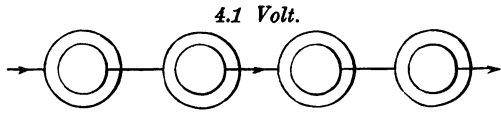


Fig. 25. Hintereinanderschaltung von vier Elementen.

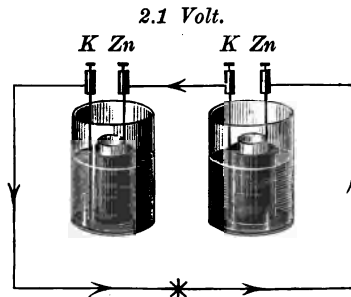


Fig. 26.
Hintereinanderschaltung zweier Daniell-Elemente.

a) Daniell (1836) mit den wesentlichen Bestandtheilen: Zink in verdünnter Schwefelsäure, Diaphragma (poröser Thoneylinder) und Kupfer in Kupfervitriollösung.

Um große Wärmeentwicklung zu verhindern, gießt man die Säure zum Wasser.

b) Meidinger (Callaud 1858, Meidinger 1859). Kupfer in Kupfervitriollösung und Zink in Bittersalzlösung. Die Lösungen stehen ohne Diaphragma übereinander.

c) Bunsen (1842). Zink in verdünnter Schwefelsäure, Diaphragma und Kohle in concentrirter Salpetersäure.

d) Grove (1839). Derselbe ersetzte in dem letztgenannten Elemente Kohle durch Platin.

e) Leclanché (1868). Zink in Salmiaklösung, Diaphragma und Gemisch von Braunstein und Kohle.

Die Schaltung der Elemente sei beispielsweise an 4 Elementen durchgeführt; sie kann sein:

1. Hintereinander-, Reihen- oder Serienschaltung (Schaltung auf Spannung), Fig. 25 u. 26.

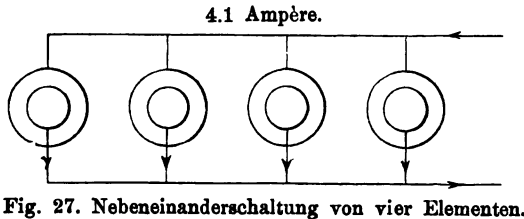


Fig. 27. Nebeneinschaltung von vier Elementen.

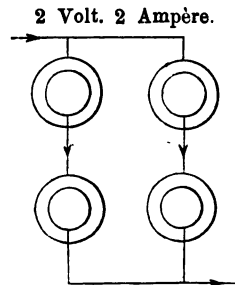


Fig. 28. Gemischte Schaltung von vier Elementen.

1. Hintereinander.
2. Nebeneinander.

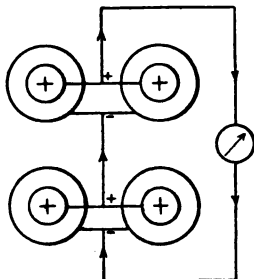


Fig. 29. Gemischte Schaltung von vier Elementen.

1. Nebeneinander.
 2. Hintereinander.
- 2 Ampère. 2 Volt.

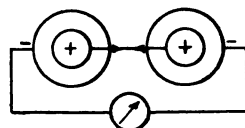


Fig 30. Gegeneinschaltung von zwei Elementen.

+ 1 Volt — 1 Volt.

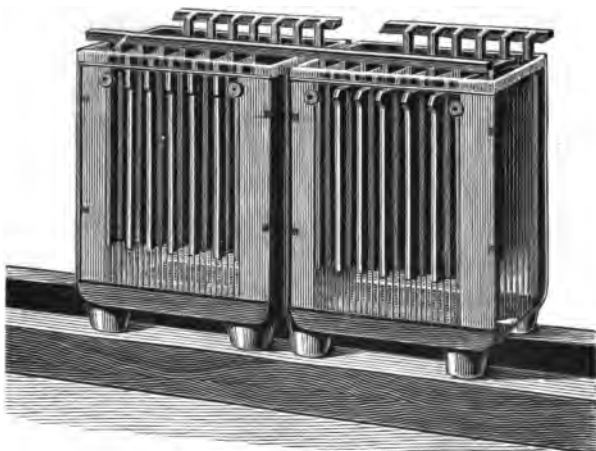


Fig. 31.

Zwei Zellen der Accumulatoren-Fabrik-Aktien-Gesellschaft (System Tudor).

2. Nebeneinander-, Nebenschluss-Parallel-, oder Shunt-Schaltung (Schaltung auf Stromstärke), Fig. 27.
3. Gemischte Schaltung.
 - a) Hintereinander-, Nebeneinander-Schaltung, Fig. 28.
 - b) Nebeneinander-, Hintereinander-Schaltung, Fig. 29.
4. Gegeneinander-Schaltung, Fig. 30.

Die Schaltungen können durch Drahtkombinationen (Pachytrope) gewechselt werden.

Diese Schaltungen finden nicht bloß bei den Elementen, sondern auf dem gesamten Gebiete der Elektrizitätslehre Verwendung.

2. Sammler (Accumulator oder Sekundärelemente), Fig. 31. Die Sammler haben den Zweck, Elektrizität in sich anzusammeln und dieselbe zu beliebiger Zeit wieder abzugeben. Die in der Elektrotechnik gebräuchlichsten Sammler bestehen aus Bleiplatten, welche in verdünnter Schwefelsäure, von einander metallisch isoliert, angeordnet sind. Die geraden Platten werden zu einem, die ungeraden zu einem zweiten Pole vereinigt.

Das erste Laden und Entladen (Formieren) der Platten dauert sehr lange, wenn die Platten rein metallisch sind. Beim Laden der Sammler bildet sich auf den Platten Bleisuperoxyd. Man kann deshalb den Vorgang des Formierens verkürzen, wenn man Mennige in die Bleiplatten (Bleigitter oder geriefte Platten) einstreicht, die sich durch die Elektrolyse bald in Bleisuperoxyd verwandelt.

Die Sammler beruhen wesentlich auf der Polarisation der Elektroden (S. 39).

3. Die Wasserzersetzung. Schickt man den Strom einer galvanischen Batterie zu zwei in Wasser befindlichen Platinelektroden,

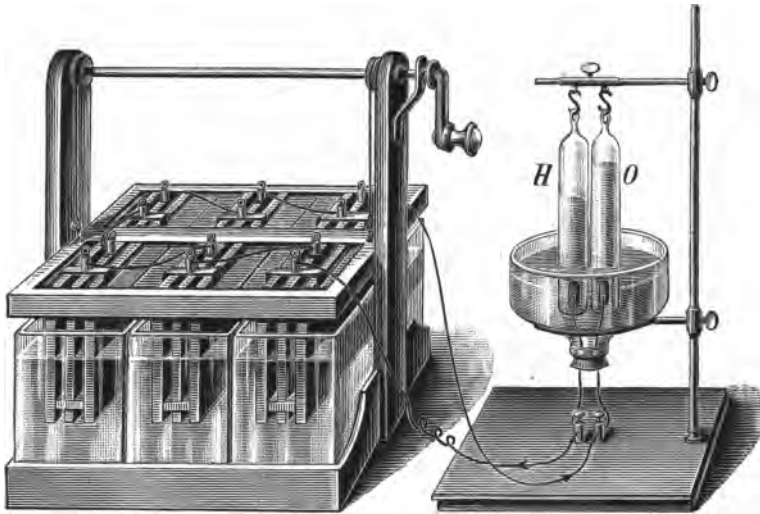


Fig. 32. Wasserzersetzungsgesetzungsapparat sammt Tauchbatterie.

Fig. 32, so steigen an diesen Gasblasen auf und zwar am positiven Pole Sauerstoff *O*, am negativen Wasserstoff *H*. In der Figur sind die Elemente der Tauchbatterie hintereinander geschaltet.

4. Das Voltameter (Faraday, 1835), Fig. 33, besteht aus zwei metallischen Elektroden (Kupfer, Silber, Platin u. s. w.) *A* und *K*, welche in die zu zersetzende Flüssigkeit eingetaucht sind. Das Glasrohr *G* dient zum Ausströmen der Gase. Zu den genauesten Strommessungen wird insbesondere das Silber-Voltameter verwendet; dasselbe besteht aus einer Silber-Anode (Stift aus reinem Silber) und aus einer Platin-Kathode (Platin-Tiegel). Die Elektroden, stehen in einer 15—30 procentigen Lösung von Silbernitrat (Höllenstein). Das Kupfer-Voltameter besteht aus einer Kupfer-Anode und aus einer Kupfer- oder Platin-Kathode in Kupfer-Sulphat-Lösung.



Fig. 33. Voltameter.

Anwendung: Genaue Stromstärkemessung.

5. Die Galvanoplastik. Die Galvanoplastik ist die Kunst, Metalle aus ihren Lösungen mittels des galvanischen Stromes an einer leitenden Kathode auszuscheiden und die Form der Elektrode nachzubilden. Die Erhabenheiten erscheinen als Vertiefungen und umgekehrt. So entsteht der negative Abdruck. Wird der negative Abdruck als Kathode benutzt, so erhält man den positiven Abdruck, welcher die Form der Kathode besitzt.

6. Die Galvanostegie. Die Galvanostegie ist die Kunst, dünne Schichten eines Metalles auf leitenden Unterlagen auszuscheiden. Dahin gehören: Vernickeln, Verkupfern, Versilbern u. s. w.

7. Die Galvanochromie. Die Galvanochromie oder galvanische Metallfärbung ist die Kunst, eine oberflächliche Färbung und Verschönerung von leitenden Unterlagen von einem äußerst dünnen Metallniederschlag auf elektrolytischem Wege herzustellen.

8. Die Heliogravure. Die Heliogravure ist die Kunst, elektrolytische Abdrücke von Photographien zu erzeugen.

9. Die Reinmetallgewinnung (Elektrometallurgie). Die Reinmetallgewinnung ist die Kunst, mittels der Elektrolyse Metalle in chemisch reinem Zustande zu gewinnen.

10. Weitere Gebiete der Elektrochemie. Das Färben, Bleichen, Gerben u. s. w. auf dem Wege der Elektrolyse.

11. Das Gravieren der Metalle. Die + Elektrode wird während der Elektrolyse aufgelöst. Überzieht man gewisse Stellen der + Elektrode mit einer isolierenden Substanz z. B. mit Wachs, so bleiben diese Stellen erhalten; sie sind erhaben gegen ihre Umgebung. Erhabene Stellen erhält man demnach durch das Isolieren, tiefe Stellen dadurch, dass man die Umgebung isoliert.

50. Wärmewirkungen. Ein dünner Draht wird, wenn man durch denselben eine Batterie kurz schließt, warm, glühend und schmilzt sogar, falls die Batterie die entsprechende Stromstärke besitzt.

Grove (1845) hat glühende Drähte in Glasballons behufs Vermeidung der „schlagenden Wetter“ in Bergwerken zur Beleuchtung vorgeschlagen. Der Vorschlag Grove's war ein Vorbote unserer heutigen Glühlampen.

Childern (1815) führte mittels des galvanischen Stromes Schmelzungen im Großen aus.

Roberts (1837) verwendete den galvanischen Strom zur Abgabe von Sprengschüssen (Elektrische Glühzündung); in der Galvanokaustik dienen glühende Drähte zum Entfernen von Auswüchsen am menschlichen Körper u. s. w.

Joule's Gesetz. Nach früherem (§ 38) ist eine elektrische Arbeit

$$= VCb = VA \text{ Sek. oder } PS = \frac{VA}{736}.$$

Setzen wir in der Gleichung Elektr. Arbeit = VA Sek. für $V = A \Omega$ (Ohm'sches Gesetz), so erhalten wir

$$\text{Elektr. Arbeit} = A^2 \Omega \text{ Sek.}$$

Diese Gleichung heißt Joule's Gesetz.

Diejenige Wärmemenge, welche erforderlich ist, um die Temperatur 1 g (1 kg) Wasser von 0° bis 1° C. zu erhöhen, nennt man Gramm-Kalorie = kleine Kalorie = kal. (Kilogramm-Kalorie = Kal.). 1 Kal. = 1000 kal.

Specifische Wärme oder Wärmekapazität σ nennt man diejenige Anzahl von Wärmeeinheiten (Kalorien), welche seine Masseneinheit (g oder kg, je nach der Definition der Kalorie) um 1° C. erwärmt (Wilke 1772).

Zur Erwärmung

1 g eines Körpers um 1° C.	ist die Wärmemenge $Q = \sigma$	kal. erforderlich.
2 g " " 1° C.	$Q = \sigma \cdot 2$	" "
2 g " " 3° C.	$Q = \sigma \cdot 2 \cdot 3$	" "
g g " " (T—t)° C.	$Q = \sigma g (T-t)$	" "

Für die Wärmemenge Q , welche erforderlich ist, um g g eines Körpers um (T—t)° C. zu erwärmen, ergibt sich demnach die Gleichung:

$$Q = \sigma g (T-t) \text{ kal.}$$

Beispiel: Wie viel kal. genügen zur Erwärmung von 5g Quecksilber ($\sigma = 0.0333$) von 0° auf 10° C.?

$$Q = 5 \cdot 0.0333 \cdot 10 = 1.665 \text{ kal.}$$

Durch Versuche hat man gefunden, dass durch den Verbrauch einer Arbeit von 423.5 mkg eine Wärmeeinheit (1 Kal.) erzeugt wird; umgekehrt erzeugt der Verbrauch einer Wärmeeinheit eine Arbeit von 423.5 kg. Man nennt diesen Satz die Äquivalenz von Wärme und Arbeit (R. Meyer 1842, Joule 1850.) Demnach ist

$$1 \text{ Kal.} = 423.5 \text{ mkg und daher}$$

$$1 \text{ kal.} = 0.4235 "$$

J. P. Joule (1841) fand durch Versuche, dass 1 Cb eine Wärmemenge von 0.24 kal. erzeugt oder mit anderen Worten:

1 A erzeugt in einem Widerst. v. 1 Ω in je 1 Sek. eine Wärmemenge	$Q = 0.24$	kal.
2 „ erzeugen „ „ „ 1 „ „ 1 „ „ „	$Q = 0.24 \cdot 2^2$	"
2 „ „ „ „ „ 1 „ „ 3 „ „ „	$Q = 0.24 \cdot 2^3 \cdot 3$	"
2 „ „ „ „ „ 3 „ „ 1 „ „ „	$Q = 0.24 \cdot 2^3 \cdot 3$	"
2 „ „ „ „ „ 3 „ „ 4 „ „ „	$Q = 0.24 \cdot 2^3 \cdot 3 \cdot 4$	"
A A „ „ „ „ „ Ω „ „ Sek. „ „	$Q = 0.24 \cdot A^2 \Omega \text{ Sek.}$	"

Allgemein erhalten wir demnach für die Wärmemenge Q , welche durch A Ampère in einem Widerstande von Ω Ohm in einer bestimmten Anzahl von Sekunden erzeugt wird, die Formel:

$$Q = 0.24 A^2 \Omega \text{ Sek. kal.}$$

Beispiel: Durch eine Drahtspule von 10Ω fließe ein Strom von $2A$; wie groß ist die in jeder Sekunde in dieser Spule erzeugte Wärmemenge Q ?

$$Q = 0.24 \cdot 2^2 \cdot 10 \cdot 1 = 9.6 \text{ kal.}$$

Anwendungen der Wärmewirkungen in der Elektrotechnik: Elektrisches Glühlicht, elektrische Minen- und Torpedozündung, Heizung, Löthung, Schweißung und Schmelzen mittels des elektrischen Stromes. Elektrische Leitungen schützt man durch dünnere Drähte aus Blei, Kupfer u. s. w. (Sicherungen), welche rechtzeitig abschmelzen vor zu starker Erwärmung.

51. Lichtwirkungen. Nicholson bemerkte (1800) beim Schließen und Öffnen einer Batterie einen kleinen Funken. Humphrey Davy erzeugte (1812) die ersten größeren elektrischen Lichtbögen zwischen zwei Kohlenspitzen mit einer Batterie von 2000 Elementen.

Anwendungen der Lichtwirkungen in der Elektrotechnik: Bogenlicht, Minen- und Torpedozündung.

52. Mechanische Wirkungen. Ströme wechselnder Richtung durchlöchern Glas u. s. w.

II. Wirkungen des galvanischen Stromes in die Ferne.

1. Magnetische Wirkungen oder Elektromagnetismus.

53. Grundgesetz. 1. Eine Magnetnadel wird durch den galvanischen Strom abgelenkt (Oersted, 1819); die Richtung der Ablenkung der Nadel ändert sich mit der Aufhängung der letzteren, ober- oder unterhalb, dies- oder jenseits des Stromes und wird durch die Ablenkungsregel von Ampère oder die Rechte Handregel bestimmt:



Fig. 34.
Rechte Hand über
dem Leiter, Nadel
unter dem Leiter.



Fig. 35.
Rechte Hand unter
dem Leiter, Nadel
über dem Leiter.

Denkt man sich, Fig. 34 und 35, die rechte Hand, so dass die Innenfläche derselben die Magnetnadel ansieht und der Strom bei den Fingerspitzen austritt, in den Strom hineingelegt, dann wird der Nordpol der Magnetnadel in der Richtung des ausgestreckten Daumens abgelenkt.

Vor einem Nordpole N , Fig. 36, aus gesehen muss daher der Strom in Drahtwindungen in der entgegengesetzten, vor einem Südpole S in derselben

Richtung der Uhrzeigerbewegung fließen. Sowie eine Magnetnadel werden alle paramagnetischen Körper durch den Strom abgelenkt. Paramagnetische Körper sind: Eisen, Stahl, Nickel, Kobalt, Platin u. s. w. Diese Körper nehmen Magnetismus an.

Nicht magnetisch erweisen sich dagegen die diamagnetischen Körper. Diamagnetisch sind: Wismut, Zink, Zinn, Blei, Kupfer, Silber,

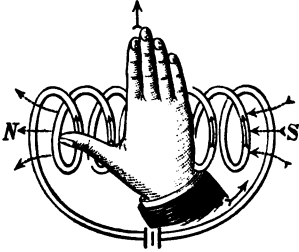


Fig. 36. Anwendung der Rechten Handregel zur Bestimmung der Pole eines Solenoides.

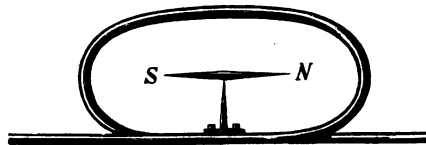


Fig. 37. Einfachstes Galvanometer.

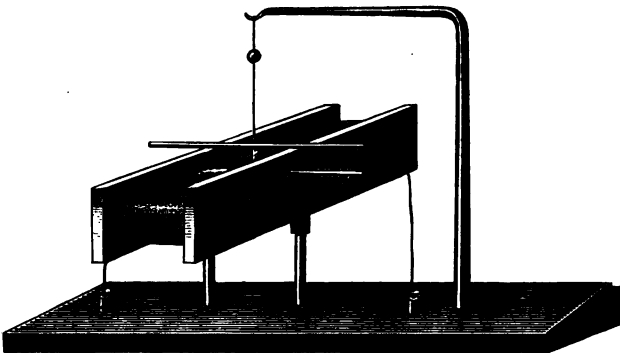


Fig. 38. Galvanometer mit astatischem Nadelpaar.

Gold, Schwefel, Wasser, Weingeist u. s. w. Diamagnetische Körper werden durch den Strom nicht abgelenkt. Nach den neuesten Versuchen sind alle Körper magnetisch.

54. Galvanometer, auch Multiplikator genannt (Schweigger, 1820), Fig. 37, zeigt eine Magnetnadel, umgeben von einer oder mehreren Drahtwindungen und dient dazu, das Dasein, die Richtung und die Stärke (Intensität) eines galvanischen Stromes zu bestimmen. Fig. 38 stellt den Multiplikator mit astatischer Nadel dar. Eine astatische Nadel besteht aus zwei, mit den entgegengesetzten Polen übereinander befestigten Magnetnadeln. Die Ablenkung des Nord-

poles der einen Nadel vom Nordmagnetismus der Erde wird durch die Anziehung des darunter befindlichen Südpoles der zweiten Nadel vom Nordmagnetismus der Erde aufgehoben. Der Erdmagnetismus hat demnach auf die Magnetnadel keinen Einfluss. Durch die in der letzten Figur getroffene Anordnung werden beide Nadeln vom Strome in gleichem Sinne beeinflusst und das Galvanometer wird empfindlicher. Zeigt das Instrument nur das Dasein und die Richtung des Stromes an, dann nennt man dasselbe Galvanoskop.

55. Elektromagnet. Fig. 39 bis 41, nennt man einen Stab aus Eisen (Schmiede- oder Gusseisen), welcher mit umsponnenen, vom Strome

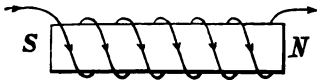


Fig. 39. Rechtsgewundene Spirale sammt Eisenkern.

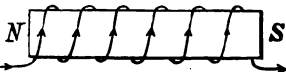


Fig. 40. Linksgewundene Spirale sammt Eisenkern.



Fig. 41. Elektromagnet *M* sammt Anker *A* und Gewicht.

durchflossenen Metalldrähten bewickelt ist. Der Eisenstab kann gerade, Fig. 39 und 40, oder hufeisenförmig, Fig. 41, oder anders gebogen sein. In Fig. 41 stellt *A* den sogenannten Anker vor. Die Pole des Elektromagnetes bestimmt die Ampère'sche Ablenkungsregel. Mit dem Strome verschwindet der Magnetismus bis auf den sogenannten zurückbleibenden (remanenten) Magnetismus, der nach jeder Magnetisierung zurückbleibt.

Im Naturzustande besitzt jedes Eisen natürlichen Magnetismus.

Nach A. von Waltenhofen ist der zurückbleibende Magnetismus größer, wenn der magnetisierende Strom langsam, kleiner, wenn der magnetisierende Strom plötzlich unterbrochen wird.

Die Drahtspiralen können in zwei verschiedenen Windungs- (Wicklungs-) Richtungen um den Eisenkern geführt sein. Je nach ihrer ver-

schiedenen Windungsrichtung theilt man die Spiralen in rechtsgewundene (dextrorsale), Fig. 39, und in linksgewundene (sinistrorsale), Fig. 40.

Die Wicklungsrichtung bestimme ich rasch nach einer oder der anderen der folgenden Regeln:

1. Eine Spirale ist rechts gewunden, wenn Anfang und Ende derselben, vor den Polen aus gesehen, in der Uhrzeigerbewegung verlaufen.

2. Eine Spirale ist rechts gewunden, wenn an der Stelle des Stromeintrittes ein Südpol entsteht.

Treffen diese Regeln nicht zu, dann ist die Spirale links gewunden.

Den Zusammenhang zwischen der Polarität und der Stromrichtung eines Elektromagnetes gibt auch die folgende Regel an: Fließt der Strom um den Stab in der Richtung, in welcher sich das Gewinde eines Korkziehers beim Auf- und Abwärtsschrauben dreht, dann bewegt sich jeder Punkt des Korkziehers gegen den Nordpol.

Man kann diese Regel ohneweiters auf die Fig. 31 und 32 anwenden, wenn man sich die Windungen durch das Gewinde des Korkziehers ersetzt denkt.

Die Stärke des Magnetismus, d. h. die ablenkende Wirkung, welche ein Elektromagnet auf eine Magnethadel ausübt, geben folgende Gesetze an:

1. Die doppelte, dreifache, vierfache, allgemein n -fache Stromstärke oder Windungszahl bedingt eine doppelte, dreifache, vierfache, n -fache Stärke des Elektromagnetes.

2. Je größer der Querschnitt des Eisenkernes ist, desto mehr Magnetismus vermag derselbe in sich aufzunehmen.

3. Nach A. von Waltenhofen ist die Stärke eines Elektromagnetes in Stabbündeln oder Röhren bei schwachen Strömen häufig gleich oder größer, bei starken Strömen immer kleiner als in massiven Stäben von demselben Querschnitte.

Anwendung der Elektromagnete in der Elektrotechnik: Dynamo, Elektromotoren, Beleuchtung (Regulierung der Lichtbogenlänge der Bogenlampen, Bildung des Lichtbogens u. s. w.), Telegraphie, Signalwesen, Registrier-, Kontrolle- und automatische Apparate u. s. w.

Berechnung der Länge des Drahtes auf einer Spule. Die Anzahl der Drähte, welche auf einer Spule in der Längsrichtung derselben nebeneinander Platz finden, nennt man eine Lage.

Bezeichnungen: L = Drahtlänge der Spule, M = Anzahl der Windungen einer Lage, R = Halbmesser über der fertiggewickelten Spule, r = Halbmesser der isolierten Spule, h = Durchmesser des isolierten Drahtes, $N = \frac{R-r}{h}$ = Anzahl der Lagen, $\frac{R+r}{2}$ = Halbmesser einer mittleren Windung, Mh = Innere Länge der Spule, $\pi(R+r)$ = Länge einer mittleren Windung. Mit Benützung dieser Bezeichnungen erhält man für die Länge des Drahtes die Formel:

$$L = MN\pi(R+r).$$

Beispiel: Eine Spule besteht aus 32 übereinander gewickelten Lagen zu je 65 Windungen eines isolierten 0.4 mm Drahtes; der Halbmesser der isolierten Spule $r = 22\text{ mm}$, der Halbmesser der fertiggestellten Spule $R = 96\text{ mm}$; wie groß ist die Länge L des gesamten Drahtes?

$$L = 65 \cdot 32 \cdot 3.14 (96 + 22) = 6531.2 \times 118 = 770681.6\text{ mm} \approx 771\text{ m}.$$

56. Gleichstrom-Läutwerk (Wecker, elektrische Klingel, Rassel), Fig 42 a, besteht aus dem Elektromagnete m_1, m_2 , dem eisernen Anker A , welcher mit der Metallkugel K und der Metallfeder F in leitender Ver-

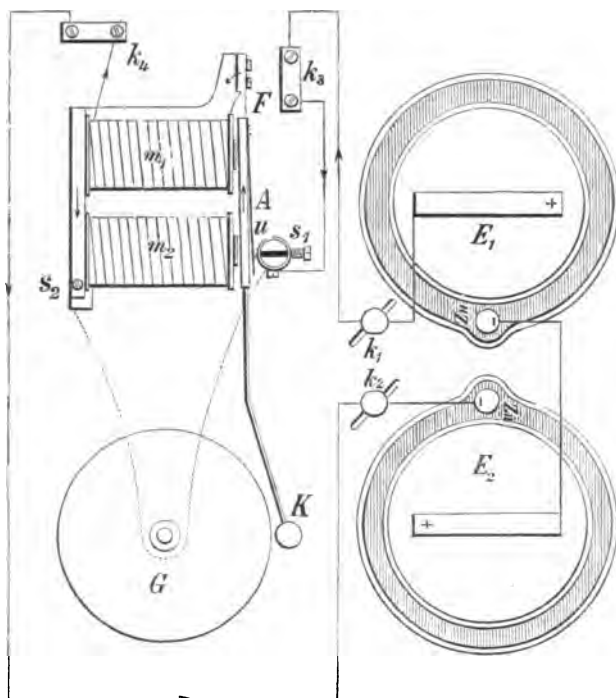


Fig. 42 a. Gleichstrom-Läutwerk.

bindung steht, sowie der Glocke G . Die Elemente E_1 und E_2 setzen das Läutwerk in Thätigkeit. Der Strom fließt von den Elementen (+ Pol des Elementes E_1) zu den Klemmen k_1 und k_3 zur isolierten Schraube s_1 , durch die Feder F und den Anker A in das Metallgestell des Apparates, von der Schraube s_2 in die Windungen des Elektromagnetes, zu den Klemmen k_4 und k_2 , zu den Elementen (— Pol des Elementes E_2) zurück. Die in der Figur wiedergegebenen Elemente stellen die obere Ansicht (Daraufsicht) von Leclanché-Elementen dar.

Der Strom magnetisiert das Eisen des Elektromagnetes, letzterer zieht

den Anker A an, so dass der Strom bei u unterbrochen erscheint. Der Elektromagnet wird jetzt unmagnetisch, der Anker nimmt durch die Elasticität der Feder F seine ursprüngliche Stellung ein und schließt den Stromkreis. Durch die so entstehende hin- und hergehende Bewegung des Ankers A schlägt die mit demselben fest verbundene Kugel K in rascher Aufeinanderfolge an die Glocke G . Dieses Läutewerk arbeitet mit Gleich- und Wechselstrom, wird jedoch nur für Gleichstrom verwendet, weil die folgende Konstruktion des Wechselstrom-Läutewerkes schon bei den schwächsten Strömen zuverlässig arbeitet.

Der Haustelegraph besteht in seiner einfachsten Form aus einem Elemente, einem Gleichstrom-Läutewerke und aus einem Taster. Bringt man an irgend einer Stelle des obigen Stromkreises, Fig. 42 a, einen Taster an, so kann man durch das „Drücken“ desselben den Stromkreis schließen. Sobald der Stromkreis geschlossen ist, tritt das Läutewerk in Thätigkeit.

Eine solche Einrichtung gibt Fig. 42 b wieder. Zwei Elemente, der Taster T_1 und das Läutewerk K sind hintereinander geschaltet. Drückt man den Taster T_1 , so schließt man den Stromkreis und das Läutewerk tritt in Thätigkeit.

Die Einrichtung eines Tasters ist in derselben Figur veranschaulicht. Durch das Drücken eines Knopfes wird bei C der Kontakt hergestellt, wodurch die in den Taster ein- und austretende Leitung mit einander verbunden erscheint. Der Taster T_1 befindet sich in einem Zimmer. Will man auch von einem 2.

Zimmer aus Signale geben, dann schaltet man in diesem Zimmer parallel zu dem ersten Taster T_1 einen zweiten T_2 ein. Nun schließt auch der Taster T_2 beim Drücken den Stromkreis. Ebenso kann man weitere Taster in weiteren Wohnräumen parallel zu den Tastern T_1 und T_2 einschalten. Der Morse-Schreibapparat und das Relais, welche in der Telegraphie verwendet werden, sind Gleichstrom-Läutewerke ohne Stromunterbrechung (Einschläger). Mittelst eines Haustelegraphen ist man bereits in der Lage, nicht bloß Signale, sondern auch Worte wiederzugeben. Man kann für die verschiedenen Buchstaben des Alphabetes langsam oder rascher aufeinander folgende und verschieden lange u. s. w. Signale geben. Anstatt gegen eine Glockenschale schlägt bei den sogenannten

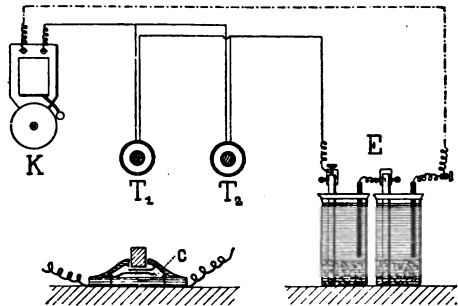


Fig. 42 b. Haustelegraph-Einrichtung.

Klopfen der Hammer gegen eine Trommel und man empfängt Zeichen durch das Gehör.

Bringt man anstatt des Hammers *K*, Fig. 42 a, einen Schreibstift an, der gegen ein abrollendes Papier anschlagen kann, so stellt diese Anordnung des Läutewerkes einen Morse-Schreibapparat vor. Beim Telegraphieren auf größere Entfernungen müsste der Strom in der Linie (Fernleitung) zu stark sein, um den schwerfälligen Morse-Schreibapparat in Thätigkeit zu setzen. Man schaltet deshalb anstatt des Schreibapparates das sogenannte Relais, welches schon bei den schwächsten Strömen arbeitet, ein. Das Relais, wesentlich ebenfalls ein Läutewerk, empfängt den Linienstrom von der 1. Station und schaltet in der 2. Station, in welcher man die Zeichen empfängt, eine Batterie sammt einem Morse-Schreibapparate ein und aus. Das telegraphische Alphabet setzt sich aus Punkten und Strichen zusammen, welche durch kürzeres oder längeres Anschlagen auf einen Taster erhalten werden.

Der Typendrucker nach D. E. Hughes gibt die Depeschen in großen, römischen Buchstaben wieder. Der sogenannte *Télescripteur* nach Hoffmann ist ein neuer einfacher Typendrucker, welcher große Ähnlichkeit mit einer Schreibmaschine hat.

Eine ganz neue Konstruktion derselben Art stellt der *Zerograph* nach Leo Kamm¹⁾ dar. Der *Telauteurgraph*²⁾ nach Elisha Gray ist bereits seit 1893 so vollkommen, dass eine mit Griffel oder Feder hergestellte Zeichnung in einer anderen Station genau wiedergegeben werden kann.

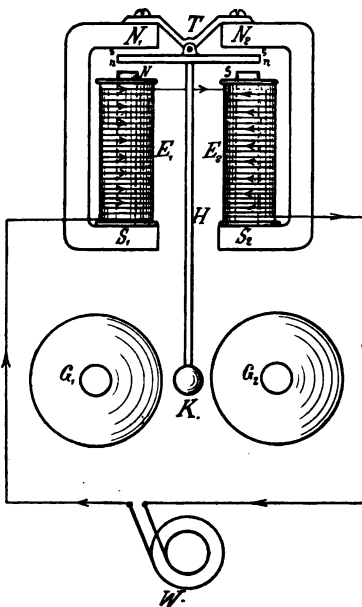


Fig. 43. Wechsel-Läutewerk.

57. Wechselstrom - Läutewerk, Fig. 43. Auf den beiden Stahlmagneten $N_1 S_1$ und $N_2 S_2$ sind die beiden Elektromagnete E_1 und E_2 aufgeschraubt, deren Eisenkernen somit Süd- und Nordmagnetismus mitgeteilt wird. Der Anker *A* besteht aus weichem Eisen (Schmiedeeisen), welches von den Schenkeln $N_1 N_2$ der Stahlmagnete $N_1 S_1$ und $N_2 S_2$, durch das Messingstück *T*, getragen wird. Die Pole $N_1 N_2$ erzeugen im Anker *A* auf der ihnen zugewendeten Seite Süd- und Nordmagnetismus *ss*, auf der abgewendeten Seite Nordmagnetismus *nn*. Mit dem

¹⁾ Zeitschrift für Elektrotechnik, 1898, S. 153 bis 155.

²⁾ Johann Sahulka. Die Elektrotechnik auf der Weltausstellung in Chicago, 1895 herausgegeben, S. 87 bis 98, Fig. 67 bis 71.

Anker A ist der Hebel H sammt dem Hammer K fest verbunden. Fließt ein Strom in der Richtung der in der Fig. 43 eingezeichneten Pfeile aus der Wechselstrommaschine (Induktionsapparate) W in die Spulen der Elektromagnete E_1 und E_2 , so wird E_1 nordmagnetisch und stößt den Nordpol n des Ankers A ab, gleichzeitig wird der Elektromagnet E_2 stärker südmagnetisch und zieht den Nordpol n des Ankers A an. Die Pole der Elektromagnete E_1 und E_2 bewirken demnach eine Bewegung des Hammers H gegen die Glocke G_1 . Wechselt der Strom seine Richtung, dann wird der Elektromagnet E_1 stärker südmagnetisch und zieht den Nordpol n des Ankers A an, der Elektromagnet E_2 dagegen wird nordmagnetisch und stößt den Nordpol n des Ankers A ab, so dass infolge der beiden letzten Wirkungen der Hammer K gegen die Glocke G_2 schlägt. Dieses Spiel findet so lange statt, als der Stromkreis geschlossen erscheint. Die größte Verbreitung hat der Wechselstrom-Wecker in der Schwachstromelektrotechnik (insbesondere in der Telephonie zum Anrufe) und als Bestandtheil des Isolationsprüfers gefunden.

2. Elektrische Wirkungen oder Wirkungen der Bewegung des elektrischen Stromes oder Elektrodynamik.

I. Wechselwirkungen zwischen Strömen und zwischen Strömen und Magneten.

58. **Parallele Ströme.** Parallel und gleichgerichtete Ströme ziehen einander an, entgegengesetztgerichtete Ströme stoßen einander ab.

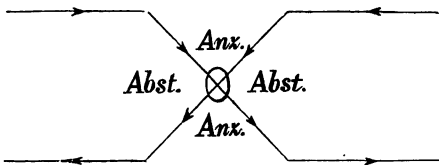


Fig. 44. Gekreuzte Ströme.

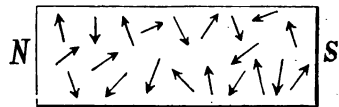


Fig. 45. Eisen im Natur-Zustande.

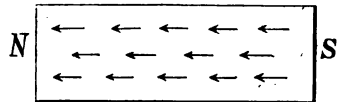


Fig. 46. Magnetisiertes Eisen.

59. **Gekreuzte Ströme,** Fig. 44, ziehen einander an, wenn sie entweder gleichzeitig gegen den Scheitel O eines Winkels gerichtet sind oder beide von dem Scheitel O eines

Winkels ausgehen. Geht ein Strom gegen den Scheitel eines Winkels, ein zweiter Strom vom Scheitel desselben Winkels, so stoßen sie einander ab.

Gekreuzte Ströme haben das Bestreben, sich so zu stellen, dass sie parallel laufen und nach derselben Richtung fließen.

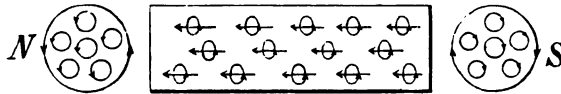


Fig. 47. Kreisströme des magnetisierten Eisens.

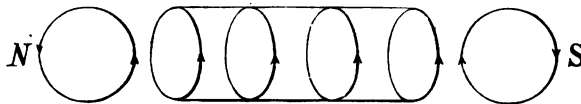


Fig. 48. Resultierender Kreisstrom.

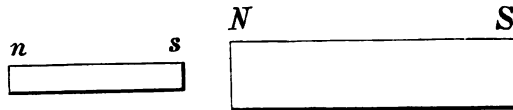


Fig. 49. Magnetische Influenz.

60. Kraftlinientheorie.

Wechselwirkung zwischen elektrischen Strömen, gewöhnlichen Magneten und dem Erdmagnetismus. Nach der Annahme über das Wesen des Magnetismus besteht jedes Eisen aus Elementarmagneten (kleinsten Magneten), die im Naturzustande, Fig. 45, die verschiedensten, im magnetischen Zustande, Fig. 46, dieselbe Richtung haben.

Magnetisieren heißt demnach die Elementarmagnete gleichrichten.

Es ergibt sich dann nach der Seite hin, nach welcher alle Nordpole gerichtet sind, ein gemeinsamer Nordpol, nach der Seite hin, nach welcher alle Südpole gerichtet sind, ein gemeinsamer Südpol.

Nach Ampère ist jedes kleinste Theilchen (Molekül) eines magnetischen Körpers von einem galvanischen Kreisstrom umflossen, Fig. 39; alle diese Molekularströme setzen sich zu einem resultierenden Strome zusammen, welcher je einen Querschnitt des Magnetes in der Richtung der Achse spiralförmig umkreist, Fig. 48.

Die Richtung des Stromes bestimmt die Rechte Handregel (§ 53). Denkt man sich die rechte Hand so liegend, dass die Innenfläche den Magnet ansieht und mit dem ausgestreckten Daumen nach dem Nordpole zeigt, so müssen sowohl die Molekularströme, als auch der resultierende Strom bei dem Handgelenke ein-, bei den Fingerspitzen austreten.

Unmagnetisches Eisen wird von beiden Polen eines Magnetes angezogen. Bringt man einen Stab aus weichem Eisen ns , Fig. 49, in die Nähe eines Magnetes NS , so wird derselbe durch Fernwirkung (Influenz) magnetisch. Das dem Nordpole N zugewendete Ende des Stabes ns wird süd-, das abgewendete Ende nordmagnetisch. Da bekanntlich gleichna-

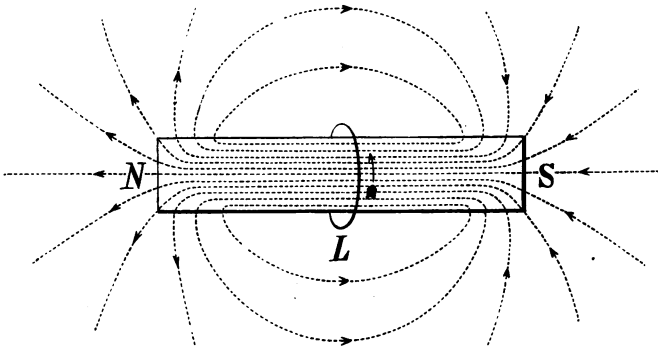


Fig. 50. Kraftlinienbild eines stabförmigen Magnetes.

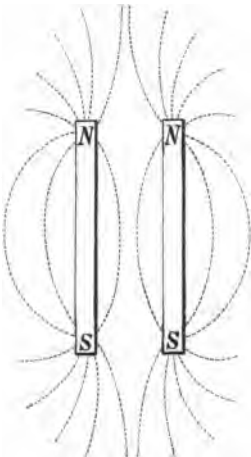


Fig. 51. Kraftlinienbild zweier Magnetstäbe, wenn gleiche Pole einander gegenüberliegen.

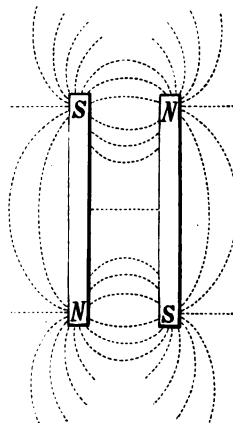


Fig. 52. Kraftlinienbild zweier Magnetstäbe, wenn ungleiche Pole einander gegenüberstehen.

mige Magnetismen einander abstoßen, ungleichnamige dagegen einander anziehen, muss zwischen *N* und *s* Anziehung stattfinden. Infolge dieser Fernwirkung des Magnetismus zieht ein Magnetpol, Eisenfeilspäne an.

Von dem Pole aus gehen die magnetischen Linien, nach Faraday „Kraftlinien“ genannt, nach allen Richtungen des Raumes aus. Eine frei aufgehängte Magnetnadel stellt sich in die Richtung der Kraftlinien ein.

Den Raum, innerhalb dessen ein magnetischer Pol wirksam ist, nennt man sein magnetisches Feld.

Fig. 50 stellt das Bild der Kraftlinien eines Magnetstabes *NS* dar. Der Verlauf der Kraftlinien lässt sich durch Eisenfeilspäne oder durch eine frei aufgehängte Magnetnadel verfolgen. Die Kraftlinien eines geraden Magnetstabes, Fig. 42, gehen außerhalb desselben vom Nordpole zum Südpole über. Die Luft setzt den Kraftlinien einen sehr großen Widerstand entgegen. Sämmtliche Kraftlinien gehen außerhalb des Stabes vom Nordpole zum Südpole über, ein Theil derselben findet diesen Schluss erst auf großen Umwegen. Fig. 51 und 52 stellen die Gestaltung des magnetischen Feldes zweier nebeneinander befindlicher Magnetstäbe dar. Aus Fig. 51 ist ersichtlich, dass sich die Kraftlinien gleicher Pole abstoßen, aus Fig. 52 dagegen geht die Anziehung der Kraftlinien entgegengesetzter Pole hervor. Faraday hat folgende Regeln aufgestellt:

1. Jede Kraftlinie sucht den kürzesten Weg zurückzulegen.
2. Gleichgerichtete Kraftlinien stoßen einander ab, ungleichgerichtete dagegen ziehen einander an und suchen einander zu durchdringen. Aus diesen beiden Regeln folgen die in den Fig. 51 und 52 eingezeichneten Verläufe der Kraftlinien des magnetischen Feldes zweier Magnetstäbe. Nach der ersten Regel nach Faraday würden die Kraftlinien, Fig. 52, vom Nord- zum Südpole in geraden Linien übergehen; dieser Verlauf der Kraftlinien wird jedoch durch die 2. Regel nach Faraday, laut welcher diese gleichgerichteten Kraftlinien einander abstoßen und so die Luft-räume zwischen den Polschuhen bogenförmig überbrücken, theilweise verhindert.

61. Anwendung der Kraftlinientheorie.

Fig. 53 versinnlicht das Bild der Kraftlinien zwischen den Polen eines Hufeisenmagnetes.

Befindet sich ein Stück Eisen *E*, Fig. 54, in einem magnetischen Felde, so wird dasselbe die meisten Kraftlinien in sich aufnehmen und so das magnetische Feld, in der durch die Figur angedeuteten Weise gestalten.

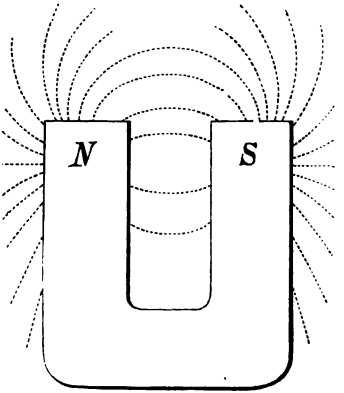


Fig. 53. Kraftlinienbild eines Hufeisenmagnetes.

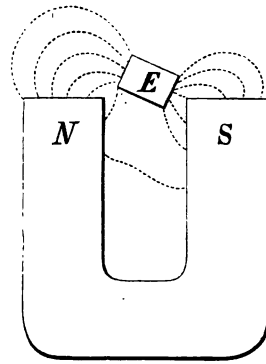


Fig. 54. Einfluss des Eisens *E* auf das Kraftlinienbild eines Hufeisenmagnetes.

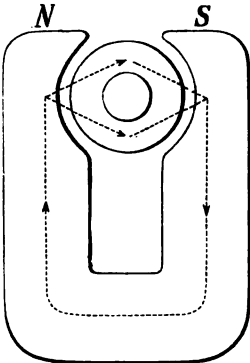


Fig. 55. Verlauf der Kraftlinien in einer elektrischen Maschine.

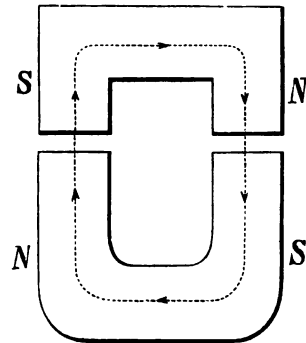


Fig. 56. Verlauf der Kraftlinien in zwei einander gegenüberstehenden Hufeisenmagneten.

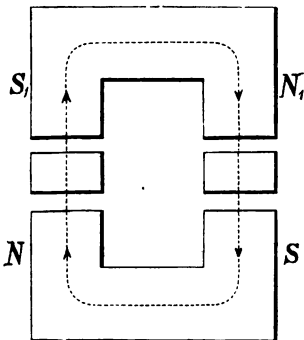


Fig. 57. Verlauf der Kraftlinien in einer elektrischen Maschine.

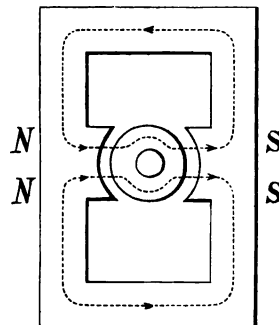


Fig. 58. Verlauf der Kraftlinien in einer elektrischen Maschine.

Weiches Eisen ist der beste Leiter des Magnetismus. Ein in dem magnetischen Felde zwischen den Polen N und S , Fig. 55, befindlicher Eisenring wird, ähnlich wie das Eisenstück E , Fig. 54, sämtliche Kraftlinien bis auf jene, welche durch die Luft gehen, von Pol zu Pol leiten. Fig. 55 stellt zugleich den Verlauf der Kraftlinien in elektrischen Maschinen und Motoren dar.

In Fig. 56 ist der Verlauf der Kraftlinien eines Hufeisenmagnetes durch das Eisenstück (Anker) NS wiedergegeben.

Ein Bild des Verlaufes der Kraftlinien zweier Hufeisenmagnete NS und N_1S_1 , zwischen welchen zwei Eisenkerne angebracht sind, stellt Fig. 57 vor.

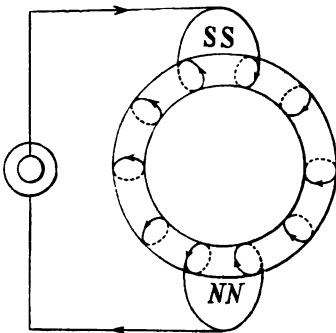


Fig. 59. Polbildungen in einem geschlossen bewickelten, kreisförmigen Elektromagnete.

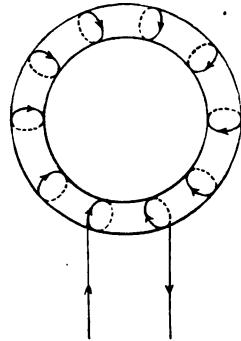


Fig. 60. Polbildung in einem offen bewickelten, kreisförmigen Elektromagnete.

Fig. 58 veranschaulicht den Verlauf der Kraftlinien eines doppelten Hufeisenmagnetes, zwischen dessen Polen NN und SS ein Eisenring angeordnet ist.

Gleichnamige doppelte Pole bezeichnet man als Folgepole.

Ein eiserner Ring, welcher, sowie es Fig. 59 darstellt, vom Strome umflossen wird, erhält bei SS einen doppelten Südpol, bei NN einen doppelten Nordpol. Diese Magnetisierungsverhältnisse zeigen die Ringe der elektrischen Maschinen und Motoren.

Ein Ring nimmt keine Pole an, wenn derselbe in der durch Fig. 60 angedeuteten Art vom Strome umflossen wird. Diese Anordnung gibt einen sogenannten pollosen Ring wieder, wie solche bei den meisten Transformatoren in der Elektrotechnik Verwendung finden.

Während in dem letzteren Ringe sämtliche Kraftlinien im Eisen in der Richtung der Windungen verlaufen, findet bei der in Fig. 61 skizzierten Anordnung zwischen Wicklung und Eisenring Streuung statt.

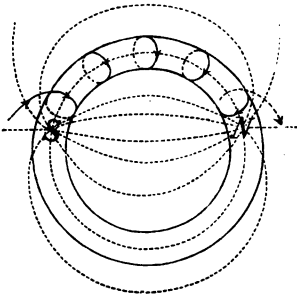


Fig. 61. Teilweise bewickelter Elektromagnet.



Fig. 62. Der Strom zieht Eisenfeilspäne an.

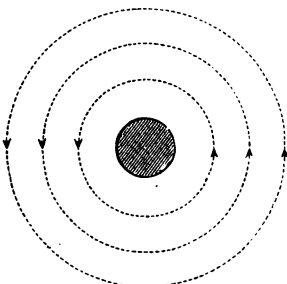


Fig. 63. Kraftlinienbild eines aus der Zeichnungsebene austretenden Stromes.

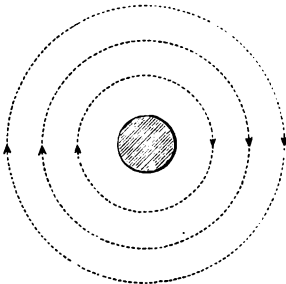


Fig. 64. Kraftlinienbild eines in die Zeichnungsebene eintretenden Stromes.

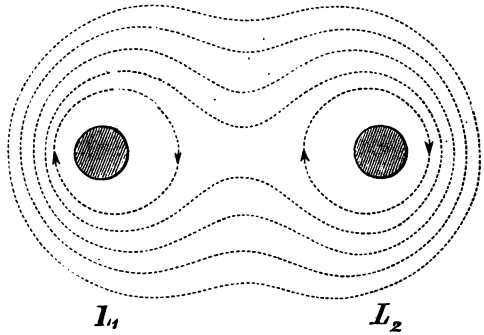


Fig. 65. Kraftlinienbild parallel und gleichgerichteter Ströme.

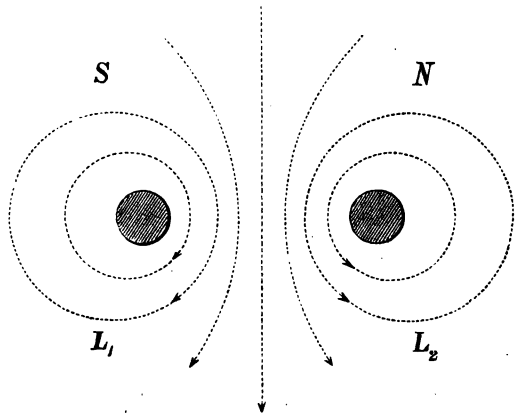


Fig. 66. Kraftlinien parallel und entgegengesetzt gerichteter Ströme.

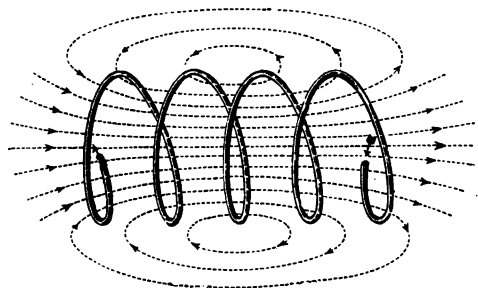


Fig. 67. Kraftlinienbild eines Solenoides.

Hier bilden sich bei N ein Nordpol, bei S ein Südpol und alle zwischen diesen Polen möglichen Verbindungen werden von Kraftlinien durchsetzt. Die meisten Kraftlinien verlaufen in dem geringeren Widerstande des Eisens; eine kleine Anzahl jedoch findet ihren Schluss durch die Luft. (Streuung der Kraftlinien).

62. Magnetische Felder der Ströme.

Ähnlich wie Magnete erzeugen Ströme magnetische Felder. Schaltet man, Fig. 62, in den Stromkreis einer Stromquelle einen Leiter ein, so zieht derselbe, ähnlich wie ein Magnet, Eisenfeilspäne an.

Die Kraftlinien eines geradlinig verlaufenden Stromes haben die in den Figuren 63 und 64 angegebene Richtung und lassen sich, sowie jene der Magnete, durch Eisenfeilspäne oder durch eine Magnetnadel nachweisen. Die zwei schraffierten Kreise in den Fig. 63 und 64 stellen Schnitte durch einen geradlinigen Leiter dar. In Fig. 63 tritt der Strom aus der Zeichnungsebene heraus, in Fig. 64 hat er die entgegengesetzte Richtung.

L_1 und L_2 , Fig. 65, deuten zwei Schnitte zweier nebeneinander verlaufender Ströme oder zweier Theile eines und desselben Stromes an. Nach Früherem ziehen parallele und gleichgerichtete Ströme einander an. Eine ebensolche Wirkung findet zwischen den Magnetismen derselben statt. Da die Richtung der Kraftlinien, Fig. 65, der beiden Ströme dieselbe ist, müssen die zwischen den Leitern L_1 und L_2 gelegenen Kraftlinien die entgegengesetzte Richtung haben und einander anziehen.

Weiters stoßen nach Früherem parallele und entgegengesetzt gerichtete Ströme einander ab. Die beiden Ströme in L_1 und L_2 , Fig. 66, erzeugen entgegengesetzt gerichtete Kraftlinien, so dass die zwischen den Leitern L_1 und L_2 liegenden Kraftlinien gleiche Richtung haben und einander abstoßen.

Das Bild der Kraftlinien eines kreisförmig geschlossenen Leiters ist in der Zeichnungsebene dasselbe wie dasjenige in Fig. 66. Bei S tritt der Strom in die Zeichnungsebene, bei N aus derselben. Zwischen den Leiterschnitten drängen sich die Kraftlinien, da sie gleichgerichtet sind, gegenseitig an den Leiter.

Das magnetische Feld eines Solenoides charakterisiert das in Fig. 67 wiedergegebene Schema. Diese Kraftlinien haben einen ähnlichen Verlauf wie jene eines Magnetstabes (Fig. 50).

63. Vergleich zwischen Strömen und Magneten.

Die wichtigsten Punkte des ähnlichen Verhaltens zwischen Strömen und Magneten sind demnach:

1. Magnete und Ströme senden magnetische Kraftlinien aus, deren Verlauf durch eine Magnetnadel oder durch Eisenfeilspäne leicht nachweisbar ist.

2. Vor einem magnetischen oder elektrischen Nordpole aus gesehen haben die Ampère'schen Molekularströme, beziehungsweise die elektrischen Ströme, die entgegengesetzte Richtung der Uhrzeigerbewegung, vor einem Südpole aus gesehen die Richtung der Uhrzeigerbewegung.

3. Ein von einem Strome durchflossener Draht zieht, ähnlich wie ein Magnet, Eisenfeilspäne an.

4. Ein von einem Strome durchflossenes Solenoid stellt sich, so wie eine Magnetnadel, in den magnetischen Meridian der Erde ein.

5. Ströme zeigen ein ähnliches Verhalten gegen einander wie Magnete; die Bilder der Kraftlinien nebeneinander befindlicher Stromspiralen gestalten sich ähnlich, wie jene ebenso angeordneter Magnete.

6. Parallel und gleichgerichtete Ströme ziehen einander an. Im Zusammenhange mit diesem Satze steht die Anziehung ungleichnamiger Magnetismen, beziehungsweise die Anziehung ungleichgerichteter Kraftlinien.

7. Parallel und entgegengesetztgerichtete Ströme stoßen einander ab. Dieser Satz steht im Zusammenhange mit der Thatsache, dass gleichnamige Magnetismen, beziehungsweise gleichgerichtete Kraftlinien einander abstoßen.

Da die Erde magnetisch ist, muss dieselbe in der Richtung von Ost nach West von elektrischen Strömen umflossen sein.

II. Elektrodynamische Induktion.

a) Strom- oder Voltainduktion.

64. Gegenseitige Induktion. Jeder elektrische Strom, z. B. der Strom im seidenumspunnenen Drahte der Hauptspule H , Fig. 68, erregt in dem Augenblicke, in welchem er geschlossen, geöffnet, gestärkt, geschwächt, bewegt oder seine Richtung gewechselt wird, in der Induktionsspule J durch gegenseitige Induktion Ströme, die sogenannten Neben- oder Induktionsströme. U in Fig. 68 stellt einen selbstthätigen Stromunterbrecher und Schließer (Neef'schen Hammer) vor, welcher wesentlich dieselbe Einrichtung wie das Läutewerk (§ 53, Fig. 42) besitzt.

Gesetze über die Richtung des durch den Hauptstrom in H erzeugten Induktionsstromes in J :

1. Das Schließen, Stärken des Stromes in H , die Bewegung von H gegen J , J gegen H oder die gleichzeitige

Bewegung von H gegen J und J gegen H erzeugen in J Induktionsströme von der entgegengesetzten Richtung des Hauptstromes in H .

2. Das Öffnen, Schwächen des Stromes in H , die Bewegung von H von J oder J von H oder die gleichzeitige Bewegung von H von J und J von H und der Richtungswechsel des Stromes (Wechselstrom) in H erzeugen in J

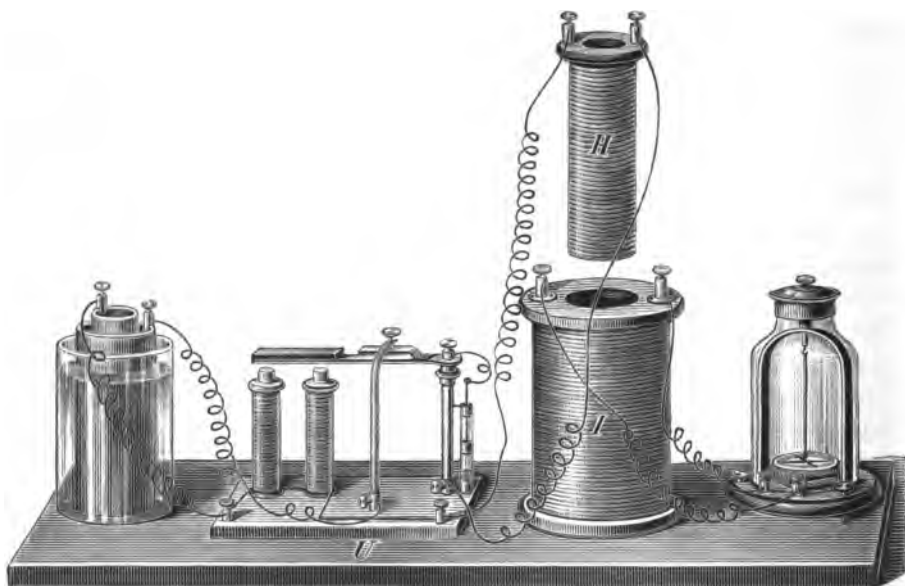


Fig. 68. Nachweis der Strominduktion.

Induktionsströme von der Richtung des Hauptstromes in H . Durch eine rasche Aufeinanderfolge des Schließens und Öffnens u. s. w. des Hauptstromes erhält man in J Induktionsströme von wechselnder Richtung, Wechselströme.

65. Selbstinduktion. Auch in der Hauptspule H , Fig. 68, entstehen beim Auftreten, Verschwinden, Stärken, Schwächen, der Bewegung oder dem Richtungswechsel des Stromes in H durch Selbstinduktion Ströme, welche den Schließungsschlag schwächen und den Trennungsschlag verstärken, die sogenannten Gegen- oder Extraströme.

Jeder Induktionsstrom dauert nur einen Augenblick.

Schließungsextraströme sind dem Haupt- oder primären Strome entgegengesetzt, Öffnungsextraströme gleichgerichtet.

Die Selbstinduktion hemmt demnach Stromänderungen, verlangsamt

das Anwachsen und Abfallen des Stromes. In der Telegraphie z. B. schwächen die Schließungsextraströme den Hauptstrom und verzögern das rasche Entstehen des zum Anzuge des Ankers der Apparate erforderlichen Magnetismus, also den Beginn des telegraphischen Zeichens, dagegen verzögern die Öffnungsextraströme das Verschwinden des hervorgerufenen Magnetismus und verlängern so das gegebene Zeichen.

Wo Ströme auftreten oder verschwinden, stärker, schwächer werden, ihre Richtung wechseln, wo Ströme oder Magnete oder Ströme und Magnete gegeneinander bewegt werden, entsteht eine elektromotorische Kraft der gegenseitigen oder Selbstinduktion im benachbarten und im eigenen Leiter, welche den inducierten Strom beeinflussen.

Es ist demnach die Ursache der Elektricitätsbewegung eines durch gegenseitige oder Selbstinduktion erzeugten Stromes, sowie die Ursache jeder Elektricitätsbewegung überhaupt eine elektromotorische Kraft.

b) Induktion durch Magnete (Magneto- und Elektromagnetinduktion).

66. Grundversuch. Ersetzt man in Fig. 68 die Hauptspule H durch ein Stück weiches Eisen¹⁾, einen Stahl- oder Elektromagnet M , Fig. 69, so werden in der Induktionsspule J ebenfalls Induktionsströme erzeugt. Während früher, Fig. 68, durch einen Strom ein Strom induciert wurde, induciert jetzt ein Magnet einen Strom.

Für die Richtung der Induktionsströme gelten hier dieselben Gesetze, wie bei der Strominduktion, man braucht nur statt den oben angegebenen Ursachen der Stromerzeugung die Richtungen der Ströme entsprechenden Richtungen der Molekularströme des Magnetes einzuführen.

Die beiden oben über die Richtung der Induktionsströme angege-



Fig. 69. Nachweis der Induktion durch Magnete.

¹⁾ Jedes weiche Eisen hat einen, wenn auch ganz geringen Magnetismus (natürlichen Magnetismus).

benen Gesetze lauten dann mit Bezug auf Fig. 69 für die Magnetoinduktion folgend:

1. Das Magnetischwerden, Stärken des Magnetismus in M , die Bewegung von M gegen J oder J gegen M oder die gleichzeitige Bewegung von M gegen J und J gegen M , erzeugen in J Induktionsströme von der entgegengesetzten Richtung der Molekularströme in M .

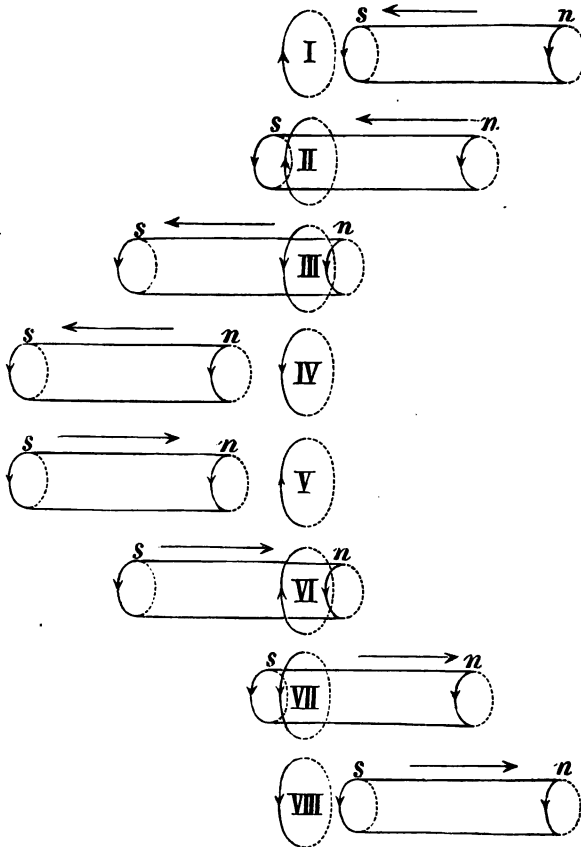


Fig. 70. Nachweis des Gesetzes nach Lenz.

2. Das Unmagnetischwerden, Schwächen des Magnetismus in M , die Bewegung von J oder J von M oder die gleichzeitige Bewegung von M von J und J von M und der Polwechsel des Magnetismus in M , erzeugen in J Induktionsströme von der Richtung der Molekularströme in M .

Dieselben Gesetze gelten ohne weiters für die Elektromagnetinduktion. Für letztere Induktion gelten schließlich auch die Gesetze der Strominduktion, da ja der Elektromagnet eben-

falls eine Stromspule besitzt, welche denselben Verhältnissen unterworfen wird, wie die Hauptspule bei der Strominduktion. Der Elektromagnetismus wird durch einen Strom erregt. Zwischen Strom- und Elektromagnetoinduktion besteht nur der Unterschied, dass sich bei der letzteren in der Stromspule ein Eisenkern befindet, welcher die Wirkung der Spule verstärkt.

67. Das Gesetz nach Lenz.¹⁾ Obige Richtungen der durch die Bewegung von Magneten gegen eine Induktionsspule (Drahtwindungen) inducierten Ströme lassen sich weiters nach dem Gesetze von Lenz, welches folgendermaßen ausgesprochen werden kann, im Vorhinein bestimmen:

Bei der Bewegung geschlossener Leiter und Magnete, Fig. 70, entstehen Induktionsströme, welche die stattfindende Bewegung hemmen. (Bei Entfernung der Leiter und Magnete Anziehung, bei Näherung Abstoßung, § 58).

In Fig. 70 zeigen die über den Magneten gezeichneten Pfeile die Bewegungsrichtung der Magnete an. Schiebt man einen Pol des Magnetes *ns* in die Windung, z. B. in der Stellung *I*, so muss zwischen ihm und dem in der Spirale inducierten Strome Abstoßung stattfinden. Diese findet (§ 58) dann statt, wenn die Ströme im Südpole *s* und in der Windung *I* die entgegengesetzte Richtung haben. Hat man den Magnet bis in die Mitte der Windung hineingeschoben, so tritt Stromumkehr ein. Dann entfernt sich der Pol von der Windung, und Pol und Windung ziehen einander an.

In den Stellungen *I* und *II* wird in die Windung ein Südpol hineingeschoben (Abstoßung).

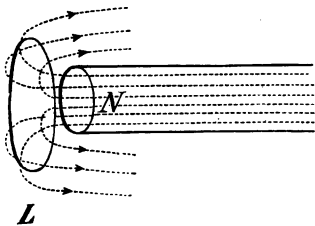


Fig. 71.
Stromdurchflossener Leiter *L* im
magnetischen Felde.

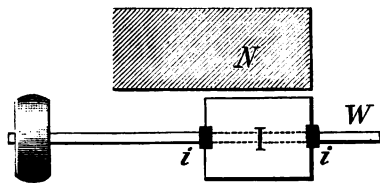


Fig. 72.
Einpolige magnetelektrische
Maschine.

In den Stellungen *III* und *IV* wird aus der Windung ein Nordpol herausgezogen (Anziehung).

In den Stellungen *V* und *VI* wird in die Windung ein Nordpol hineingeschoben (Abstoßung).

In den Stellungen *VII* und *VIII* wird aus der Windung ein Südpol herausgezogen (Anziehung).

Mit Hilfe des Lenz'schen Gesetzes kann man nachweisen, dass der Magnetismus eines Stahlmagnetes durch das Abreißen eines Ankers verstärkt wird (Silv. P. Thompson).

¹⁾ Das Lenz'sche Gesetz wird am einfachsten mittelst des Apparates von Dr. von Waltenhofen nachgewiesen. Siehe Wiedem. Ann. 19, Seite. 928, 1883; Centralblatt für Elektrotechnik 5, Seite 441, 1883; Zeitschrift für Elektrotechnik 1, Seite 314, 1883.

68. Gesetz nach Maxwell. Bringt man einen von einem Strome durchflossenen Leiter L , Fig. 71, in ein magnetisches Feld, so wird er jene Lage einzunehmen streben, bei welcher er die größtmögliche Anzahl der Kraftlinien umschließt. Der Leiter L wird sich deshalb so einstellen, wie es Fig. 50 anzeigt. In dieser Stellung umschließt er

1. die größte Anzahl der Kraftlinien und steht
2. so, dass die durch den Strom und das magnetische Feld erzeugten Kraftlinien gleichgerichtet sind.

Anwendung der Induktion durch Magnete: Magnet- und dynamoelektrische Maschinen und Motoren¹⁾, Funkeninduktor von Ruhmkorff, Transformator und Telephon.

69. Magnetelektrische Maschine. Anstatt den Magnetpol gegen die Induktionsspule zu bewegen, Fig. 69, kann man eine Induktionsspule

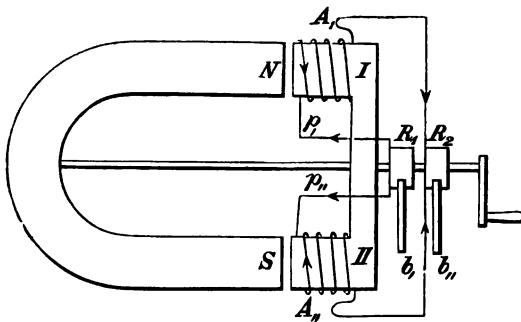


Fig. 73. Magnetelektrische Maschine mit nebeneinander geschalteten Induktor-Windungen.

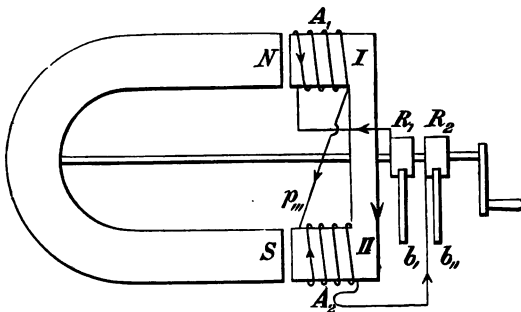


Fig. 74. Magnetelektrische Maschine mit hintereinander geschalteten Induktor-Windungen.

oder eine oder mehrere Windungen vor einem Magnetpole rotieren lassen, Fig 72.

Ist die Windung J bei i isoliert auf der Welle W befestigt und lässt man die Welle rotieren, so wird in der Windung J ein elektrischer Strom erzeugt. Diese Anordnung stellt im Wesen eine einpolige magnetelektrische Maschine dar. Die Wirkung wird verstärkt, wenn man dem Nordpole N , Fig 72, gegenüber einen Südpol S , Fig. 73 und Fig. 74, anbringt; dann übergeht die einpolige magnetelektrische Maschine in die zweipolige.

Nach Faraday (1831) sind diese Maschinen von Dal Negro,

¹⁾ Die pyromagnetischen Maschinen, welche durch die Veränderlichkeit der Leitungsfähigkeit des Eisens mit der Temperatur Induktionsströme erzeugen, sollen hier nicht ausführlicher besprochen werden.

Pixii (1832), Saxton (1833), Ettinghausen (1837), Stöhrer (1849, sechspolige Maschine) und Anderen gebaut worden. Holmes hat die erste zur Erzeugung des elektrischen Lichtes im Großen angewendete Maschine konstruiert; die sogenannte Alliance Wechselstrommaschine ist eine Abänderung der letztgenannten Maschine und wurde schon im Jahre 1864 zur Erzeugung des elektrischen Lichtes in Leuchthürmen (La Hève, Griz-Nez bei Calais, Kronstadt, Odessa u. s. w.), auf Schiffen, zu Fabriksbeleuchtungen u. s. w. verwendet.

Fig. 73 stellt die magnetelektrische Maschine von Pixii (1832), mit nebeneinander, Fig. 74 mit hintereinander geschalteten Induktor-Windungen dar. Die Maschine von Pixii besteht aus zwei mit einander durch die eiserne Armatur von I bis II verbundenen Eisenkernen dem Induktor $A, A_{,,}$, welcher mit isoliertem Drahte bewickelt ist. Durch Rotation des Induktors vor den Polen des Hufeisenmagnetes NS oder durch Rotation des letzteren vor dem Induktor $A, A_{,,}$ (Saxton 1833, Clarke 1836) werden in den Windungen A , und $A_{,,}$ elektrische Ströme induciert.

Nach dem Vorgange der magnetischen Influenz (§ 58, Fig. 49) sind die Ampère'schen Molekularströme im inducierenden und inducierten Eisen einander entgegengesetzt gerichtet. Die Stromrichtung ergibt sich deshalb aus folgender Regel:

Die in dem Induktor erzeugten Ströme haben die entgegengesetzte Richtung zu den Molekularströmen, in deren magnetischem Felde sie sich befinden.

Rotiert in Fig. 73 der Induktor, von den Ringen $R_1 R_2$ aus gesehen, im Sinne der Bewegung eines Uhrzeigers, so wird in den Windungen $A_{,,}$, während dieselben hinter der Zeichnungsebene aus dem magnetischen Felde des Nordpols N in das des Südpols S übergehen, ein Polwechsel im Induktoreisen stattfinden und da jetzt dem Südpole S gegenüber in $A_{,,}$ ein Nordpol entsteht, ein Strom in der Richtung des Pfeiles $p_{,,}$ erzeugt; gleichzeitig bewegt sich der Induktorthail A , vor der Zeichnungsebene von S nach N und der in seinen Windungen inducierte Strom hat, da sein Eisenkern süd magnetisch wird, die Richtung des Pfeiles p_1 ; bei einer weiteren halben Umdrehung des Induktors werden die in den-

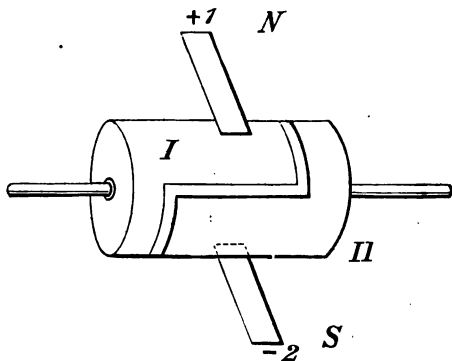


Fig. 75. Gleichstrom-Kommutator.

selben Windungen inducierten Ströme die entgegengesetzte Richtung haben (Wechselstrom).

Bei entgegengesetzten Umdrehungsrichtungen sind auch die Stromrichtungen entgegengesetzt.

Gleichgerichtete Ströme erhält man durch Anwendung eines Kommutators *I* und *II*, Fig. 75, anstatt der Ringe R_1 und R_2 , Fig. 73 und 74. Der Kommutator *I II* besteht aus den zwei von einander isolierten Theilen *I* und *II*. Bei der ersten halben Umdrehung ist die Stromrichtung z. B. durch den austretenden Strom + 1 u. den eintretenden Strom — 2 gegeben. Bei der zweiten halben Umdrehung ist die Stromrichtung die entgegengesetzte, und da jetzt die Bürsten + 1 und — 2 auf den entgegengesetzten Kommutatortheilen schleifen, erhält + 1 wieder positiven, — 2 wieder negativen Strom (Gleichstrom).

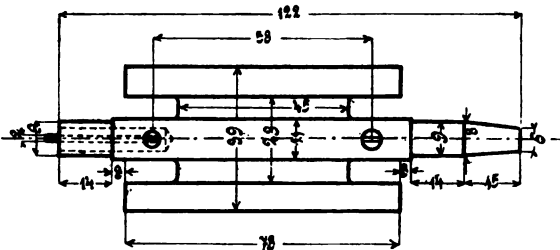


Fig. 76. Doppel-T-Anker, Längsschnitt.

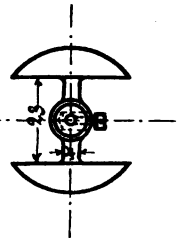


Fig. 77. Doppel-T-Anker, Querschnitt.

Aus den Fig. 73 und 74 ist es ersichtlich, dass sich der Induktor A, A_1 , nur kurze Zeit in einem magnetischen Felde (vor den Polen) befindet. Eine Verbesserung zeigten die mehrpoligen magnetischen Maschinen, bei welchen drei oder mehrere Hufeisenmagnete auf drei oder mehrere rotierende Induktoren inducierend wirkten (Stührer's Maschine, Alliancemaschine).

Der erste Induktor, welcher immer in einem magnetischen Felde rotiert, ist der Doppel-T-Anker von Werner v. Siemens (1857), Fig. 76 und 77¹⁾; derselbe besteht aus einem Eisencylinder mit zwei einander gegenüberliegenden Längsrinnen, welchen man sich aus lauter übereinander befestigten Doppel-T-förmigen Eisenblechen, Fig. 77, ent-

¹⁾ Diese Figuren stellen eine Konstruktion der Firma Czeija, Nissl & Co. in Wien vor. Die Maße sind in mm gegeben. Der Kupferdrahtdurchmesser der Wicklung beträgt 0.1 mm, der Gesamtwiderstand rund 1000 Ω . Der Induktor liefert den zum Anrufe in Telephonstationen erforderlichen Strom (etwa 4 Volt). Das magnetische Feld besteht aus 3 Hufeisen-Stahlmagneten.

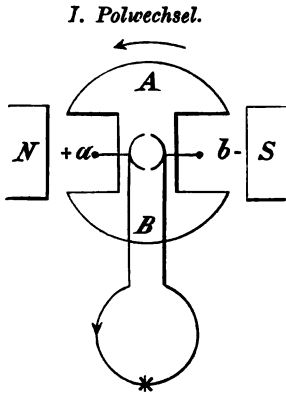


Fig. 78.

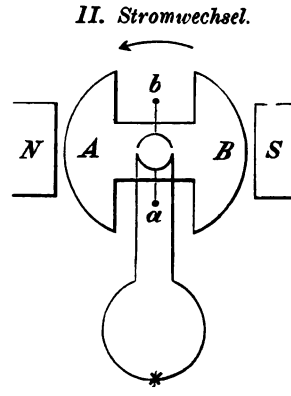


Fig. 79.

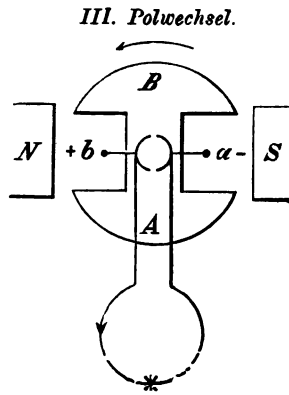


Fig. 80.

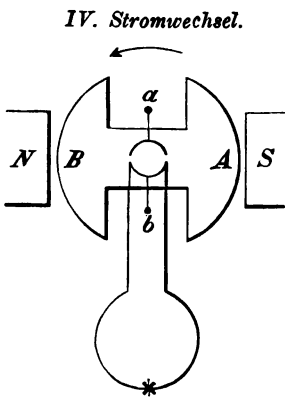


Fig. 81.

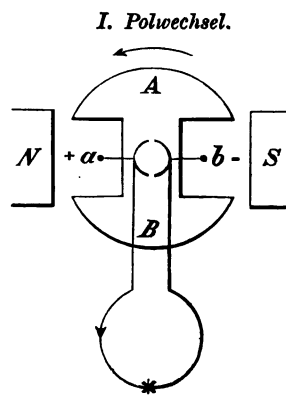


Fig. 82.

Fig. 78 bis 82. Bewegungsphasen des Induktors einer magnetoelektrischen Maschine.

standen denken kann. Der Doppel-T-Anker wird auch Cylinderinduktor genannt.

In den folgenden Fig. 78 bis 82 sind die den verschiedenen Viertelumdrehungen dieses Induktors entsprechenden Stellungen desselben sammt Stromrichtungs-, Strom- und Polwechselanzeige zum Ausdrucke gebracht.

+ bedeutet einen austretenden Strom,
 — „ „ eintretenden Strom, die Punkte *a* und *b* deuten die Ankerwindungen an, die Pfeile machen die Umdrehungsrichtungen ersichtlich.

Wenn die Windungen senkrecht übereinander liegen, findet Stromwechsel, wenn dieselben horizontal nebeneinander liegen, Polwechsel statt.

Die Bürsten schleifen

1. auf zwei Ringen, wie in Fig. 73 und 74 (Wechselstrom), oder
2. auf einem Kommutator, Fig. 75 (Gleichstrom).

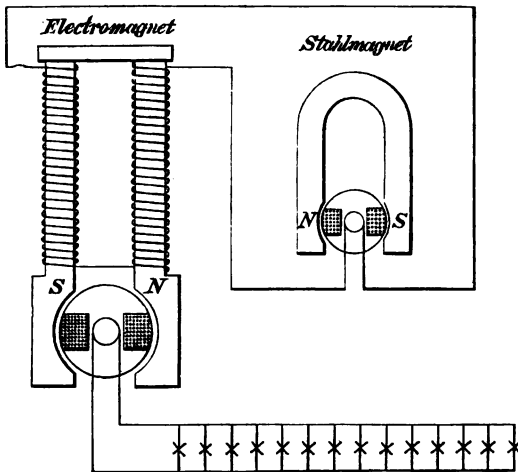


Fig. 83. Elektrische Maschine mit gesondert erregten Magneten.

Der Doppel-T-Anker nimmt in der Geschichte der Lichtmaschinen eine hervorragende Stellung ein. Derselbe stellte nicht nur die beste Ankerform der magnetelektrischen Maschinen mit Dauermagneten dar, sondern fand auch bei der ersten elektrischen Maschine mit separater Erregung (Wilde) und bei der ersten dynamoelektrischen Maschine (Werner von Siemens) als Induktor Anwendung.

Die Maschinen mit Dauermagneten muss man von Zeit zu Zeit zerlegen, um die Magnete nachzumagnetisieren; schon von Hjorth (1854), Sinsteden (1861) und Anderen wurde zu diesem Zwecke eine dynamoelektrische Selbsterregung angewendet, indem die Dauermagnete (Stahlmagnete, Hufeisenmagnete, permanente Magnete) mit isolierten Windungen umgeben und in den Stromkreis der Maschine eingeschaltet wurden.

Der Doppel-T-Anker gibt nur zeitweise (periodische) Ströme, weil die Windungen nicht auf der ganzen Oberfläche des Ringes angebracht sind; ununterbrochene (continuirliche) Ströme liefern die später zu beschreibenden Ring-, Trommel- und anderen Anker.

70. Elektrische Maschinen mit gesondert (separat) erregten Magneten (Wilde 1863), Fig. 83. Die Hauptbestandtheile dieser Maschine sind:

1. Eine Induktionsmaschine mit Elektromagneten, welche den Außenstrom erzeugt.

2. Eine Induktionsmaschine mit Stahlmagneten oder eine Stromquelle (z. B. Batterie), welche zur Erregung der Elektromagnete der ersten Induktionsmaschine in die Magnetwindungen derselben eingeschaltet ist. In der Maschine von Wilde waren beide Induktoren Siemens'sche Doppel-T-Anker.

71. Dynamoelektrischer Grundsatz.

Die magnetelektrischen Maschinen zeigen insbesondere zwei Übelstände:

1. Die Kosten der Erzeugung stellen sich sehr hoch. Eine Maschine für halbwegs große Leistungen hat im Verhältnis zu ihrer Nutzarbeit sehr große Abmessungen.

2. Die Magnete müssen von Zeit zu Zeit nachmagnetisiert werden.

Dem zweiten Übelstande wurde theilweise dadurch abgeholfen, dass man die Stahlmagnete mit Wickelungen versah, die das Nachmagnetisieren erleichterten. Während man früher die Maschinen zerlegen musste, um die Stahlmagnete wieder auf die Höhe ihrer Leistung zu bringen, konnte jetzt durch die Wickelungen Strom geschickt und so einfacher die Nachmagnetisierung besorgt werden.

Die elektrische Maschine mit fremd erregten Magneten von Wilde, Fig. 83, ermöglichte wohl die Erzeugung der Elektrizität in jeder gewünschten Stärke, besaß jedoch immer noch den Nachtheil, einer fremden Stromquelle zur Erregung des wirksamen Magnetismus zu bedürfen.

Dieses Hindernis, welches sich der Verwendung der Elektrizität für die Zwecke des praktischen Lebens entgegenstellte, beseitigte im Jahre 1867 Werner von Siemens durch die hervorragendste Erfindung auf dem Gebiete der Stärkstromelektrotechnik, durch die Erfindung der Selbsterregung der elektrischen Maschinen. Werner von Siemens wies nach, dass ein einmaliges Magnetisieren der Eisenkerne von Elektromagneten genügt, um die elektrische Maschine ohne fremde Stromquelle in Thätigkeit zu setzen, nannte diese Selbsterregung den dynamoelektrischen Grundsatz und die nach diesem Grund-

sätze zuerst von ihm gebauten Maschinen „Dynamoelektrische Maschinen und Motoren“.

72. Gleichstrom-Dynamomaschine.

Die dynamoelektrischen Maschinen, auch kurz Dynamo-(Kraft-) Maschinen genannt, erzeugen elektrische Ströme durch mechanische Kraft.

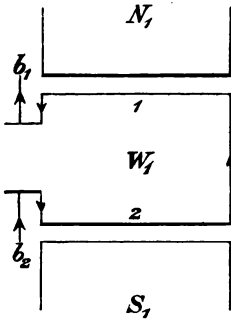


Fig. 84.

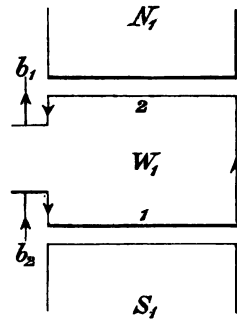


Fig. 85.

Gleichstrom.

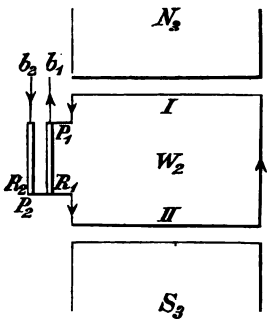


Fig. 86.

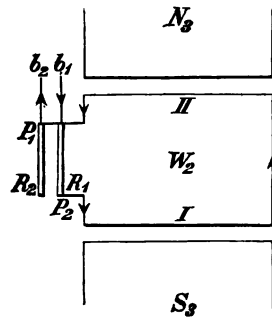


Fig. 87.

Wechselstrom.

Durch die Rotation der geschlossenen Windung, Fig. 84, zwischen den Elektromagnetpolen entsteht, da jedes weiche Eisen natürlichen Magnetismus¹⁾ besitzt, in der Windung ein elektrischer Strom von ganz geringer Stärke. Dieser Strom (Serienmaschine) oder ein Theil desselben (Nebenschlussmaschine) wird durch die Windungen des Elektro-

¹⁾ Falls der natürliche Magnetismus des Eisens unzulänglich ist, genügt ein einmaliges Magnetisieren desselben von einer fremden Stromquelle aus. War die Dynamo bereits im Betrieb, dann besitzt sie zurückbleibenden Magnetismus und dieser genügt zur Erregung.

magnetes geschickt und verstärkt den Magnetismus desselben; durch den kräftigeren Elektromagnet wird in der Windung wieder ein stärkerer Strom induciert u. s. w. Schon nach einigen Sekunden erreicht der Strom in der Windung (beziehungsweise in den Windungen) seine volle Stärke.

In den Figuren 84 bis 92 bezeichnen die Buchstaben N Nordpole, die Buchstaben S Südpole, die Pfeile U die Richtungen der Umdrehungen der Induktoren, die stark markierten Punkte feste Verbindungen, die übrigen Pfeile Richtungen der inducierten Ströme.

Die Erzeugung des Stromes in einer dynamoelektrischen Maschine erfolgt dadurch, dass geschlossene Leiter, z. B. die Windungen $W_1 W_1$, Fig. 84 und Fig. 85, in einem magnetischen Felde (in der Nähe eines Eisenkörpers), $N_1 S_1$ rotieren (Faraday 1831). Dabei müssen sich die Windungen so bewegen, dass sie von den Kraftlinien des Feldes geschnitten werden. Jedes Eisen besitzt von Natur aus einen bestimmten minimalen Magnetismus. Stellen z. B. N_1 und S_1 , Fig. 84, N_1 und S_1 , Fig. 85, N_3 und S_3 , Fig. 86, und N_3 und S_3 , Fig. 87, die Pole eines Eisenkörpers dar und es rotieren die Windungen $W_1 W_1$, Fig. 84 und 85, $W_3 W_3$, Fig. 86 und 87, zwischen denselben, so wird in ihnen ein Strom induciert, dessen Richtung sich in sehr einfacher Weise nach dem Gesetze von Lenz, nach den praktischen Regeln von Ampère, Faraday, J. A. Fleming,¹⁾ A. von Waltenhofen²⁾ und nach einer von mir³⁾ angegebenen Regel bestimmen lässt. Die letzte Regel lautet:

„Bei Linkslauf einer elektrischen Maschine haben Kraftlinien und Strom an den Stirnflächen des Induktors dieselbe (bei Rechtslauf die entgegengesetzte) Richtung.“

Auf den Enden der Windungen $W_1 W_1$, Fig. 84 und 85, den Kollektorlamellen, schleifen die Bürsten b_1 und b_2 , Fig. 84 und b_1 und b_2 , Fig. 85. Die in den Figuren 84—87 eingezeichneten Stromrichtungspfeile zeigen die Stromrichtungen an den Stirnflächen der Windungen und an den Bürsten der obigen Regel entsprechend an, vorausgesetzt den Linkslauf der Windungen (der Induktoren), von den Bürsten aus gesehen.

Hat z. B. die Windung W_1 , Fig. 84, von den Bürsten b_1 und b_2 aus gesehen, Linkslauf, so bewegt sich der Theil 1 derselben aus der

¹⁾ Dr. J. A. Fleming, The Electrician, 14. Band, Seite 396.

²⁾ Dr. A. von Waltenhofen, Zeitschrift für Elektrotechnik, 1887, Seite 263 ff.

³⁾ Kratzert, Elektrotechnische Rundschau, Frankfurt a./M., Jahrg. 1893, Heft 16; Elektrotechniker, Wien XII. Jahrg., Seite 569; Zeitschrift für Elektrotechnik, Wien 1893, Seite 242; Bulletin de la Société internationale des électriciens, Tome X. Juin 1893, Seite 308; Elektrotechnischer Anzeiger, Berlin 1893, Nr. 74.

Zeichnungsebene hinter dieselbe. Das magnetische Feld ist immer vom Nordpole zum Südpole gerichtet (die Kraftlinien fließen immer außerhalb des Magneten von Nord nach Süd), und da die Windung Linkslauf hat, muss der Strom an der vorderen Stirnfläche ebenfalls von dem Nordpole nach dem Südpole (in derselben Richtung) fließen.

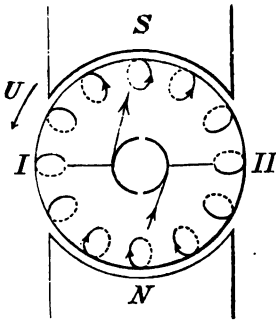


Fig. 88.

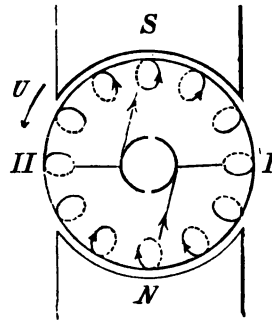


Fig. 89.

Gleichstrom.

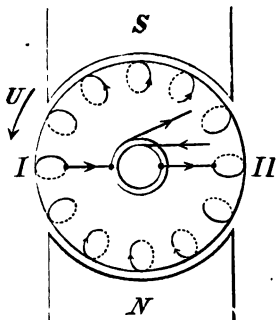


Fig. 90.

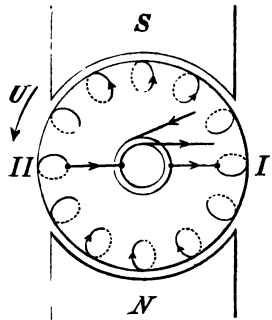


Fig. 91.

Wechselstrom.

Sieht man den Induktor von der den Bürsten entgegengesetzten Seite an, so hat die Maschine Rechtslauf, und in Übereinstimmung damit fließt der Strom an der rückwärtigen Stirnfläche von Süd nach Nord, also in der entgegengesetzten Richtung wie die Kraftlinien.

In Fig. 84 tritt der Strom an der Bürste b_1 aus, an der Bürste b_2 ein. Denken wir uns nun die Windung W_1 , Fig. 84, um 180° gedreht, so dass sich der Theil 1 der Windung W_1 vor S_1 und der Theil 2 derselben Windung vor N_1 , sowie es in Fig. 85 dargestellt ist, befindet, so wird der an den Bürsten b_1 und b_2 abgenommene Strom wieder dieselbe Richtung haben wie vor der Drehung, Fig. 84. In den Theilen 1 und 2 der Windung W_1 , Fig. 85, wird jetzt der ent-

gegengesetzt gerichtete Strom erzeugt, da jedoch die Bürsten mit den Enden der Windung W_1 nicht fest verbunden sind und jetzt b_1 auf 2 schleift, hat der Strom in der Bürste b_1 die frühere Richtung.

Dreht man die Windung W_1 aus der in Fig. 85 gegebenen Stellung um 180° weiter, dann gilt wieder das für Fig. 84 Gesagte und das Spiel der Stromerzeugung und Abnahme wiederholt sich in der oben beschriebenen Weise.

Die Stromrichtung an den Bürsten bleibt immer dieselbe, jede Bürste erhält immer von demselben Pole Strom, Gleichstrom.

73. Wechselstrom-Dynamo.

In den Fig. 86 und 87 stellen R_1 und R_2 Schleifringe dar, welche mit den Theilen I und II der Windung W_1 , W_2 in den Punkten P_1 und P_2 fest verbunden sind. Befindet sich Fig. 86, der Theil I der Windung W_2 vor N_3 , dann fließt der Strom an der Bürste b_1 in der eingezeichneten Richtung; derselbe Theil steht nach einer halben Umdrehung vor S_3 , und es erhält der Strom an der Bürste b_2 , Fig. 87, die entgegengesetzte Richtung. Ebenso wechselt die Stromrichtung an der Bürste b_1 . Der durch Schleifringe abgenommene Strom wechselt also nach jeder halben Umdrehung der Windung (des Induktors) seine Richtung, die Schleifringe und Bürsten empfangen nach jeder halben Umdrehung Strom von den entgegengesetzten Polen, Wechselstrom (alternierender, undulatorischer, periodischer, pendulärer, harmonischer oder Wellenstrom).

In den Fig. 88 und 89 ist, sowie in den Fig. 84 und 85, die Abnahme von Gleichstrom, in den Fig. 90 und 91, sowie in den Fig. 86 und 87, die Abnahme von Wechselstrom versinnlicht. Die Figuren 84 und 85 und die Fig. 88 und 89 stellen jedoch zwei aufeinander senkrechte Schnitte des Induktors dar. In den Fig. 84 bis 87 ist der Induktor als Trommel, in den Fig. 88 bis 91 als Ring gedacht.

Nimmt man anstatt von zwei, von mehreren Punkten, z. B. drei Punkten, durch drei Schleifringe Strom ab, so erhält man drei Wechselströme. Da diese drei Ströme an drei verschiedenen Stellen des magnetischen Feldes abgenommen werden, so müssen sie zu gleicher Zeit verschiedene Stärke, verschiedene Phase haben; man nennt sie deshalb Ströme von verschiedener Phase oder Mehrphasenströme.

Die drei concentrischen Kreise der Fig. 92 bedeuten 3 Schleifringe, welche durch die Anschlüsse 1, 2 u. 3 mit drei in der Zeichnung um

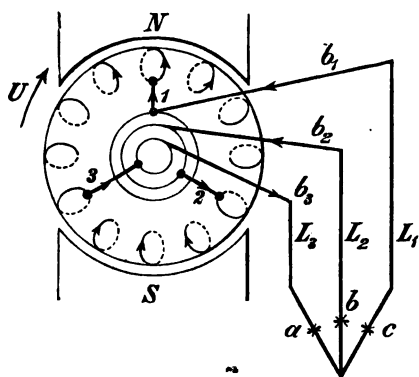


Fig. 92. Drehstrom.

120° von einander abstehenden Punkten der Ankerwicklung verbunden sind. Auf den 3 Schleifringen schleifen die Bürsten b_1 , b_2 u. b_3 . Die 3 Hauptleitungen des Systemes sind mit den Buchstaben L_1 , L_2 u. L_3 bezeichnet.

Nimmt man bei einer Wechselstrommaschine anstatt von 2, von mehreren Punkten der Induktorwindungen, z. B. von 3 Punkten, durch 3 Schleifringe Strom ab, so wie es Fig. 92 veranschaulicht, so erhält man 3 Wechselströme u. zw.:

1. einen Wechselstrom zwischen den Bürsten b_1 u. b_2 ,
2. " " " " " b_2 u. b_3 ,
3. " " " " " b_1 u. b_3 .

Da diese drei Ströme an drei verschiedenen Stellen der Ankerwindungen abgenommen werden, so müssen sie zu gleicher Zeit verschiedene Stärke (verschiedene Phase) haben; man nennt sie deshalb Ströme von verschiedener Phase oder Mehrphasenströme. Für drei Wechselströme verschiedener Phase kann man drei vollständige getrennte Leitungen — Sechs-Leiter — oder der Fig. 92 entsprechend, sogenannte verkettete Leitungen — Drei-Leiter — verwenden. Wendet man sechs Leitungen an, dann führen von jeder Bürste zwei Leitungen zu den Lampen, und die Lampen sind zwischen je zwei aufeinanderfolgende Bürsten eingeschaltet.

Die Magnete der ein- und mehrphasigen Wechselstrommaschinen werden in der Regel durch Gleichstrommaschinen erregt (magnetisiert). Seltener wird bei Wechselstrommaschinen der Strom eines Theiles der Ankerwindungen als Gleichstrom abgenommen und zur Erregung der Magnete verwendet. Die Gleichstrommaschinen erregen sich dadurch selbst, dass ein Theil (Nebenschlussmaschine) oder der ganze Ankerstrom (Reihenmaschine) die Magnetwickelungen durchfließt, oder dadurch, dass der Elektromagnet eine Nebenschluss- und eine Reihenwicklung (Maschine mit gemischter Schaltung) erhält.

74. Elektromotoren.

Bewegt man einen geschlossenen Leiter innerhalb eines magnetischen Feldes, so dass er die Kraftlinien desselben schneidet, dann entstehen in demselben elektromotorische Kräfte, welche eine Elektricitätsbewegung

herbeiführen. Die Magnete magnetisieren den Anker so, dass vor dem Nordpole des Magnetes ein Südpol und vor dem Südpole des Magnetes ein Nordpol im Ankereisen entsteht. Diese Pole des Ankers liegen (abgesehen von einer später zu beschreibenden Verschiebung, welche durch die Rückwirkung des Magnetismus des Ankers auf den der Magnete hervorgerufen wird) in der magnetischen Achse (Verbindungslinie der Pole) der Elektromagnete. Der im Anker inducierte Strom erzeugt magnetische Pole im Ankereisen, welche auf den durch die Magnete erzeugten senkrecht stehen.

Schickt man in den Anker Strom (§ 59, Fig. 60), so wird derselbe den Anker ebenfalls magnetisieren und zwar derart, dass dort, wo der Strom in die parallel geschalteten Ankerwindungen eintritt, ein Süd-Süd- und diametral gegenüberliegend ein Nord-Nordpol entstehen. Sind die Elektromagnete gleichfalls vom Strome umflossen, so muss zwischen den Anker- und Magnetpolen eine Wechselwirkung eintreten. Der Anker-Südpol wird vom Magnet-Nordpole angezogen, vom Magnet-Südpole abgestoßen, der Anker-Nordpol dagegen wird vom Magnet-Nordpole abgestoßen und vom Magnet-Südpole angezogen. Weil sich diese gegenseitigen Wechselwirkungen summieren, muss eine Bewegung des Ankers eintreten, welche eine mechanische Leistung erzeugt.

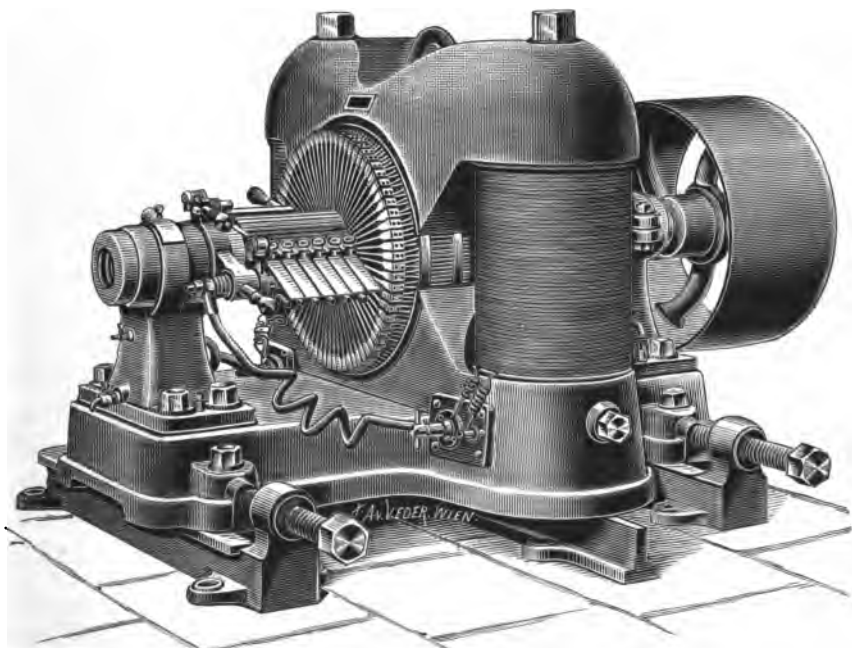


Fig. 93. Dynamo der Oesterr. Schuckert-Werke.

Treibt man demnach eine Dynamomaschine an, so gibt dieselbe Strom (Dynamomaschine), schickt man in eine Dynamo Strom, so läuft dieselbe an und erzeugt Kraft (Elektromotor).

Fig. 93 stellt eine Dynamo der Oesterr. Schuckert-Werke dar. Treibt man die Dynamo an, so wird in dem inneren rotierenden Theile (Anker) Strom erzeugt, den man an den Bürsten abnehmen kann. Im Bilde sind 6 nebeneinander befindliche Bürsten ersichtlich, welche auf dem Stromabnehmer aufliegen. Gegenüber diesen 6 Bürsten (z. B. + Pol) liegen (in der Fig. nicht ersichtlich) ebenfalls 6 Bürsten (z. B. — Pol). Je 6 Bürsten bilden einen Pol der Dynamo, von welchen aus der Strom in die Leitungen geschickt wird.

75. Funkeninduktor nach Ruhmkorff. Der in Fig. 68 dargestellte Induktionsapparat mit dem selbstthätigen Stromunterbrecher (Neef'schen Hammer) stellt, wenn die Hauptspule H mit einem Eisenkern versehen ist, den sogenannten Funkeninduktor nach Ruhmkorff (1851) ohne Kondensator dar. Die Wickelung der Hauptspule besteht aus wenig Windungen eines dicken Drahtes, die der Induktionsspule aus vielen Windungen eines dünnen Drahtes.

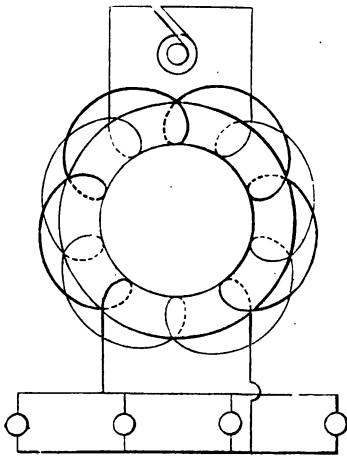


Fig. 94. Schema einer Beleuchtungsanlage (Wechselstrommaschine) Transformator und Lampen.

Anwendung: Erzeugung von Lichterscheinungen, Minen- und Torpedozündung, Elektrisieren des menschlichen Körpers (Elektromedizin) u. s. w.

76. Transformator. Eine Umkehrung des Grundsatzes des Funkeninduktors stellt der Transformator dar; der Eisenkern desselben ist in der Regel kreisförmig geschlossen, Fig. 94.

Im Gegensatz zum Funkeninduktor besteht hier die Hauptspule aus vielen Windungen eines dünnen Drahtes und die Induktionsspule aus wenig Windungen eines dicken Drahtes. Der Transformator mit kreisförmig geschlossenem Eisenkerne geht aus dem Funkeninduktor dadurch hervor, dass man dessen Eisenkern kreisförmig schließt.

Anwendung des Transformators in der Elektrotechnik: Beleuchtung und Kraftübertragung mittelst Wechselstrom.

77. Das Telephon, Fig. 95, besteht aus einem Stahlmagnete $N_1 S_1$ auf der Station I , welcher mit einer Spule umgeben ist. Vor dem Mag-

nete befindet sich ein weiches, dünnes Eisenblech E_1 . — Durch magnetische Influenz¹⁾ wird in dem Eisenbleche E_1 Magnetismus erzeugt. Spricht man nun gegen das Eisenblech E_1 auf der Station *I*, so wird dasselbe bewegt und in der Spirale über $N_1 S_1$ ein Strom induciert, welcher durch den Verbindungsdraht nach der Station *II* fließt, so zwar,

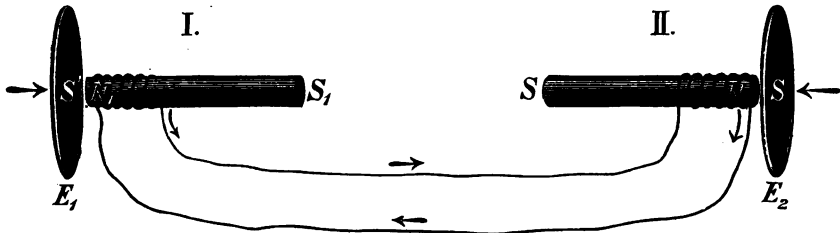


Fig. 95. Zwei miteinander verbundene Telephonstationen.

dass er den Pol N_2 verstärkt. Dadurch wird das Eisenblech E_2 auf der Station *II* angezogen. Das Telephon überträgt demnach die Bewegungen des Eisenbleches von einer Station auf eine zweite. Die Schwingungen des Eisenbleches E_2 theilen sich der Luft mit, und so hört man das auf der Station *I* Gesprochene.

Das Mikrophon (Hughes, 1878) ist ein loser Kohlenkontakt, bestehend aus einem Kohlenstäbchen, welches durch zwei Kohlenstücke getragen wird. In den Stromkreis einer Batterie schaltet man auf einer Station ein Mikrophon (Sprechapparat, Transmitter), auf einer zweiten Station ein Telephon (Hörapparat). Spricht man gegen das Kohlenstäbchen, so wird der Kontakt zwischen diesem und den Kohlenstücken und damit der Widerstand und die Stromstärke geändert, so dass man im Telephon das Gesprochene hört. Zur Verstärkung der Wirkung schaltet man Batterie und Mikrophon in primäre Windungen eines Elektromagnetes, dessen Eisenkern aus einem Drahtbündel besteht; in den sekundären Windungen arbeitet das Hörtelephon (Blake, Berliner).

Der Phonograph nach Edison (1877), das Graphophon nach Tainter und das Grammophon nach E. Berliner bestehen

¹⁾ 2. Erklärung: Jedes weiche Eisen besitzt auch von Natur aus Magnetismus (§ 55 und 72); bewegt man dasselbe vor einer Spirale, so werden in derselben Ströme induciert.

3. Erklärung: Bewegt man das Eisenblech in dem magnetischen Felde, so erleidet das letztere Änderungen und es entsteht in den Windungen ein Induktionsstrom (§ 66).

Diese 3 Erklärungen enthalten 3 Ursachen der Elektricitätsregung (magnetische Influenz, natürlicher Magnetismus, Änderungen des Magnetismus), die sich wohl gegenseitig verstärken und die große Empfindlichkeit des Telephons bedingen.

aus einem Telephon, dessen Eisenblech mit einer Schreibvorrichtung in Verbindung steht. Ein Schreibstift schreibt auf einer Walze (Edison und Tainter) oder auf einer Scheibe (Berliner), deren Oberflächen mit einer eigenen Masse vorbereitet sind. Die Walze rotiert und bewegt sich in der Längsrichtung, so dass der Stift eine Schraubenlinie aufzeichnet. Man kann nun zu jeder beliebigen Zeit das Gespräch wiedergeben, indem man die Walze in Thätigkeit setzt. Der Stift durchläuft die eingezeichnete Kurve und bewegt das Eisenblech in derselben Weise, wie es vorher durch den Sprecher bewegt wurde.

Das Photophon (Bell und Tainter, 1880). Die Erfinder benützen die Eigenschaft des krystallinischen Sels, durch Belichtung ein besserer Leiter zu werden. Auf der ersten Station befindet sich ein dünner Spiegel (versilberte Silberplatte), welcher durch eine kräftige Lichtquelle beleuchtet wird und einen Strahl dieses Lichtes in die Ferne reflektiert. Spricht man gegen die Rückseite des Spiegels, so fängt er an zu schwingen. In der zweiten Station fällt der Lichtstrahl auf eine Selenzelle (krystallinisches Selen zwischen dünnen Messingdrähten), nachdem er zuvor durch eine Linse konzentriert wurde. In dem Stromkreis der Zelle befindet sich eine Batterie und ein Telephon, welches die unterbrochenen Folgen von Widerstandsveränderungen anzeigt und so die Sprache in der Ferne wiedergibt.

Elektrisches Teleskop (Fernseher)¹⁾ nennt man einen Apparat, welcher dazu dient, Ton- und Lichtschwingungen in die Ferne zu übertragen. Mittelst eines solchen Apparates sieht man bis heute sehr unvollkommen die Person, mit welcher man durch ein Telephon spricht. Eine neue Konstruktion dieser Art ist der Fernseher nach Johann Szczepanik²⁾; letzterer benützt Spiegel und die obige Eigenschaft des Sels.

78. Induktion der körperlichen Leiter. Ebenso wie in geschlossenen Leitern entstehen in ausgedehnten Metallmassen, Scheiben oder Kugeln durch Induktion von in der Nähe befindlichen Strömen oder Magneten Induktionsströme.

79. Induktion höherer Ordnung. Die Induktionsströme wirken selbst wieder inducierend auf geschlossene Leiter. J. Henry nennt einen durch den Haupt- oder primären Strom inducierten Strom einen Strom zweiter Ordnung; die durch letztere erregten Ströme, Ströme dritter Ordnung. Auch Ströme vierter und fünfter Ordnung wurden noch durch ihre physiologischen Wirkungen nachgewiesen.

¹⁾ Elektrotechn. Zeitschrift, 1885, P. Nipkow: „Über den Telephotograph und das elektrische Teleskop“.

²⁾ Technische Rundschau, 1898, S. 121.

c. Elektrische Schwingungen.

80. Telegraphie und Beleuchtung ohne Draht.

Die Luft setzt dem elektrischen Funken einen sehr großen Widerstand entgegen. Der Strom muss den Widerstand in einem elastischen Äther überwinden. Ein Funke dauert nur einen Bruchtheil einer Sekunde, während dieser Zeit finden sehr viele (bis Millionen) elastische Verschiebungen des Äthers statt. Feddersen fand, dass sich der elektrische Funke periodisch verändert, d. h.: die Entladung findet nicht ununterbrochen statt, sondern sie hört auf und beginnt wieder von Neuem. Man nennt solche rasch wechselnde elektrische Bewegungen elektrische Schwingungen oder Oscillationen. Die Zahl der Schwingungen und die Dauer einer Schwingung kann man in einem Drehspiegel beobachten. Stellt man diesen Spiegel dem Funken gegenüber auf, so erscheint der Funke als ein Lichtband im Spiegel. Dieses Bild zeigt abwechselnd dunkle und helle Stellen, d. h.: es setzt die Entladung periodisch aus und ein. Eine dunkle und eine helle Stelle zusammen stellen eine Schwingung (Oscillation) dar. Man erhält die raschesten Schwingungen zwischen kleinen Körpern (zwischen geringen Äthermengen), ähnlich sowie eine Pfeife um so höhere Schwingungen (höhere Töne) gibt, je kürzer sie ist. Heinrich Hertz in Bonn hat von diesen raschen Schwingungen eine Reihe von Anwendungen gemacht, welche das Wesen der Elektrizität zu erschließen suchen. Seine Versuche ergaben als Geschwindigkeit der Elektrizität sowie des Lichtes 300.000 km in 1 Sek. Von dem Leiter gehen elektrische Bewegungen aus, welche in dem Äther der Luft fortschreitende Wellenbewegungen erzeugen, gerade so wie z. B.: Licht- oder Wasser-Wellen. Die Wellenlängen der Ätherwellen betragen als Lichtwellen 4 bis 7,5 Zehntausendstel eines mm, als Wärmewellen 8 bis 9 Tausendstel eines mm. Hertz hat weiters nachgewiesen, dass man mit den elektrischen Wellen dieselben Versuche durchführen kann, wie mit Lichtwellen. Derselbe bediente sich bei seinen Versuchen auch eines sogenannten Kohärer (Branly, Righi). In einer Glasröhre von etwa 4 cm Länge befinden sich Metallspäne (z. B.: Eisenfeilspäne u. s. w.) und 2 Metallelektroden. Dieser Apparat hat einen sehr hohen Widerstand, welcher jedoch beim Überspringen eines nahen Funkens auf etwa 5 Ohm herabsinkt. Schaltet man in den Kohärer ein Element und ein Galvanometer ein, so ist der Widerstand so hoch, dass die Nadel keinen Ausschlag gibt; die Nadel wird jedoch abgelenkt, wenn man in der Nähe des Apparates einen Funken überspringen lässt. Eine kleine Erschütterung genügt, um dem Widerstande wieder seinen hohen Wert zu geben. Mit Hilfe des Kohärrers hat Hertz die folgenden Versuche durchgeführt:

1. Nachweis der Ausbreitung der elektrischen Wellen von dem Funken aus.
2. Die elektrischen Wellen gehen durch Isolatoren (Glas, Holz, Hartgummi u. s. w.) hindurch, Metalle jedoch sind undurchstrahlbar.
3. Elektrische Wellen werden mittelst Metallplatten reflektiert und gebrochen.
4. Sammlung elektrischer Wellen durch Hohlspiegel.

Auf den Hertz'schen Wellen beruht die Telegraphie ohne Draht (Funkentelegraphie) nach Guglielmo Marconi. Der Geber besteht aus einer Funkenstrecke, der Empfänger ist ein Kohärer. Gibt man einen Funken, so wird der Widerstand im Stromkreise des Kohärrers derart vermindert, dass ein eingeschaltetes Relais einen Localstromkreis schließt, in welchem ein Morse-Schreibapparat eingeschaltet ist. Um den Kohärer wieder auf seinen früheren hohen Widerstand zu bringen, trägt der Anker des Morse-Apparates einen Klöppel, der bei der Bewegung des Ankers schwach gegen den Kohärer anschlägt. Josef Tuma hat den Kohärer zu diesem Zwecke auf den Hebel des Schreibapparates montiert.

Bisher gelang die Zeichengebung bis auf 26 km. Die umfassendsten Versuche haben Marconi und A. Slaby ausgeführt.

Nikola Tesla verwendet bei seinen Versuchen über die Beleuchtung ohne Draht starke, elektrische Wellen von großer Wellenlänge. Große Leydnerflaschen dienen zur Erzeugung derselben. Die Anzahl der Schwingungen beträgt rund mehrere Hunderttausende. Durch einen Transformator bringt Tesla diese Ströme auf sehr hohe Spannung und eine sehr große Schwingungszahl (Frequenz). Sowie Marconi ohne Draht telegraphiert, hat Tesla vor ihm ohne Draht beleuchtet. Tesla schaltet zu letzterem Zwecke in die sekundären Wickelungen seines Transformators zwei große Kupferbleche (Elektroden) ein, die er an zwei gegenüberstehenden Mauern anbringt. Dadurch werden in dem Raume zwischen den Elektroden elektrische Wellen hervorgerufen, welche Geissler'sche Röhren zum Leuchten bringen. Während sonst Wechselströme von geringer Schwingungszahl schon bei etwa 300 Volt lebensgefährlich sind, kann man sich nach Tesla ohne Gefahr zwischen die Pole seines Transformators einschalten. Wahrscheinlich sind diese Ströme deshalb nicht wirksam, weil sie sehr rasch aufeinander in wechselnder Richtung auftreten.

V. Kapitel.

Weitere Elektrizitätsquellen.

81. Die Thermoelektricität (Seebeck, 1822) wird durch Erwärmung der Löthstellen zweier zu einer geschlossenen Figur, Fig. 96, vereinigten Metalle erzeugt.

Eine Verbindung von Thermoelementen nennt man Thermosäule. Kräftige Thermosäulen stammen von Clamond, Noë¹⁾ und R. Gülicher, Fig. 97.

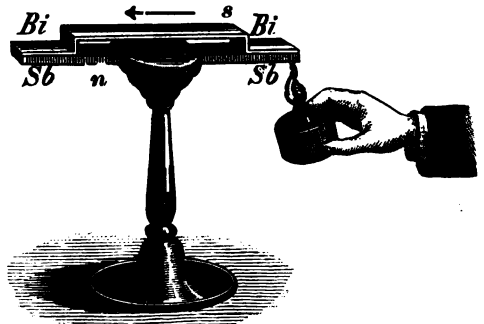


Fig. 96. Thermoelement.

Die + Elektroden der letzteren Säule bestehen aus chemisch reinen, in zwei Reihen auf einer Schiefertafel montierten Nickelröhrchen; durch dieselben wird das Gas aus einem unterhalb der Tafel befindlichen Kanal eingeleitet.

Die — Elektroden bestehen aus einer Antimonlegierung. An die letzteren Elektroden sind lange Kupferstreifen angelöthet, die zur Abkühlung und Verbindung der Elemente dienen. Im Bilde sind oben Löcher sichtbar, in welche Schornsteine aus Asbest mittelst Glimmerröhrchen aufgesteckt werden. Aus dem Schornsteine tritt das Gas aus und wird dort angezündet.

Die größte Konstruktion dieser Säulen besteht aus 66 Elementen, gibt bei mittlerem Gasdruck eine elektromotorische Kraft von 4 Volt, hat einen inneren Widerstand von 0,65 Ohm und verbraucht etwa 170 Liter Gas in der Stunde.

¹⁾ Dr. A. von Waltenhofen, Dingler's polytechn. Journal, 1871, Bd. 200, Seite 10 ff., 1872, Bd. 205, Seite 33 ff., 1877, Bd. 224, Seite 267 ff.

Wilhelm Peukert, Zeitschrift für Elektrotechnik, 1884.

Gérard (Peukert und Kareis), 1889, Seite 103.

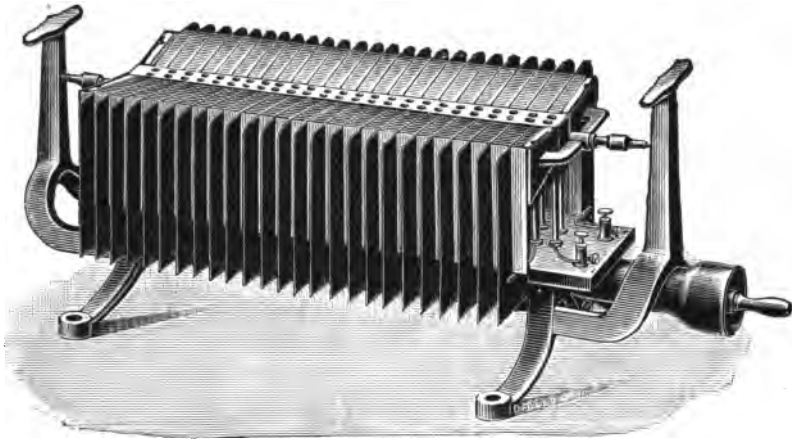


Fig. 97. Thermoskule nach Gölcher.

82. Thierische Elektrizität. Der Lebens-Vorgang der Thiere bedingt Elektrizitätserregung.

Die umfangreichsten Forschungen über diesen Gegenstand verdanken wir Du Bois Reymond (1848—1860). Der Reihenfolge nach wurden bekannt; Die elektrischen Schläge des Zitterrochen, der Zitterwelse (1751) und Zitteraale (1762), der Froschstrom (Galvani, 1794). Alexander von Humboldt schildert uns in seinen unsterblichen Werken die selbst gegen Pferde wirksamen Schläge der Zitteraale in den Kämpfen der Zitteraale und Pferde in den brasilianischen Seen.

Angewandte Elektricitätslehre oder Elektrotechnik.

I. Abschnitt.

Elektrische Maße.

83. Einleitung. Die neuen elektrischen Maße heißen:

1. Einheiten der British Association (1881) und des Pariser Kongresses (1884), weil sie von diesen Korporationen zuerst eingeführt wurden,

2. internationale Maße, weil dieselben durch internationales Übereinkommen in die Wissenschaft aufgenommen wurden,

3. absolute Maße (Friedrich Gauß), weil sie unabhängig sind von Zeit und Ort der Beobachtung, im Gegensatze zu den konventionellen Maßen, welche im praktischen Leben gebräuchlich sind und diese Eigenschaften nicht besitzen.

Eine Krafteinheit ist beispielsweise von Zeit und Ort der Beobachtung unabhängig, wenn wir als Einheit der Kräfte jene Kraft annehmen, welche der Masse 1 Kubikmillimeter in der Sekunde einen Geschwindigkeitszuwachs (Beschleunigung) von 1 Millimeter ertheilt. Den Druck, welchen die Masse, in Folge der Schwere, auf ihre Unterlage ausübt, nennt man das Gewicht. Wählen wir aber anstatt der Masse das Gewicht 1 Kubikmillimeter Wasser als Einheit, so ist diese Krafteinheit an verschiedenen Orten der Erde verschieden, weil die Schwerkraft zwischen Pol und Äquator geringen Schwankungen unterliegt. Als Einheit der erdmagnetischen Kraft galt früher die erdmagnetisierende Kraft in London. Diese Einheit war im Gegensatze zu den absoluten Maßen von Zeit und Ort der Beobachtung abhängig; sie war zu verschiedenen Zeiten eine andere, weil sich die erdmagnetisierende Kraft in London mit der Zeit der Beobachtung ändert, sie war vom Orte der Beobachtung abhängig, weil dieselbe nur für London ohne weiters Gültigkeit hat,

4. abgeleitete Maße oder das *LMT*- (Länge, Masse, Zeit) System, weil sie von Friedrich Gauß und Wilhelm Weber aus den Grundmaßen der Mechanik (Masse, Länge und Zeit) abgeleitet wurden.

Für das metrische Maß- und Gewichtssystem dienen das Meter (der zehnmillionste Theil des Erdmeridianquadranten) und das Gewicht des Wassers bei 4° C. als Grundmaße.

Das *LMT*-System zerfällt:

a) In das Millimeter-Milligramm-Sekunden- (*Mm Mg S*-) System mit den Grundeinheiten Millimeter, Milligramm und Sekunde.

b) In das Centimeter-Gramm-Sekunden- (*CGS*-) System mit den Grundeinheiten Centimeter, Gramm und Sekunde.

c) In das Meter-Kilogramm-Sekunden- (*MKgS*-) System mit den Grundeinheiten Meter, Kilogramm und Sekunde.

I. Kapitel.

Mechanische Maße.

84. Fläche. Aus den 3 Grundmaßen (Länge, Masse und Zeit) lassen sich für alle physikalischen Größen Einheiten ableiten. Die Einheit der Fläche geht aus der Einheit der Länge vermittle der Überlegung hervor, dass die Einheit der Fläche das Quadrat über der Einheit der Länge darstellt.

$$\begin{aligned}\text{Längeneinheit} &= L, \\ \text{Flächeninhalt } F &= L^2,\end{aligned}$$

d. h. die Flächeneinheit ist dem Quadrate der Längeneinheit proportional oder die Flächeneinheit ist im Vergleiche mit der Längeneinheit von der 2. Dimension (Abmessung oder Ausdehnung). Die Längeneinheit hat die Dimension L , eine Dimension, die Flächeneinheit hat die Dimension L^2 , zwei Dimensionen. Eine Linie hat eine, eine Fläche zwei Dimensionen.

85. Rauminhalt (Körper-, Kubikinhalt oder Volumen). In der Geometrie nimmt man für die Einheit des Raumes einen Würfel an, dessen Kantenlänge der Längeneinheit gleich ist. Die absolute Einheit des Raumes stellt ein Würfel mit der Kantenlänge der Längeneinheit L dar, d. h.:

$$\text{Die Einheit des Rauminhaltes } V = L^3.$$

Somit ist die Raumeinheit der 3. Potenz der Längeneinheit proportional, oder die Raumeinheit hat im Vergleiche mit der Längeneinheit die 3. Dimension.

4. Beispiel: Ein Personenzug legt 50 km in der Stunde zurück; wie groß ist seine Fahrgeschwindigkeit in CGS-Einheiten?

$$c = \frac{L}{T} = \frac{50.100.000}{3600} = 1388 \text{ CS}^{-1}.$$

Die Fahrgeschwindigkeit beträgt 1388 CGS-Einheiten.

87. Winkelgeschwindigkeit der drehenden Bewegung. Unter Winkelgeschwindigkeit versteht man die Geschwindigkeit am Einheitskreise. Dreht sich ein Punkt im Abstände Eins von der Achse, so nennt man die Geschwindigkeit, mit welcher sich der Punkt dreht, die Winkelgeschwindigkeit der drehenden Bewegung. Die Winkelgeschwindigkeit ω wird somit zur Geschwindigkeit c , wenn der Abstand des drehenden Punktes von der Achse gleich Eins ist. Hat der Punkt den Abstand r von der Achse, dann ist seine Geschwindigkeit

$$c = \omega r \text{ oder } \omega = \frac{c}{r} \text{ und für}$$

$$c = \frac{s}{t} \text{ (86) eingesetzt, erhalten wir}$$

$$\omega = \frac{s t^{-1}}{r}.$$

Somit ergibt sich die Dimension der Winkelgeschwindigkeit

$$\Omega = \frac{L T^{-1}}{L} = T^{-1}.$$

Wenn der Weg s dem Umfange $2\pi r$ gleich ist, folgt aus der Formel $\omega = \frac{s t^{-1}}{r}$, dass $\omega = 2\pi t^{-1}$. Der rotierende Punkt besitzt die Einheit der Winkelgeschwindigkeit, wenn derselbe in der Zeiteinheit (Sekunde) den zum Winkel Eins gehörigen Kreisbogen, oder wenn derselbe in 2π Sekunden den Kreis-Umfang $2\pi r$, oder wenn derselbe in der Entfernung 1 cm von der Achse in der Sekunde 1 cm zurücklegt. Für die Winkelgröße gelten in der Geometrie zwei verschiedene Centriwinkel als Einheit u. zw.:

1. „Ein Grad“ oder der 360. Theil des Kreisumfanges.

2. Die „Winkeleinheit“, das ist der Centriwinkel jenes Kreises, dessen Bogen und Radius einander gleich sind.

Setzt man für beide Winkelgrößen den Halbmesser Eins voraus, dann sind π Winkeleinheiten = 180 Grad, 1 Winkeleinheit = $57^\circ 17' 14.9''$ (Radian).

Die absolute Einheit der Winkelgeschwindigkeit ist jene Winkelgeschwindigkeit, welche in der Zeiteinheit eine Drehung um eine Winkeleinheit bewirkt; sie ist dem Drehungswinkel gerade, der Zeit umgekehrt proportional. Die Winkelgröße hängt von den drei Größen LMT nicht ab, und es wurde ihr deshalb die Dimension 1 gegeben. Die Dimension der Winkelgeschwindigkeit im LMT -System ist demnach

$$\Omega = \frac{1}{T} = T^{-1}.$$

1. Beispiel: Es soll die Anzahl der absoluten Einheiten der Winkel-Geschwindigkeit im CGS-Systeme angegeben werden, welche 1 $\frac{\text{Umdrehung}}{\text{Sekunde}}$ entsprechen.

Eine Umdrehung umfasst 2π Winkeleinheiten, demnach muss

$$1 \frac{\text{Umdrehung}}{\text{Sekunde}} = 2\pi \text{ S}^{-1}.$$

2. Beispiel: Die gegebene Winkelgeschwindigkeit sei $1 \frac{\text{Grad}}{\text{Sekunde}}$; wie groß ist die Anzahl der absoluten CGS-Einheiten der Winkelgeschwindigkeit?

1 Grad = $\frac{\pi}{180}$ Winkелеinheiten; daher

$$1 \frac{\text{Grad}}{\text{Sekunde}} = \frac{\pi}{180} S^{-1}.$$

3. Beispiel: Es ist die Zahl der Einheiten der Winkelgeschwindigkeit der Umdrehungsgeschwindigkeit der Erde zu bestimmen.

$$\frac{1 \text{ Umdrehung}}{86164 \text{ Sekunden}} = \frac{2\pi}{86164} S^{-1} = 729.10^{-7} S^{-1}.$$

88. Beschleunigung. Die Beschleunigung g eines Körpers ist gleich dem Geschwindigkeitszuwachs in der Sekunde:

$$g = \frac{c}{t}.$$

Die absolute Einheit der Beschleunigung $G = \frac{L}{T^2} = LT^{-2}$. Die Dimension der Beschleunigung ist demnach $\frac{L}{T^2}$ oder LT^{-2} .

Die LT -Einheit der Beschleunigung ist der Längeneinheit L gerade und dem Quadrate der Zeiteinheit T^2 umgekehrt proportional.

89. Winkelbeschleunigung. Die Winkelbeschleunigung nennt man den Winkelgeschwindigkeitszuwachs ω in der Zeit-Einheit, d. h.:

$\gamma = \frac{\omega}{t}$. Als Einheit der Winkelbeschleunigung wählt man jene Winkelbeschleunigung, bei welcher die Winkelgeschwindigkeit eines Punktes in der Zeiteinheit um eine Winkелеinheit wächst. Die letzte Gleichung geht mit Bezug auf

$$\omega = \frac{s t^{-1}}{r} \quad (87) \text{ in die folgende über:}$$

$$\gamma = 2\pi t^{-2}.$$

Demnach ist die Dimension der Winkelbeschleunigung im LMT -System

$$\Gamma = T^{-2},$$

1. Beispiel: Der Zuwachs der Winkelgeschwindigkeit sei in einer Sekunde $1 \frac{\text{Umdrehung}}{\text{Sekunde}}$; es sind die absoluten Einheiten der Winkelbeschleunigung für diese Winkelbeschleunigung anzugeben.

$$1 \frac{\text{Umdrehung}}{\text{Sekunde}} : \text{Sekunde} = \frac{2\pi}{S} : S = 2\pi S^{-2} = 6.2831853 S^{-2}.$$

2. Beispiel: Der Winkelgeschwindigkeitszuwachs in der Sekunde sei $1 \frac{\text{Grad}}{\text{Sekunde}}$; man soll die zugehörige Anzahl von Winkelbeschleunigungseinheiten im CGS-System angeben.

$$1 \frac{\text{Grad}}{\text{Sekunde}} : \text{Sekunde} = \frac{\pi}{180} S^{-2} = 0.017453 S^{-2}.$$

90. Kraft. Die Mechanik führt für das Produkt aus der Masse m in die Beschleunigung g den Ausdruck Kraft p ein, d. h.:

$$p = mg.$$

Die Einheit der Kraft, das *Dyn* oder die *Dyne* (Kraft), muss deshalb als jene Kraft angesehen werden, welche der Einheit der Masse M die Einheit der Beschleunigung $\frac{L}{T^2}$ erteilt. Daraus ergibt sich die Dimension einer Kraft:

$$P = M \frac{L}{T^2} = LMT^{-2}.$$

1. Beispiel: Wie viel CGS-Einheiten zählt eine Kraft, welcher eine Masse von 3 kg eine Beschleunigung von $\frac{2 m}{(4 \text{ sec.})^2}$ erteilt?

$$\frac{2 M. 3 Kg}{16 S^2} = \frac{200 C. 3000 G}{16 S^2} = 37500 \text{ CGS}^{-2}.$$

Die in Frage gestellte Kraft zählt demnach 37500 CGS⁻² Einheiten.

2. Beispiel: Wie verhalten sich die Krafteinheiten im *Mm Mg S*⁻² und im *CGS*⁻² System?

$$CGS^{-2} = 10 \text{ Mm. } 1000 \text{ Mg}^{-2} = 10000 \text{ Mm Mg S}^{-2}.$$

Es verhalten sich demnach die Einheiten in CGS⁻²: Einheiten in *Mm Mg S*⁻² System = 1:10000.

3. Beispiel: Wie groß ist die Kraft P , mit welcher 1 kg von der Erde angezogen wird?

Die kommerziellen Gewichte geben uns die Kraft an, mit welcher die Beschleunigung der Erde auf die gleichbenannten Massen einwirkt. Das Gewicht (die Kraft) eines kg ist demnach gleich dem Produkte aus der Masse 1 kg in die Beschleunigung, welche die Schwerkraft der Erde auf die freibewegliche Masse 1 kg ausübt. Diese Beschleunigung $g = 9.78 (1 + 0.0052 \sin^2 \varphi)$,¹⁾ wenn φ = geographische Breite; sie ist im Mittel = 9.81, am Äquator rund 9.78, an den Polen rund 9.83 m. Die Kraft P , mit welcher 1 kg von der Erde angezogen wird

$$\begin{aligned} P &= 981.1000 \text{ CGS}^{-2}, \\ &= 981000 \text{ CGS}^{-2} \text{ Einheiten.} \end{aligned}$$

4. Beispiel: Um wie viele *Dyn* wird die Schwere einer Kilogramm-masse abnehmen, wenn man sie aus unseren Breiten nach dem Äquator bringt?

Das *Dyn* ist jene Kraft, welche der Masse eines Grammes in der Sekunde die Beschleunigung 1 cm erteilt. Die Masse 1 g wird nun in unseren Breiten die Beschleunigung der Schwere = 981 cm erteilt; diese ist demnach 981 mal so groß, als 1 *Dyn*. 1 Kilogramm-masse wird demnach in unseren Breiten um 981000 cm beschleunigt. Es entspricht demnach

$$\begin{array}{lcl} \text{in unseren Breiten 1 Kilogramm-gewicht} & 981000 & \text{Dyn,} \\ \text{am Äquator} & 1 & \text{„} \quad \quad \quad 978000 \text{ „} \end{array}$$

Die Differenz beträgt 3000 *Dyn*.

d. h. 1 Kilogramm-gewicht nimmt um 3000 *Dyn* ab, wenn man es aus unseren Breiten nach dem Äquator bringt.

¹⁾ Dr. von Waltenhofen, „Mechanische Physik“, Seite 72.

93. Drehungsmoment (Statisches Moment, Moment einer Kraft).

Unter dem Drehungsmomente versteht man das Produkt aus einer Kraft p , welche auf einen Hebelarm s senkrecht wirkt in die Länge des Hebelarmes. Der Hebelarm ist dabei der Abstand des Angriffspunktes der Kraft vom Drehpunkte. Das Drehungsmoment wird demnach durch das Produkt aus Kraft p mal Abstand s bestimmt, d. h.:

$$d = p s, \text{ worin Dim. } p = LMT^{-2}$$

(90) und Dim. $s = L$ (84). Die Dimension des Drehungsmomentes erhält demnach die Form:

$$D = L^2MT^{-2}$$

1. Beispiel: An einem Hebelarme von 2 m greift eine Kraft von 20 Dyn an; wie groß ist das Drehungsmoment in CGS Einheiten?

$$20 \cdot CGS^{-2} \cdot 2 m = 4 \cdot 10^3 \cdot CGS^{-2}.$$

2. Beispiel: Es ist das statische Moment von 1 kg an einem Hebel von 2 m wirkend in CGS -Einheiten anzugeben.

$$981 \cdot 10^3 \cdot CGS^{-2} \cdot 2 m = 2 \cdot 981 \cdot 10^5 \cdot CGS^{-2} = 1962 \cdot 10^5 \cdot CGS^{-2}.$$

94. Trägheitsmoment. Das Trägheitsmoment eines um eine Achse drehbaren Körpers ist numerisch dem Verhältnisse des Drehungsmomentes zu der von diesem hervorgerufenen Winkelbeschleunigung gleich. Man muss deshalb die Dimension des Drehungsmomentes L^2MT^{-2} durch die Dimension der Winkelbeschleunigung T^{-2} dividieren, um die Dimension des Trägheitsmomentes zu erhalten. Damit ergibt sich

$$K = \frac{L^2MT^{-2}}{T^{-2}} = L^2M.$$

Beispiel: An einer Atwood'schen Fallmaschine¹⁾ besitze die feste Rolle einen Durchmesser von 10 cm und ein Trägheitsmoment¹⁾ von 2000 C^2G . Es soll die Kraft berechnet werden, welche an einer um die Rolle gelegten Schnur wirken muss, damit die Rolle eine Winkelbeschleunigung von 1 S^{-2} erhält.

Der Hebelarm beträgt 5 cm .

$$LMT^{-2} \cdot 5 cm : \frac{1}{S^2} = 2000 C^2G \text{ oder } LMT^{-2} = 400 \frac{C \cdot G}{S^2} = 400 Dyn.$$

95. Wärmeäquivalent. Unter dem mechanischen Äquivalente der Wärme versteht man jene mechanische Arbeit L^2MS^{-2} , die jener Wärmemenge gleichwertig (äquivalent) ist, welche die Einheit des Wassers um 1° C. erwärmt; diese Wärmemenge nennt man zugleich die Wärmeeinheit (Kalorie).

Daraus ergibt sich die Dimension: $\frac{\text{Arbeitseinheit}}{\text{Wärmeeinheit}}$, als Arbeitseinheit für die Wärmeeinheit.

$$\text{Mechanisches Wärmeäquivalent} = \frac{C^2GS^{-2}}{G} = C^2S^{-2}.$$

¹⁾ Franz Körner, Lehrbuch der Physik, S. 24.

1 Kilogrammkalorie ist bekanntlich = 423·5 Kilogramm-meter oder $9·81 \times 423·5 \text{ MKg S-Einheiten} = 4154 \text{ MKg S-Einheiten}$ oder weil die Längeneinheit $M = 100 \text{ C}$ und in der Dimensionsformel für das mechanische Wärmeäquivalent C^2 vorkommt, ist das Verhältnis des mechanischen Äquivalentes der Wärme im CGS -System 100^2 mal so groß als im $MKg S$ -System, d. h.: $4154 \times 100^2 = 4·15 \times 10^7 \text{ CGS} = E$.

$$E = 4·15 \times 10^7 \text{ C}^2 \text{ S}^{-2}.$$

Den reciproken Wert, also $\frac{1}{E}$ nennt man das kalorische Äquivalent der Arbeitseinheit. Es ist demnach

$$\frac{1}{E} = 0·24 \times 10^{-7} \text{ C}^{-2} \text{ S}^2 \text{ oder}$$

1 *Erg* = $0·24 \times 10^{-7}$ Grammkalorien.

II. Kapitel.

Magnetische Maße.

96. Magnetische Quantität (Polstärke oder absolute Einheit der Pole). Die Kraft p der Einwirkung zweier magnetischer Theilchen m_1 und m_2 aufeinander, welche von einander eine bestimmte Entfernung r haben, ist bekanntlich nach dem Gesetze nach Coulomb dem Produkte der Massen m_1 und m_2 gerade, dem Quadrate der Entfernung r^2 verkehrt proportional, d. h.:

$$p = \frac{m_1 m_2}{r^2}.$$

Die Einheit des Magnetismus ist demnach jene Menge m , welche auf eine gleich große, in der Entfernung 1 befindliche, eine Kraft 1 ausübt, d. h.:

$$P = \frac{m^2}{L} \text{ und}$$

$$m = LP^{1/2} = \frac{M^{1/2} L^{3/2}}{T}.$$

Beispiel: Wie verhalten sich die absoluten CGS - und $Mm MgS$ -Einheiten der Polstärke zu einander?

$$1 \text{ C}^{1/2} \text{ G}^{1/2} \text{ S}^{-1} = (10 \text{ Mm})^{1/2} (1000 \text{ Mg})^{1/2} \text{ S}^{-1} = 1000 \text{ Mm}^{1/2} \text{ Mg}^{1/2} \text{ S}^{-1}.$$

97. Magnetisches Moment. Das Moment m eines Magnetstabes ergibt sich aus dem Produkte:

Magnetische Quantität m mal Polabstand l d. h.:

$$m = m \cdot l.$$

Das magnetische Moment hat deshalb die Dimension:

$$\mathfrak{M} = M^{1/2} L^{3/2} T^{-1}. L = L^{1/2} M^{1/2} T^{-1}.$$

1. Beispiel: Es ist das Verhältnis zwischen der absoluten CGS - und $MmMgS$ -Einheit des magnetischen Momentes anzugeben.

$$1 \text{ } C^{1/2} G^{1/2} S^{-1} = (10 \text{ } Mm)^{1/2} (1000 \text{ } Mg)^{1/2} S^{-1}, \\ 10^{1/2} \text{ } Mm^{1/2} 10^{1/2} \text{ } Mg^{1/2} S^{-1} = 10000 \text{ } Mm^{1/2} \text{ } Mg^{1/2} S^{-1}.$$

2. Beispiel: Man bestimme das Verhältnis zwischen der absoluten $MKgS$ - und $MmMgS$ -Einheit des magnetischen Momentes.

$$1 \text{ } M^{1/2} \text{ } Kg^{1/2} S^{-1} = (1000 \text{ } Mm)^{1/2} (1000000 \text{ } Mg)^{1/2} S^{-1} \\ = 1000^{1/2} \text{ } Mm^{1/2} (10^6)^{1/2} \text{ } Mg^{1/2} S^{-1} = 10^{21/2} \text{ } Mm^{1/2} \text{ } Mg^{1/2} S^{-1}.$$

3. Beispiel: Das magnetische Moment eines Magnetstabes sei $1000 \text{ } C^{1/2} G^{1/2} S^{-1}$, die Länge 12 cm und die Pole seien im 1. Zwölftel des Stabes: Man berechne die Polstärke.

$$1000 \frac{C^{1/2} G^{1/2} S^{-1}}{10^{1/2} \cdot 12 \text{ } C} = 100 \text{ } C^{1/2} G^{1/2} S^{-1}.$$

98. Magnetisches Potential. In einem bestimmten Orte eines magnetischen Feldes sei ein bestimmter magnetischer Punkt mit der Menge $L^{3/2} M^{1/2} T^{-1}$ an Nordmagnetismus. Die Kräfte des magnetischen Feldes werden, wenn man den Punkt aus demselben auf irgend einem Wege bewegt, eine bestimmte mechanische Arbeit $L^2 M T^{-2}$ verrichten. Das Potential des Ortes ist nun der Arbeit gerade und der Menge verkehrt proportional, Hiermit ergibt sich als Dimension für das magnetische Potential:

$$\frac{L^2 M T^{-2}}{L^{3/2} M^{1/2} T^{-1}} = L^{1/2} M^{1/2} T^{-1}.$$

Beispiel: Wie verhalten sich die CGS - und $MKgS$ -Einheit des magnetischen Potentials?

$$1 \text{ } M^{1/2} \text{ } Kg^{1/2} S^{-1} = (100 \text{ } C)^{1/2} (1000 \text{ } G)^{1/2} S^{-1} = 100^{1/2} 1000^{1/2} \text{ } C^{1/2} G^{1/2} S^{-1} \\ = (10^2)^{1/2} (10^3)^{1/2} \text{ } C^{1/2} G^{1/2} S^{-1} = 10^{5/2} \text{ } C^{1/2} G^{1/2} S^{-1}.$$

99. Intensität der Magnetisierung oder spezifischer Magnetismus i heißt das magnetische Moment M eines Stabes auf die Volumeneinheit v bezogen, d. h. $i = MV$; daraus folgt die Dimension:

$$J = \frac{L^{3/2} M^{1/2} T^{-1}}{M} = L^{1/2} M^{-1/2} T^{-1}.$$

Beispiel: Es ist das Verhältnis zwischen der CGS - und $MKgS$ -Einheit des spezifischen Magnetismus festzustellen:

$$1 \text{ } M^{1/2} \text{ } Kg^{-1/2} S^{-1} = \frac{100^{1/2} \text{ } C^{1/2} S^{-1}}{1000^{1/2} \text{ } G^{1/2}} = 10^{1/2} \text{ } C^{1/2} G^{-1/2} S^{-1}.$$

100. Intensität des magnetischen Feldes. Die Intensität des magnetischen Feldes an einem bestimmten Orte desselben ist gegeben, wenn ein Punkt an diesem Orte mit der magnetischen Quantität $L^{3/2} M^{1/2} T^{-1}$ durch eine Kraft vom Betrage LMT^{-2} bewegt wird. Obige Intensität zeigt mit der Menge $L^{3/2} M^{1/2} T^{-1}$ verkehrte, mit der Kraft LMT^{-2} gerade Proportionalität. Daraus finden wir die Dimension:

$$\mathfrak{H} = \frac{LMT^{-2}}{L^{3/2} M^{1/2} T^{-1}} = L^{-1/2} M^{1/2} T^{-1}.$$

1. Beispiel: Wie verhalten sich die *CGS*- und *MmMgS*-Einheiten der Intensität des magnetischen Feldes?

$$1 \text{ C}^{-1/2} \text{ G}^{1/2} \text{ S}^{-1} = 10^{-1/2} \text{ Mm}^{-1/2} 1000^{1/2} \text{ Mg}^{1/2} \text{ S}^{-1} = 10^{-1/2} 10^{3/2} \text{ Mm}^{-1/2} \text{ Mg}^{1/2} \text{ S}^{-1} \\ = 10 \text{ Mm}^{-1/2} \text{ Mg}^{1/2} \text{ S}^{-1}.$$

2. Beispiel: Die horizontale Intensität des Erdmagnetismus beträgt in Mitteleuropa rund 0.2 *CGS*-Einheiten, die mittlere Inklination 65°. Welcher totalen Intensität des Erdmagnetismus entsprechen diese Angaben?

$$\text{Totale Intensität} = \frac{\text{Horizontalintensität}}{\cos 65^\circ}; \text{ daher ist die totale Intensität} \\ = \frac{0.2}{\cos 65^\circ} \text{ C}^{-1/2} \text{ G}^{1/2} \text{ S}^{-1} = 0.47 \text{ C}^{-1/2} \text{ G}^{1/2} \text{ S}^{-1}.$$

101. Magnetisches Drehungsmoment; dasselbe erscheint durch die Gleichung $\delta = \mathfrak{M}\mathfrak{S}$. definiert. Damit ergibt sich die Dimension

$$\mathfrak{D} = \text{L}^{1/2} \text{ M}^{1/2} \text{ T}^{-1}. \text{ L}^{-1/2} \text{ M}^{1/2} \text{ T}^{-1} = \text{L}^3 \text{ MT}^{-2}.$$

Beispiel: Eine Magnetnadel, deren magnetisches Moment 200 *CGS*-Einheiten beträgt, steht senkrecht zur Ebene des magnetischen Meridians. Der Erdmagnetismus ruft an der Nadel ein Drehungsmoment hervor. Wie groß ist dasselbe für Mitteleuropa, wenn man hier die Horizontalintensität des Erdmagnetismus mit rund 0.2 *CGS*-Einheiten annimmt?

$$\mathfrak{D} = 200 \text{ C}^{3/2} \text{ G}^{1/2} \text{ S}^{-1} 0.2 \text{ C}^{-1/2} \text{ G}^{1/2} \text{ S}^{-1} = 40 \text{ C}^2 \text{ GS}^{-2} = 40 \text{ Dyn.-cm.}$$

III. Kapitel.

Elektrostatische Maße.

102. Elektrizitätsmenge. Sowie bei den mechanischen und magnetischen Größen gilt auch hier das Coulomb'sche Gesetz. Denkt man sich zwei Elektrizitätsmengen m_1 und m_2 in einem Punkte vereinigt, so wirken dieselben aufeinander in der Entfernung r mit der anziehenden oder abstoßenden Kraft p ein, so dass $p = \frac{m_1 m_2}{r^2}$; setzen wir wieder

(96) $m = m_1 = m_2$, dann wird $p = \frac{m^2}{r^2}$ und $m = r \sqrt{p}$. Gehen wir auf die Dimension über, dann müssen wir berücksichtigen, dass $P = \text{LMT}^{-2}$ (90) und Dimension $r = \text{L}$; hiermit folgt

$$M = \text{L} \cdot (\text{LMT}^{-2})^{1/2} = \text{L}^{3/2} \text{ M}^{1/2} \text{ T}^{-1}.$$

Beispiel: Zwei elektrische Punkte befinden sich in einer Entfernung von 5 cm; der eine Punkt besitzt die Elektrizitätsmenge von 80 positiven, der andere eine solche von 20 positiven Einheiten des *CGS*-Systems; wie groß ist die Kraft, mit welcher diese beiden Punkte einander abstoßen?

$$P = \frac{80 \text{ C}^{3/2} \text{ G}^{1/2} \text{ S}^{-1} 20 \cdot \text{C}^{3/2} \text{ G}^{1/2} \text{ S}^{-1}}{25 \text{ C}^2} = 64 \text{ CGS}^{-2} = 64 \text{ Dyn.}$$

103. Elektrostatische Stromeinheit. Fließt in der Zeiteinheit die Quantitätseinheit durch den Querschnitt eines Leiters, dann nennt

man nach Faraday die jetzt vorhandene Stromstärke die elektrostatische Stromeinheit, d. h.: $i = \frac{M}{t}$ und die Dimension

$$J = \frac{L^{3/2} M^{1/2} T^{-1}}{T} = L^{3/2} M^{1/2} T^{-2}.$$

Beispiel: Es ist die Stromstärke zu bestimmen, welche vorhanden sein muss, wenn in 3 Sekunden eine Elektrizitätsmenge von $6 \cdot 10^3$ elektrostatischen CGS-Einheiten durch den Leiter fließt.

$$J = \frac{6 \cdot 10^3 C^{3/2} G^{1/2} S^{-1}}{3 S} = 2 \cdot 10^3 C^{3/2} G^{1/2} S^{-2}.$$

104. Elektrostatisches Potential (Spannung). An einem bestimmten Orte bestehe ein elektrischer Punkt innerhalb eines elektrischen Feldes. Der Punkt besitze die positive Elektrizitätsmenge $L^{3/2} M^{1/2} T^{-1}$. Bringt man den Punkt aus dem magnetischen Felde heraus, so werden die im Felde wirksamen Kräfte auf dem Wege, welchen er jetzt zurücklegt, eine mechanische Arbeit $L^2 M T^{-2}$ leisten. Das Potential des Ortes ist der obigen Elektrizitätsmenge gerade, der obigen Arbeit verkehrt proportional; d. h. das elektrostatische Potential hat die Dimension:

$$P = \frac{L^2 M T^{-2}}{L^{3/2} M^{1/2} T^{-1}} = L^{1/2} M^{1/2} T^{-1}.$$

Beispiel: Wie groß ist das Potential einer leitenden Kugel von 12 cm Halbmesser, wenn dieselbe mit 24 Einheiten des absoluten elektrostatischen CGS-Systems geladen wurde?

Aus dem Begriffe des Potentials folgt:

$$P = \frac{24 C^{3/2} G^{1/2} S^{-1}}{12 C} = 2 C^{1/2} G^{1/2} S^{-1}.$$

105. Intensität des elektrischen Feldes. Die Intensität des elektrischen Feldes herrscht an irgend einem Orte, wenn auf einen Punkt dieses Ortes, welcher auf die Elektrizitätsmenge $L^{3/2} M^{1/2} T^{-1}$ gebracht wurde, die Kraft $L M T^{-2}$ wirkt. Obige Intensität ist der Elektrizitätsmenge umgekehrt, obiger Kraft dagegen gerade proportional. Die Dimension der Intensität hat demnach die Form:

$$F = \frac{L M T^{-2}}{L^{3/2} M^{1/2} T^{-1}} = L^{-1} M^{1/2} T^{-1}.$$

Beispiel: In einem Punkte sind 3 elektrostatische CGS-Einheiten der Elektrizitätsmenge konzentriert. Welche Intensität des magnetischen Feldes bringt dieser Punkt in 10 cm Entfernung hervor?

$$\frac{3 C^{3/2} G^{1/2} S^{-1}}{10^3 C^2} = 0.03 C^{-1/2} G^{1/2} S^{-1}.$$

106. Kapazität. Unter der elektrischen Kapazität eines Leiters versteht man die Elektrizitätsmenge $L^{3/2} M^{1/2} T^{-1}$, welche aufgewendet werden muss, um das Potential $L^{1/2} M^{1/2} T^{-1}$ herzustellen. Die Kapazität

ist der Elektrizitätsmenge gerade, dem Potential verkehrt proportional. Damit ergibt sich die Dimensionsformel:

$$\frac{L^{1/2} M^{1/2} T^{-1}}{L^{1/2} M^{1/2} T^{-1}} = L.$$

Beispiel: Es ist die Kapazität eines Leiters anzugeben, dessen Potential von 20 absoluten elektrostatischen CGS-Einheiten mittelst einer Ladung von 80 elektrostatischen CGS-Einheiten der Elektrizitätsmenge gebracht wurde.

$$C = \frac{80 C^{1/2} G^{1/2} S^{-1}}{20 C^{1/2} G^{1/2} S^{-1}} = 4 C.$$

107. Widerstand. Die Dimension des Widerstandes folgt aus dem Ohm'schen Gesetze. Der Widerstand zwischen zwei Querschnitten eines Leiters hängt von der Potentialdifferenz $L^{1/2} M^{1/2} T^{-1}$ dieser zwei Querschnitte und von der Stromstärke $L^{1/2} M^{1/2} T^{-2}$ ab. Nach dem eben genannten Gesetze ist der Widerstand der Potentialdifferenz gerade, der Stromstärke verkehrt proportional und hat somit die Dimension:

$$\frac{L^{1/2} M^{1/2} T^{-1}}{L^{1/2} M^{1/2} T^{-2}} = L^{-1} T.$$

Beispiel: Welchen Widerstand hat ein Leiter, wenn derselbe von 10^5 elektrostatischen CGS-Einheiten der Stromstärke durchflossen wird und an seinen Enden eine Potentialdifferenz von $3 \cdot 10^{-3}$ elektrostatischen CGS-Einheiten auftritt?

$$\frac{3 \cdot 10^{-3} C^{1/2} G^{1/2} S^{-1}}{10^5 C^{1/2} G^{1/2} S^{-2}} = 3 \cdot 10^{-8} C^{-1} S.$$

IV. Kapitel.

Elektromagnetische Einheiten.

108. Stromstärke. Der Aufstellung der elektromagnetischen Einheiten liegt, ihrer Benennung entsprechend, das Gesetz der Wechselwirkung zwischen Strömen und Magneten (§. 40) zugrunde. Befindet sich ein magnetischer Pol m im Mittelpunkte eines kreisförmig geschlossenen Leiters, so ist die Kraft p (§. 40), welche auf den Pol wirkt,

$$p = \frac{m \cdot i \cdot l \cdot \sin \vartheta}{r^2}$$

Diese Formel übergeht (33, Zeile 15 v. o.) in die Formel:

$$i = \frac{p \cdot r^2}{m \cdot l}.$$

Hierin stellen r eine Länge, p eine Kraft und m die Menge des Magnetismus vor, deren Einheiten bereits abgeleitet wurden.

Die Einheit der Stärke eines Stromes J in einem Leiter von der Länge L übt demnach auf die Einheit des Magnetismus m in der Entfernung L die Kraft P aus und zwar so, dass

$$P = \frac{L J m}{L^2} \text{ oder } J = \frac{P \cdot L}{m} = \frac{P L}{P^{1/2} L} = P^{1/2} = \frac{M^{1/2} L^{1/2}}{T} = L^{1/2} M^{1/2} T^{-1}.$$

Die praktische Einheit der Stromstärke 1 Ampère = $\frac{1}{10}$ der Einheit im *CGS*-System.

109. Elektrizitätsmenge. Unter der Elektrizitätsmenge E versteht man jene Elektrizitätsmenge, die bei der Stromstärke $L^{1/2} M^{1/2} T^{-1}$ in der Zeit T durch den Querschnitt des Leiters fließt. Die Einheit der Elektrizitätsmenge ist diesen Bestimmungsstücken proportional und hat demnach die Dimension

$$E = L^{1/2} M^{1/2} T^{-1} T = L^{1/2} M^{1/2}.$$

Aus dieser Elektrizitätsmenge geht die absolute elektromagnetische Einheit der Elektrizitätsmenge hervor, wenn man anstatt der Stromstärke die absolute Einheit derselben und anstatt der Zeit die Zeiteinheit einführt.

Nimmt man als Stromstärke eine absolute elektromagnetische *CGS*-Einheit an, dann fließt in der Sekunde durch den Querschnitt des Leiters eine absolute elektromagnetische *CGS*-Einheit der Elektrizitätsmenge.

$$\frac{1}{10} \text{ Einheiten des } CGS\text{-Systems} = 1 \text{ Coulomb.}$$

110. Elektromotorische Kraft (Spannung, Spannungsdifferenz, elektrisches Potential, Potentialdifferenz). In einer elektrischen Maschine (Fig. 84 bis 87) ist folgende Anordnung getroffen: Innerhalb eines magnetischen Feldes von der Intensität \mathfrak{H} befindet sich ein Leiter W_1 , Fig. 84, von der Länge L . Der Leiter soll mit einer Geschwindigkeit v so bewegt werden, dass derselbe von der Richtung der magnetischen Kraft (Richtung der Kraftlinien) senkrecht geschnitten wird. Durch die Rotation des Leiters in dem magnetischen Felde ergibt sich ein Unterschied in den Potentialwerten an den Enden des inducierten Leiterstückes

$$V = V_1 - V_2.$$

Die entstehende Potentialdifferenz ist den Größen HL und v proportional.

$V = V_1 - V_2 = \text{Konst. } H \cdot L \cdot v$, welche Gleichung in die folgende:

$V = HLv$ übergeht, wenn die Konstante = 1 gesetzt wird, d. h. wenn jene Spannungsdifferenz = 1 ist, welche bei der obigen Bewegung eines Leiters von der Länge = 1 in einem magnetischen Felde von der Intensität = 1 bei der Geschwindigkeit = 1 in diesem Leiter entsteht. Die Dimension eines Potentialunterschiedes ist demnach: $L^{-1/2} M^{1/2} T^{-1} L \cdot L T^{-1} = L^{1/2} M^{1/2} T^{-2}$ und im *CGS*-Systeme ist die Einheit der elektromotorischen Kraft = $C^{1/2} G^{1/2} S^{-2}$, dabei ist jene elektromotorische Kraft als Einheit eingeführt, welche in einem Leiterstücke von der Länge 1 Centimeter in einem magnetischen Felde von der Intensität 1 mit einer Geschwindigkeit von 1 Centimeter in der Sekunde reducirt wird.

Als praktische Einheit gilt:

$$1 \text{ Volt} = 10^8 C^{1/2} G^{1/2} S^{-2}.$$

Die Gleichheit der Dimensionen für die elektromotorische Kraft und das Potential ergibt sich schon aus der Definition der letzteren, nach welcher eine elektromotorische Kraft die Differenz zweier Potentiale darstellt.

111. Induktionskoeffizient. Die Ursache der gegenseitigen (§. 64) und der Selbstinduktion (§. 65) ist eine elektromotorische Kraft. Die elektromotorische Kraft der Induktion e ist den Änderungen der Stromstärke i in einem unendlich kleinen Zeittheilchen t proportional, d. h.:

$$e = C \frac{i}{t},$$

worin C einen Proportionalitätsfaktor, den Koeffizienten der Induktion vorstellt. Für den Koeffizienten der gegenseitigen Induktion wählt man gewöhnlich den Buchstaben M , für den der Selbstinduktion den Buchstaben L .

Aus der obigen Formel folgt: $C = \frac{et}{i}$.

Die Dimension des Induktionskoeffizienten (Koeffizient der gegenseitigen und Selbstinduktion) ist demnach:

$$\text{Dimension } C = \frac{L^{1/2} M^{1/2} T^{-2}}{L^{1/2} M^{1/2} T^{-1}} \cdot T = L.$$

Die Dimension des Induktionskoeffizienten stellt somit eine Länge dar.

Die praktische Einheit der Induktionskoeffizienten wird Quadrant genannt;

$$1 \text{ Quadrant} = 10^9 C.$$

Der in Chicago, anlässlich der Weltausstellung 1893 abgehaltene elektrotechnische Congress hat für die Einheit der Induktionskoeffizienten, dem erfolgreichen Forscher auf dem Gebiete der Induktion höherer Ordnung (§. 79) J. Henry zu Ehren, die Benennung Henry eingeführt:

$$1 \text{ Henry} = 1 \text{ Quadrant} = 10^9 C.$$

112. Widerstand und Leitungsfähigkeit. Die Dimension eines Widerstandes ergibt sich aus dem Ohm'schen Gesetze:

$$1 \text{ Ohm} = \frac{1 \text{ Volt}}{1 \text{ Ampère}}.$$

Die Einheit des Widerstandes ist demnach jener Widerstand, in welchem die Einheit der elektromotorischen Kraft 1 Volt, die Einheit der Stromstärke 1 Ampère erzeugt.

$$\text{Dimension des Widerstandes} = \frac{M^{1/2} L^{3/2}}{T^2} \cdot \frac{T}{L^{1/2} M^{1/2}} = \frac{L}{T} = LT^{-1}.$$

Aus dieser Form geht hervor, dass Widerstand und Geschwindigkeit dieselbe Dimension haben.

Als praktische Einheit des Widerstandes gilt

1 internationales Ohm = 10^9 CGS-Einheiten.

1 internationales Ohm = 1.063 SE. (§. 33)

1 SE. = 0.94073 internationales Ohm.

Für den spezifischen Widerstand gelten vorzugsweise zwei Einheiten:

1. Der Widerstand eines Würfels vom Volumen Eins. Für den Widerstand besteht die Beziehung. (§. 33)

$$w = \frac{cl}{q}, \text{ worin}$$

c = Spezifischer Widerstand. Aus dieser Gleichung folgt:

$c = \frac{wq}{l}$ und für den Widerstand und den Querschnitt ihre Dimensionen $W = LT^{-1}$ und $Q = L^2$ eingesetzt:

$$C_0 = \frac{LT^{-1}L^2}{L} = L^2T^{-1}.$$

Für das CGS-System folgt demnach die Dimensionsformel: $W = CS^{-1}$ und für den spezifischen Widerstand $W_0 = C^2S^{-1}$. Die Einheit des spezifischen Widerstandes $W_0 = CS^{-1}C = \text{Ohm-Cm}$; man nennt deshalb die Einheit des spezifischen Widerstandes 1 Ohm bezogen auf das Centimeter oder 1 Ohmcentimeter.

2. In der Praxis wählt man zumeist für die zu messenden Drahtwiderstände als Einheit des spezifischen Widerstandes den Widerstand eines Prismas von der Länge 1 m und dem Querschnitte eines mm^2 . Diese Einheit steht außerhalb des CGS-Systems und wird mit C bezeichnet.

Den reciproken Wert des Widerstandes, also den Wert $\frac{1}{W}$ nennt man Mho;

$$1 \text{ Mho} = \frac{1}{10\text{hm}}.$$

Der reciproke Wert des spezifischen Widerstandes heißt Leitungsfähigkeit = $\frac{1}{C}$.

1. Tabelle.

Leiter	Widerstands- Koeffizient bei 0° in Mikrohmm.	Leitungs- fähigkeit bei 0° in Megahmm.	Widerstand von 1 m bei 1 mm ² 0° in S. E.	Leitungs- fähigkeit be- zogen auf Hg 0°
Aluminium, käuflich	3·000000	0·3333333	0·0318900	31·671300
Aluminiumbronze	11·700000	0·0854700	0·1243710	8·0404000
Antimon	42·700000	0·0234190	0·4539010	2·2031000
Blei, gepresst	20·760000	0·0481000	0·2206790	4·5300000
Cadmium	19·000000	0·0526300	0·2019700	4·9510000
Eisen, rein	9·725000	0·1028200	0·1033770	9·6700000
Eisendraht, schwedisch	9·166000	0·1090900	0·0974350	10·2600000
Eisendraht, gewöhnlich	12·402000	0·0806000	0·1318420	7·5848470
Gold, gegläht	2·047400	0·4884240	0·0217635	45·9484000
Gold, hart	2·084800	0·4796600	0·0221614	45·1234000
Graphit	1200·000000 bis 94000·000000	0·000833 bis 0·0000106	12·7560000 bis 999·2200000	0·0786600 bis 0·0010008
Kobalt	—	—	—	9·7000000
Kohle, Mittelwert	5200·000000	0·0001923	55·2760000	0·0181000
Kruppin	85·000000	0·0117600	0·9027000	1·1110000
Kupfer, rein	1·533000	0·6523000	0·0167060	59·8500000
Kupfer, käuflich	1·640000	0·6097000	0·0174332	57·4000000
Magnesium	4·500000	0·2220000	0·0478350	21·1100000
Mangankupfer	39·600000	0·0252700	0·4209480	2·3800000
Mangankupfer	100·200000	0·0099800	1·0651260	0·9400000
Messingdraht	6·900000	0·1449200	0·0733500	13·6340000
Neusilber (60·30 Cu, 25·37 Zn, 14·03 Ni, 0·30 Fe)	29·053000	0·0344200	0·3088300	3·2379900
Neusilber (60 Cu, 15 Ni, 25 Zn)	29·800000	0·0335500	0·3168000	3·1565700
Nickel, gegläht	12·500000	0·0800000	0·1328750	7·5250000
Nickelin (62 Cu, 18 Ni, 20 Zn)	33·600000	0·0297620	0·3480960	2·8700000

2. Tabelle.

L e i t e r	Widerstands- Koeffizient bei 0° in Mikrohmm.	Leitungs- fähigkeit bei 0° in Megahmm.	Widerstand von 1 m bei 1 mm ² 0° in S. E.	Leitungs- fähigkeit be- zogen auf Hg 0°
Nickelkupfer (Konstantan, 60 Cu, 40 Ni)	58·600000	0·0170410	0·6237680	1·6030900
Nickelmangankupfer (Man- ganin, 84 Cu, 4 Ni, 12 Mn)	38·700000	0·0258390	0·4113810	2·4308400
Palladium, Mittelwert	12·100000	0·0826440	0·1286230	7·7777777
Patentnickel (Basse & Salve, 74·12 Cu, 0·23 Zn, 25·10 Ni, 0·13 Mn, 0·42 Fe)	32·800000	0·0304870	0·3486640	2·8670000
Phosphorbronze	—	—	—	8·0000000 13·0000000
Phosphorbronze (Lazare Weiller)	—	—	—	18·0000000
Platin	11·500000 bis 16·600000	0·0869500 bis 0·0602400	0·1222450 bis 0·1764580	8·1803000 5·6670800
Platin-Iridium (90 Pt, 10 Ir)	18·400000 bis 22·400000	0·0543500 bis 0·0446000	0·1960000 bis 0·2380000	5·1130000 bis 4·2174000
Platin-Rhodium (90 Pt, 10 Rh)	9·900000	0·1010101	0·1050000	9·5020000
Platin-Silber (85 Vol. Proc. Ag, 15 Vol. Proc. Pt)	22·400000 bis 22·400000	0·0446400 bis 0·0446400	0·2381000 bis 0·2381000	4·2174000 bis 4·2174000
Quecksilber	94·073000	0·0106300	0·9999999	1·0000000
Rheotan (Geitner)	40·376000	0·0247670	0·4291970	2·3299300
Silber, gegläht	1·508500	0·6629100	0·0160350	62·3636363
Silber, hart	1·632000	0·6127450	0·0173480	57·6430100
Siliciumbronze	—	—	—	38·5000000
Stahldraht, hart	17·386000	0·0575200	0·1848000	5·4108910
Thermotan (Geitner)	52·300000	0·0191200	0·5559490	1·7988200
Tellur	—	—	—	0·0004000
Wismuth, gepresst	31·480000	0·0317660	0·3346324	2·9883500
Zink, gepresst	5·566000	0·1796620	0·0591666	16·9010000
Zinn	13·358000	0·0748600	0·1419960	7·0424700

3. Tabelle.

Leiter	Widerstand von 1 m bei 1 mm ² 0° in Ohm	Leitungs- fähigkeit, be- zogen auf Ohm 0°	Widerstand von 1 m bei 1 mm ² 15° in Ohm	Leitungs- fähigkeit, be- zogen auf Ohm 15°
Aluminium, käuflich	0·030000	33·333333	0·0317550	31·522000
Aluminiumbronze	0·117000	8·547000	0·1182290	8·441000
Antimon	0·427000	2·341900	0·4526200	2·209300
Blei, gepresst	0·207600	4·816900	0·2197450	4·555555
Cadmium	0·190000	5·263100	0·2014000	4·965249
Eisen, rein	0·097250	10·282000	0·1038140	9·670000
Eisendraht, schwedisch	0·091660	10·909000	0·0978470	10·260000
Eisendraht, gewöhnlich	0·124000	8·063200	0·1324000	7·552870
Gold gegläht	0·020474	48·842000	0·0216000	46·296300
Gold, hart	0·020848	47·966200	0·0220000	45·454500
Graphit	12·000000 bis 940·000000	0·083500 bis 0·001064	12·1260000 bis 949·8700000	0·082460 bis 0·001053
Kobalt	0·097000	—	—	—
Kohle, Mittelwert	52·000000	0·019230	51·6880000	0·019450
Kruppin	0·850000	0·011760	0·8500000	0·011760
Kupfer, rein	0·015330	65·230000	0·0163000	61·350000
Kupfer, käuflich	0·016400	60·900000	0·0174332	57·400000
Magnesium	0·045000	2·222000	0·0476325	20·994000
Mangankupfer	0·396000	2·532700	0·3960000	2·532700
Mangankupfer	1·002000	0·998000	1·0020000	0·998000
Messingdraht	0·069000	14·492700	0·0706000	14·174000
Neusilber (60·30 Cu., 25·37 Zn, 14·03 Ni, 0·30 Fe)	0·290530	3·441980	0·3010000	3·332226
Neusilber (60 Cu, 15 Ni, 25 Zn)	0·298000	3·355700	0·2996000	3·338100
Nickel, gegläht	0·125000	8·000000	0·1317500	7·590000
Nickelin (62 Cu, 18 Ni, 20 Zn)	0·336000	2·970000	0·3361500	2·975570

4. Tabelle.

Leiter	Widerstand von 1 m bei 1 mm ² 0° in Ohm	Leitungs- fähigkeit, be- zogen auf Ohm 0°	Widerstand von 1 m bei 1 mm ² 15° in Ohm	Leitungs- fähigkeit be- zogen auf Ohm 15°
Nickelkupfer (Konstantan, 60 Cu, 40 Ni)	0·586800	1·740410	0·5868000	1·740410
Nickelmangankupfer (Man- ganin, 84 Cu, 4 Ni, 12 Mn)	0·387000	2·583980	0·3870000	2·583980
Palladium, Mittelwert	0·121000	8·264000	0·1261450	7·908000
Patentnickel, Basse & Selve 74·12 Cu, 0·23 Zn, 25·10 Ni, 0·13 Mn, 0·42 Fe)	0·328000	3·048700	0·3289840	3·039670
Phosphorbronze	0·072000 bis 0·117000	—	—	—
Phosphorbronze (Lazare Weiller)	0·052000	—	—	—
Platin	0·115000 bis 0·166000	8·695000 bis 6·024090	0·1191400 bis 0·1747150	8·393500 bis 5·724190
Platin-Iridium (90 Pt, 10 Ir)	0·184000 bis 0·224000	5·435000 bis 4·4693	0·1870000 bis 0·2280000	5·338700 bis 4·385300
Platin-Rhodium (90 Pt, 10 Rh)	0·099000	1·010101	0·1000000	10·000000
Platin-Silber (85 Vol. Proc. Ag. 15 Vol. Proc. Pt.)	0·224000 bis 0·224000	4·464300 bis 4·464300	0·2246700 bis 0·2250000	4·450930 bis 4·404300
Quecksilber	0·940730	1·063000	0·9531500	1·049100
Rheotan (Geitner)	0·403760	2·476718	0·4051000	2·468000
Silber, gegläht	0·015085	66·291000	0·0159000	62·893100
Silber, hart	0·016320	61·274500	0·0172000	58·139500
Siliciumbronze	0·020000	—	—	—
Stahldraht, hart	0·173860	5·751750	0·1843000	5·425930
Thermotan (Geitner)	0·523000	1·912046	0·5231600	1·911470
Tellur	235·180000	—	—	—
Wismuth, gepresst	0·314800	3·176600	0·3290000	3·039500
Zink, gepresst	0·055660	17·966000	0·0590000	16·949000
Zinn	0·133580	7·486150	0·1420000	7·042253

5. Tabelle.

Leiter	Widerstands- zunahme in % für 1°	α aus der Formel $w_t = w_0 (1 + \alpha t)$
Aluminium, käuflich	0·390000	0·0039000
Aluminiumbronze	0·070000	0·00070000
Antimon	0·400000	0·0040000
Blei, gepresst	0·389000	0·0039000
Cadmium	0·400000	0·0040000
Eisen, rein	0·449000	0·0045000
Eisendraht, schwedisch	0·450000	0·0045000
Eisendraht, gewöhnlich	0·458000	0·0045000
Gold, gegläht	0·569000	0·0037000
Gold, hart	0·378000	0·0037000
Graphit	7·000000	0·0007000
Kohle, Mittelwert	—0·040000	—0·0004000
Kruppin	ganz gering	0·0007007
Kupfer, rein	0·421000	0·0041900
Kupfer, käuflich	0·420000	0·0042000
Magnesium	0·420000	0·0039000
Mangankupfer	sehr gering	sehr gering bei 17° C = 0
Mangankupfer	sehr gering	sehr gering
Messingdraht	0·154000	0·0015000
Neusilber (60·30 Cu, 25·37 Zn, 14·03 Ni, 0·30 Fe)	0·240200	0·0003250
Neusilber (60 Cu, 15 Ni, 25 Zn)	0·035000	0·0003500
Nickel, gegläht	0·360000	0·0036000
Nickelin (62 Cu, 18 Ni, 20 Zn)	0·002970	0·0003000

6. Tabelle.

Leiter	Widerstands- zunahme in % für 1°	α aus der Formel $w_t = w_0 (1 + \alpha t)$
Nickelkupfer (Konstantan, 60 Cu, 40 Ni)	ganz gering	+0·0001000 bis —0·0001000
Nickelmangankupfer (Manganin, 84 Cu, 4 Ni, 12 Mn)	ganz gering	sehr gering bei +8°=0
Palladium, mittelwert	0·300000	0·0030000
Patentnickel (Basse & Selve, 74·12 Cu, 0·23 Zn, 25·10 N, 0·13 Mn, 0·42 Fe)	0·020000	0·0002000
Platin	0·240000 0·350000	0·0024000 0·0035000
Platin-Iridium (90 Pt, 10 Ir)	0·120000 0·120000	0·0012000 0·0012000
Platin-Rhodium (90 Pt, 10 Rh)	0·060000	0·0010000
Platin-Silber (85 Vol. Proc. Ag, 15 Vol. Proc. Pt)	0·022400 0·030000	0·0002000 0·0003000
Quecksilber	0·086790	0·0008800
Rheotan (Geitner)	0·022110	0·0002200
Silber, gegläht	0·360100	0·0036000
Silber, hart	0·359000	0·0036000
Siliciumbronze	—	—
Stahldraht, hart	0·400320	0·0040000
Thermotan (Geitner)	—0·002009	—0·0000200
Wismuth, gepresst	0·300000	0·0030000
Zink, gepresst	0·390000	0·0040000
Zinn	0·481100	0·0042000

Die vorstehenden sechs Tabellen¹⁾ bringen Angaben über spezifische Widerstände, Leitungsfähigkeiten, Widerstandszunahmen und Temperaturkoeffizienten einer Reihe von Leitern. Die Temperatur ist stets in 0° Celsius angenommen. Zur Erklärung der einzelnen Kolonnen der Tabellen wollen wir voraussetzen, dass eine Messung eines Kupferdrahtes von 1 mm und 1 mm² bei 0° C. einen Widerstand von 0.016 Ohm und bei 15° C. einen Widerstand von 0.0174332 Ohm ergeben habe. Auf dieses Kupfer sind die nachstehenden Erläuterungen zunächst bezogen.

Zur Kolonne 1 der ersten und zweiten Tabelle. Widerstandskoeffizient bei 0° in Mikrohmmcm. Nach Annahme ist der Widerstand von 1 m bei 1 mm² bei 0° = 0.0164 Ohm.

Ein Würfel aus Kupfer von 1 cm³ (1 Ohmcm) muss demnach (§. 33) den Widerstand $w = \frac{cl}{g} = \frac{0.0164 \cdot 0.01}{100} = 0.00000164 \text{ Ohmcm} = 1.64 \text{ Mikrohmmcm}$ haben. Die Zahl 1.64 steht deshalb in der ersten Kolonne bei dem Kupfer der ersten Tabelle. Aus dem Widerstande von 1 m und 1 m² eines Leiters bei 0° erhält man demnach die Mikrohmmcm, indem man den Decimalpunkt um zwei Stellen weiter nach rechts rückt.

Zur Kolonne 2 der ersten und zweiten Tabelle. Leitungsfähigkeit bei 0° C. in Megamhocm. Nach dem obigen beträgt der Widerstand von 1 m und 1 mm² bei 0° 0.00000164 Ohmcm. Der spezifische Widerstand hat demnach den Wert $\frac{1}{0.00000164} = 609700 \text{ Mhocm} = 0.6097 \text{ Megamhocm}$ und erreicht deshalb den für Kupfer in der zweiten Kolonne angegebenen Wert. Wir können die letzte Gleichung auch so schreiben:

$$\frac{1}{0.00000164} \cdot 10^6 = \frac{1}{1.64} \text{ Megamhocm, d. h.:}$$

Man findet die Megamhocm der zweiten Kolonnen dieser Tabellen, indem man die reciproken Werte der Mikrohmmcm der ersten Kolonne bildet.

Zur Kolonne 3 der ersten und zweiten Tabelle. Widerstände von 1 m bei 1 mm² bei 0° in S. E. Bekanntlich (§. 33) ist

$$1 \text{ Ohm} = 1.063 \text{ S. E.}$$

Der Widerstand von 1 m und 1 mm² bei 0° = 0.0164 Ohm nach Annahme. 0.0164 Ohm sind deshalb gleich

¹⁾ Die Zahlen der ersten und vierten Kolonne der dritten und vierten Tabelle wurden zum größten Theil aus Leo Grunmach „Lehrbuch der magnetischen und elektrischen Maßeinheiten, Messmethoden und Messapparate“ aufgenommen. Sämmtliche Angaben über Kruppin, Manganin, Nickelkupfer (Konstantan), Rheotan und Siliciumbronze sind eigener Bestimmung des Verfassers. Die weiteren Zahlen wurden von demselben berechnet.

$0.0164 \times 1.063 = 0.0174332$ S. E., entsprechend der Zahl für Kupfer in der dritten Kolonne der ersten Tabelle.

Zur Kolonne 4 der ersten und zweiten Tabelle. Leitungsfähigkeit 0° , bezogen auf *Hg* (Quecksilber) 0° . Ein Kupferleiter hat dann die Leitungsfähigkeit 57.4, bezogen auf *Hg*, wenn die betreffende Kupfersorte bei 0° C 57.4mal besser leitet als Quecksilber von gleichen Abmessungen und gleicher Temperatur. Ein Quecksilber-Prisma von 1 *m* und 1 *mm*² hat bei 0° C 1 S. E. (§. 33). ein Kupferdraht dagegen von 1 *m* und 1 *mm*² besitzt bei 0° C einen Widerstand von 0.0174332 S. E. Das Kupfer leitet demnach $\frac{1}{0.0174322} = 57.4$ mal besser als das Quecksilber. 57.4 ist der Wert für Kupfer in der vierten Kolonne und zugleich der reciproke Wert jenes der dritten Kolonne.

Zur Kolonne 1 der dritten und vierten Tabelle. Widerstand von 1 *m* bei 1 *mm*² 0° in Ohm. Dieser Widerstand beträgt nach Annahme 0.0164 Ohm.

Zur Kolonne 2 der dritten und vierten Tabelle. Leitungsfähigkeit, bezogen auf Ohm bei $0^\circ = \frac{1}{0.0164} = 60.9$.

Zur Kolonne 3 der dritten und vierten Tabelle. Widerstand von 1 *m* bei 1 *mm*² 15° C in Ohm. Dieser Widerstand beträgt nach Annahme 0.0174332 Ohm, sowie es auch die dritte Kolonne angibt.

Zur Kolonne 4 der dritten und vierten Tabelle. Leitungsfähigkeit, bezogen auf Ohm 15° C. Nach dem Begriffe der Leitungsfähigkeit ist diese Leitungsfähigkeit $= \frac{1}{0.0174322} = 57.4$, das ist der in der dritten Tabelle enthaltene Wert.

Zur Kolonne 1 der fünften und sechsten Tabelle. Widerstandszunahme in % für 1° C.

Der Widerstand von 1 *m* 1 *mm*² $0^\circ = W_0 = 0.0164$ Ohm (Kolonne 1 der dritten Tabelle).

Der Widerstand von 1 *m* 1 *mm*² $15^\circ = w_{15} = 0.0174332$ (Kolonne 3 der dritten Tabelle).

Die Differenz der Widerstände für 15° C $= 0.010332$.

" " " " " 1° C $= \frac{0.010332}{15} = 0.000688$.

1% von 0.0164 Ohm $= 0.000164$ Ohm.

Demnach sind

$0.0000688 : 0.000164 = 0.420\% = p\%$, d. i. der in der Tabelle fünft Kolonne 1 wiedergegebene Wert. Wir erhalten demnach für die Widerstandszunahme in $\%$ für 1°C die Formel: $p = \frac{100}{15} \left(\frac{w_{15}}{w_0} - 1 \right)$.

Zur Kolonne 2 der fünften und sechsten Tabelle. α aus der Formel $w_t = w_0 (1 + \alpha t)$. Für den Zusammenhang zwischen Widerstand und Temperatur gilt die allgemeine Formel:

$$w_t = w_0 (1 + \alpha t + \beta t^2).$$

Innerhalb mäßiger Temperatursunterschiede (0° bis 30°) rechnet man für praktische Zwecke mit der Formel:

$$w_t = w_0 (1 + \alpha t), \text{ worin}$$

w_t = Widerstand bei t° , w_0 = Widerstand bei 0° und α = Temperaturskoeffizient = Widerstandsänderung bei Änderung der Temperatur um 1°C ; der letztere ist für die meisten Metalle rund 0.003824 und für Kohle, Thermotan und einige Mangan- und Nickelkupfer-Legierungen negativ. Damit erscheint auch die Thatsache begründet, dass der Widerstand einer Glühlampe im heißen Zustande kleiner ist als im kalten, während bei fast sämtlichen Metallen und Legierungen der Widerstand mit der Temperatur zunimmt. Aus der obigen Formel folgt:

$$\alpha = \frac{\frac{w_t}{w_0} - 1}{t} = \frac{\frac{0.0174332}{0.0164} - 1}{15} = 0.0042,$$

die Zahl der zweiten Kolonne der fünften Tabelle.

Untersuchungen der physikalisch-technischen Reichsanstalt in Charlottenburg: Legierungen aus Kupfer und Nickel oder Kupfer und Mangan besitzen die größte Beständigkeit und die geringsten Temperaturskoeffizienten; das zinkhaltige Neusilber und Nickelin haben die obigen Eigenschaften nicht. Für die Widerstandsveränderung des Quecksilbers gilt die genaue Formel:

$$w_t = w_0 (1 + 0.0008827 t + 0.00000126 t^2).$$

Widerstände von Manganelierungen der Isabellenhütte bei Dillenburg:

1. Mangankupfer: 12% (12.3 Mn , 87.4 Cu);
 $w = 43 [1 - 0.00000049 (t - 36^\circ)^2]$ Mikrohmm.
 $w_t = w_0 [1 + 0.00002 t - 0.0000006 t^2]$ Mikrohmm.
2. Mangankupfer: 30% (30 Mn , 68.6 Cu);
 $w = 107 [1 - 0.00000059 (t - 70^\circ)^2]$ Mikrohmm.
3. Nickelmangankupfer (Manganin): (4 Ni , 12 Mn , 84 Cu);
 $w = 47 [1 - 0.00000053 (t - 16^\circ)^2]$ Mikrohmm.
 $w_t = w_0 (1 + 0.000015 t - 0.0000009 t^2).$

4. Nickelkupfer (Konstantan): Basse & Selve (60 Cu, 40 Ni)

$$w_t = w_0 (1 + 0.000025 t).$$

Bemerkung zu den Tabellen: In den Tabellen 1 bis 4 sind die Zahlen der zweiten und vierten Kolonnen die reciproken Werte der Zahlen der ersten und zweiten Kolonnen. Aus der ersten Tabelle ist es ersichtlich, dass der Widerstand des käuflichen Kupfers bei $0^\circ\text{C} = 0.0174332 \text{ SE}$; aus der zweiten Tabelle folgt, dass der Widerstand dieses Kupfers bei $15^\circ\text{C} = 0.0174332 \text{ Ohm}$. Diese beiden Zahlen sind einander gleich¹⁾. Wie ich aus den Tabellen ersehe, gilt die Regel für alle reinen Metalle und für die zugehörigen Leitungsfähigkeiten mit großer Annäherung; für deren Temperaturskoeffizienten fand Clausius den Wert 0.0038. Für praktische Zwecke genügt demnach bei den reinen Metallen eine einzige Messung bei rund 15°C zur Berechnung sämtlicher Kolonnen der Tabellen 1 bis 6. Aus dem Widerstande bei 15° kann man bei den reinen Metallen den Widerstand auf zwei Wegen finden:

1. Man rechnet den Widerstand w_0 aus der Formel:

$$w_0 = \frac{wt}{1 + \alpha t}.$$

2. Da der Widerstand bei 15°C gleich ist den SE bei 0°C und $1 \text{ SE} = 0.94073 \text{ Ohm}$, so muss $w_0 = 0.94073 \cdot w_{15}$ sein.

113. Kapazität. In der Wärmelehre nennt man kalorische Kapazität jene Wärmemenge, welche erforderlich ist, um die Temperatur eines Körpers um 1°C zu erhöhen; ähnlich nennt man elektrische Kapazität jene Elektrizitätsmenge, mit welcher ein Leiter geladen wird, wenn sein Potential um die Einheit steigt.

$$\text{Kapazität} = \frac{\text{Coulomb}}{\text{Volt}} \quad (\S 37, \text{S. 25}).$$

Daraus ergibt sich mit Bezug auf die Dimensionen von Coulomb (§ 109) und Volt (§ 110):

Dimension der Kapazität = $\frac{L^{1/2} M^{1/2}}{L^{3/2} M^{1/2} T^{-2}} = L^{-1} T^2$ oder im CGS-System:

$$\text{Kapazitätseinheit} = C^{-1} S^2.$$

Die praktische Einheit der Kapazität ist das Farad.

$$1 \text{ Farad} = 10^{-9} C^{-1} S^2 = 1 \text{ F und}$$

$$1 \text{ Mikrofarad} = 10^{-15} C^{-1} S^2 = 1 \text{ Mf.}$$

Ein Kondensator²⁾ aus Zinnfolie und paraffiniertem Papiere hat bei ungefähr 1.5 m^2 Belegfläche und etwa 0.1 mm Dicke des paraffinierten Papiere 1 Mikrofarad Kapazität.

¹⁾ Carl Hochenegg, Zeitschrift für Elektrotechnik, 1887, S. 13.

²⁾ Dr. von Waltenhofen „Die internationalen absoluten Maße“ S. 44.

Tabelle.

M a ß e	Absolute und praktische Einheiten	Verhältnis zur absoluten CGS-Einheit	Dimension	Zeichen
Fläche	Absolute Einheit	1	C^2	cm^2
Rauminhalt	Absolute Einheit	1	C^3	cm^3
Geschwindigkeit	Absolute Einheit	1	CS^{-1}	v
Beschleunigung	Absolute Einheit	1	CS^{-2}	g
Kraft	1 Dyn	1	CGS^{-2}	p
Arbeit	1 Erg	1	C^2GS^{-2}	ps
Effekt	1 Sekundenenerg	1	C^2GS^{-3}	$\frac{ps}{t}$
—	1 Sekundenmeterkilogramm	981.10 ⁵	C^2GS^{-3}	mkg
—	1 PS (deutsch)	736.10 ⁷	C^2GS^{-3}	PS
—	1 HP (englisch)	746.10 ⁷	C^2GS^{-3}	HP
Wärmeäquivalent	Absolute Einheit	1	C^2S^{-2}	E
Polstärke	Absolute Einheit	1	$C^{1/2}G^{1/2}S^{-1}$	μ
Stromstärke	Absolute Einheit	1	$C^{1/2}G^{1/2}S^{-1}$	
—	1 Megampère	10 ⁶	$C^{1/2}G^{1/2}S^{-1}$	
—	1 Ampère	10 ⁻¹	$C^{1/2}G^{1/2}S^{-1}$	A
—	1 Mikroampère	10 ⁻⁷	$C^{1/2}G^{1/2}S^{-1}$	
Elektritätsmenge	Absolute Einheit	1	$C^{1/2}G^{1/2}$	
—	1 Megacoulomb	10 ⁶	$C^{1/2}G^{1/2}$	
—	1 Coulomb	10 ⁻¹	$C^{1/2}G^{1/2}$	Cb
—	1 Mikrocoulomb	10 ⁻⁷	$C^{1/2}G^{1/2}$	
Elektromotorische Kraft	Absolute Einheit	1	$C^{3/2}G^{1/2}S^{-2}$	
—	1 Megavolt	10 ¹⁴	$C^{3/2}G^{1/2}S^{-2}$	
—	1 Volt	10 ⁹	$C^{3/2}G^{1/2}S^{-2}$	V
—	1 Mikrovolt	10 ³	$C^{3/2}G^{1/2}S^{-2}$	
Induktionskoeffizient	1 Henry	10 ⁹	C	$M u. L$
Widerstand	Absolute Einheit	1	CS^{-1}	
—	1 Megohm	10 ¹⁵	CS^{-1}	
—	1 Ohm	10 ⁹	CS^{-1}	Ω
—	1 Mikroohm	10 ³	CS^{-1}	
Kapazität	Absolute Einheit	1	$C^{-1}S^2$	
—	1 Megafarad	10 ⁻³	$C^{-1}S^2$	
—	1 Farad	10 ⁻⁹	$C^{-1}S^2$	Φ
—	1 Mikrofarad	10 ⁻¹⁵	$C^{-1}S^2$	
Elektrische Arbeit	Absolute Einheit	1	C^2GS^{-2}	
—	1 Joule	10 ⁷	C^2GS^{-2}	VCb
Elektrischer Effekt	Absolute Einheit	1	C^2GS^{-3}	
—	1 Watt	10 ⁷	C^2GS^{-3}	VA

Symbole der physikalischen Quantitäten und abgekürzte Bezeichnungen für die Einheiten. Empfohlen von der Kommission für die Benennungen aus der Kammer der Delegierten des internationalen Congresses der Elektrotechniker von 1893 in Chicago. ¹⁾

Physikalische Quantitäten	Symbol	Definitions-Gleichung	Dimension der physikalischen Quantitäten	Namen der CGS-Einheiten	Abkürzungen für die CGS-Einheiten	Praktische Einheiten	Abkürzungen für die prakt. Einheiten
Fundamentale.							
Länge	L, l	—	L	Centimeter	cm	Meter	m
Masse	M	—	M	Grammasse	g	Kilogramm-masse	kg
Zeit	T, t	—	T	Sekunde	s	Minute, Stunde	$m; h$
Geometrische.							
Fläche	S, s	$S = LL$	L^2	Quadratcentimeter	cm^2	Quadratmeter	m^2
Volumen	V	$V = L.L.L$	L^3	Cubikcentimeter	cm^3	Cubikmeter	m^3
Winkel	α, β	$\alpha = \frac{\text{Bogen}}{\text{Radius}}$	eine Zahl	Radian		Grad, Minute, Sekunde, Meridiangrad	
Mechanische.							
Geschwindigkeit	v	$v = \frac{L}{T}$	LT^{-1}	Centimeter i. d. Sek.	cm/s	Meter i. d. Sek.	m/s
Winkelgeschwindigkeit	ω	$\omega = \frac{v}{L}$	T^{-1}	Radian i. d. Sek.		Touren i. d. Min.	t/m
Beschleunigung	a	$a = \frac{v}{T}$	LT^{-2}	Cm. i. d. Sek. i. d. Sek.	cm/s^2	Meter i. d. S. i. d. S.	m/s^2
Kraft	F	$F = M.A$	LMT^{-2}	Dyne	dyne	Gramm; Kilgr.	$g^*; kg^*$
Arbeit	W	$W = F.L$	L^2MT^{-2}	Erg	erg	Meterkilogr.	kgm
Effekt (Leistung)	P	$P = W/T$	L^2MT^{-3}	Erg i. d. S.	erg/s	Sekundenmeterkilogr.	kgm/s
Druck	p	$p = F/S$	$L^{-1}MT^{-2}$	Dyne auf das cm^2	dyne/cm ²	Kg. auf das cm^2	kg/cm^2
Trägheits-Moment	K	$K = M.L^2$	L^2M	Grammasse — cm^2	$g-cm^2$		
Magnetische.							
Polstärke	m	$F = m^2/L^2$	$L^{3/2}M^{1/2}T^{-1}$	Die magnetischen und elektromagnetischen CGS-Einheiten haben keinen besonderen Namen erhalten. Man bezeichnet sie, indem man der Formel die Benennung: CGS-Einheiten hinzufügt.			
Magn.Moment	\mathfrak{M}	$\mathfrak{M} = m.l$	$L^{5/2}M^{1/2}T^{-1}$				
Mag. Intensität	\mathfrak{S}	$\mathfrak{S} = \mathfrak{M}/V$	$L^{-1/2}M^{1/2}T^{-1}$				
Feldintensität	\mathfrak{H}	$\mathfrak{H} = F/m$	$L^{-1/2}M^{1/2}T^{-1}$				
Mag. Kraftfluss	Φ	$\Phi = H.S$	$L^{3/2}M^{1/2}T^{-1}$				
Magnetische Induktion	\mathfrak{B}	$\mathfrak{B} = \mu \mathfrak{H}$	$L^{-1/2}M^{1/2}T^{-1}$				

¹⁾ Elektrotechnische Rundschau, 1894, S. 27.

Physikalische Quantitäten	Symbol	Definitions-Gleichung	Dimension der physikalischen Quantitäten	Namen der C G S Einheiten	Abkürzungen für die C G S Einheiten	Praktische Einheiten	Abkürzungen für die prakt. Einheiten
Magnetische.							
Magn. Permeabilität	μ	$\mu = \mathfrak{B}/\mathfrak{H}$	eine Zahl	Die magnetischen und elektromagnetischen C G S Einheiten haben keinen besonderen Namen erhalten. Man bezeichnet sie, indem man der Formel die Benennung: C G S Einheiten hinzufügt.	Keine Abkürzungen	Keine besonderen praktischen Abkürzungen	Keine Abkürzungen
Magn. Aufnahmefähigkeit	x	$x = \mathfrak{B}/\mathfrak{H}$	eine Zahl				
Magn. Reluktivität	ν	$\nu = \frac{1}{\mu}$	eine Zahl				
Magn. Widerstand	R	$R = \gamma \frac{L}{S}$	L^{-1}				
Elektromagnetische.							
Widerstand	R, r	$R = E/J$	LT^{-1}			Ohm	ohm
Leitungsfähigkeit	G	$G = I/R$	$L^{-1}T$			Mho	mho
Elektromotorische Kraft	E, e	$E = R \cdot J$	$L^{3/2}M^{1/2}T^{-2}$			Volt	v
Potentialdifferenz	U, u	$U = R \cdot J$	—			—	—
Stromintensität	I, i	$J = E/R$	$L^{1/2}M^{1/2}T^{-1}$			Ampère	a
Elektricitätsmenge	Q, q	$Q = J \cdot T$	$L^{1/2}M^{1/2}$			Coulomb; Ampèrestunde	e; A—h
Kapazität	C, c	$C = Q/E$	$L^{-1}T^2$			Farad	F
Elektrische Arbeit	W	$W = E \cdot J \cdot T$	L^2MT^{-2}			Joule; Wattstunde	J; W—h
Elektrischer Effekt	P	$P = E \cdot J$	L^2MT^{-1}			Watt; Kilowatt	w; kw
Specifischer Widerstand	ρ	$\rho = R/SL$	L^2T^{-1}			Ohm-Centimeter	ohm-cm
Specifische Leitungsfähigkeit	γ	$\gamma = I/\rho$	$L^{-2}T$			—	—
Induktionskoeffizient	L, l	$L = \Phi/I$	L			Henry	—
Magnetisierende Kraft	\mathfrak{H}	$\mathfrak{H} = 4\pi NI/L$	$L^{-1}M^{1/2}T^{-1}$			—	—
Magnetomotorische Kraft	\mathfrak{F}	$\mathfrak{F} = 4\pi NI$	$L^{3/2}M^{1/2}T^{-1}$			Ampère-Tour	A—t

II. Abschnitt.

Wechselströme.

I. Kapitel.

Allgemeines.

116. Methoden. Die Wechselstromprobleme werden sowohl nach der analytischen Methode (Rechnung) als auch nach der graphischen Methode (Zeichnung) gelöst. In dieser Arbeit wird vorwiegend der letztere Weg betreten. Analytisch soll z. B. die Gleichung der Wellenlinie des Näheren Erläuterung finden, weil diese Gleichung wesentlich zum Verständnisse der Wechselströme beiträgt. Die zumeist angewendeten graphischen Methoden sind die folgenden:

1. Polarkoordinatensystem (Polardiagramm) mit der Zeit als Winkel oder Amplitude, augenblicklichen Werten der Funktionen als Radienvektoren, ohne Anwendung von trigonometrischen Funktionen mit Zuhilfenahme von komplexen Größen. ¹⁾
2. Polardiagramm (Zeuner-Diagramm der Schiebersteuerung) mit einem²⁾ und mit zwei Kreisen.
3. Vektordiagramm nach Thomas H. Blakesley, Frederick Bedell, C. Crehore u. A.
4. Wellendiagramm.

Hier sollen nur die letzten drei graphischen Darstellungen Verwendung finden. Die ersten drei Methoden stimmen wesentlich miteinander überein.

117. Das einfache Sinusgesetz.

In Fig. 98 ist die Anordnung einer Dynamomaschine angedeutet.

¹⁾ Chas. Proteus Steinmetz. Elektrot. Zeitschrift, 1893, S. 597, 613, 641, 653 ff.

²⁾ Chas. Proteus Steinmetz. Elektrot. Zeitschrift, 1890, S. 185 u. 189, S. 394 ff.
A. Blondel. La lumière électrique, 1892, S. 351.

Gisbert Kapp. Elektrische Wechselströme, 1894 u. 1897.

Der Induktor wurde, der Einfachheit der Darstellung halber, nur mit 4 Windungen, beziehungsweise Spulen *I*, *II*, *III* und *IV* versehen.

Der Verlauf der inducierten elektromotorischen Kraft in den einzelnen Lagen einer solchen Windung während einer Umdrehung derselben ist der folgende:

1. In der Stellung *I* (Neutrale Zone) hat die *E. M. K.* (Elektromotorische Kraft) den Wert 0, entsprechend dem Punkte a_1 , Fig. 99.

2. In den zwischen *I* und *II* gelegenen Stellungen wächst die *E. M. K.* von 0 bis auf ihren größten Wert.

3. In der Stellung *II* erreicht die *E. M. K.* den größten Wert $e_1 e = +a$, Fig. 99.

4. In den Stellungen zwischen *II* und *III* sinkt die *E. M. K.* von ihrem größten Wert bis auf den Wert 0.

5. In der Stellung *III* ist der Wert der *E. M. K.* gleich 0 und wechselt seine Richtung in f_1 , Fig. 99.

6. In den Stellungen zwischen *III* und *IV* steigt die *E. M. K.* von 0 auf ihren größten Wert.

7. In der Stellung *IV* erlangt die *E. M. K.* ihren größten Wert $g_1 \frac{3\pi}{2} = -a$, Fig. 99.

8. In den Stellungen zwischen *IV* und *I* sinkt die *E. M. K.* von ihrem größten Wert auf den Wert 0.

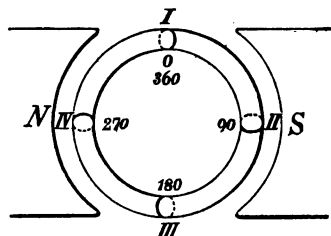


Fig. 98. Induktor zwischen den Polen N u. S.

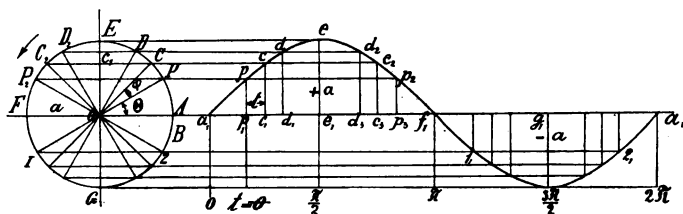


Fig. 99. Konstruktion der Sinuslinie.

9. In der Stellung *I* ist die *E. M. K.* wieder gleich 0 und wechselt seine Richtung in a_1 , Fig. 99.

Tragen wir demnach, Fig. 99, diese einzelnen Werte der inducierten *E. M. K.* als Ordinaten auf einer ebenso wie den Umfang des Ankers in 360° in 360 Theile getheilt gedachten Geraden, der Abscissenaxe, auf und verbinden die Endpunkte derselben durch eine krumme Linie (Kurve),

so gibt dieses Bild den Verlauf der Induktion in einer Spule in den verschiedenen Lagen einer Windung während einer Umdrehung in einer Zeichnung (graphisch) wieder. Eine solche krumme Linie heißt man eine Wellenlinie (Sinuslinie, Sinuskurve, Sinusfunktion, periodische oder harmonische Funktion).

Die verschiedenen $+$ (oberhalb der Geraden gelegenen) und $-$ (unterhalb der Geraden gelegenen) Werte von 0° bis 360° , Fig. 99, umfassen eine Periode des Wechselstromes. Eine Periode ist gleich 2 Stromwechseln. Die Anzahl der Stromwechsel in den Induktorwindungen ist gleich der Anzahl der Polwechsel (dem Cyklus) im Induktor-eisen. Die Anzahl der Perioden in der Sekunde heißt die Frequenz. Unter Phase der *E. M. K.* (beziehungsweise Stromstärke) versteht man die Richtung ($+$ oder $-$), die Geschwindigkeit und die Größe derselben an irgend einer Stelle ihres Verlaufes. Die Zeit, die bis zum Eintritte einer gewissen Phase verfließt, heißt Phasenzeit. Die Verzögerung einer Strom- oder einer Spannungswelle gegen eine andere oder von Strom- oder Spannungswellen gegeneinander bezeichnet man als Phasendifferenz (Phasenverschiebung). Wechselströme, welche gleiche Wechselzahl und Wellenlänge haben, nennt man Wechselströme von gleichem Rhythmus; solche Ströme werden z. B. in den sekundären Windungen eines Transformators induciert. Die Amplitude der Schwingungen ist der größte Wert der Spannung (beziehungsweise Stromstärke) innerhalb einer halben Periode.

In der Algebra und Analysis der Vektoren versteht man unter Vektor eine Größe, welcher eine Richtung im Raume zukommt. Vektoren sind z. B.: Kräfte, Geschwindigkeiten, Beschleunigungen. Größen, welchen keine Richtung im Raume zukommt, heißen Skalaren; solche Größen sind: Temperatur, Masse, Widerstand, Energie. Die Vektoren lassen sich durch Strecken, die Skalaren durch Zahlen darstellen. Zur Ausmessung der Strecken bedient man sich des Maßstabes. Die einzelnen Punkte der Sinuslinie entsprechen den verschiedenen Sinuswerten (39, S. 26) in einem Kreise, dessen Radius gleich der Amplitude der Sinuslinie ist. Daher sind die einzelnen elektromotorischen Kräfte, beziehungsweise Stromstärken dem Sinus des Winkels proportional, welchen die betreffende Spule mit der Nullstellung derselben (Stellung *I*) einnimmt, d. h.:

$$E = a. \sin \theta.$$

Der Winkel θ stellt demnach in dieser Formel den Weg vor, welchen die betreffende Spule zurückgelegt hat. Die letzte Gleichung gilt für jeden Punkt der Wellenlinie, Fig. 99, also beispielsweise auch für den Punkt *p* derselben. Denken wir uns *p p*₁ parallel verschoben,

bis p mit P zusammenfällt, dann entsteht ein rechtwinkeliges Dreieck $O p p_1$, so dass $\frac{p p_1}{O P} = \sin \theta$ oder $p p_1 = O P \cdot \sin \theta$ und für $O P = a$ und $p p_1 = E$ gesetzt, erhalten wir die allgemeine Form der Sinusgleichung: $E = a \cdot \sin \theta$, wie oben.

Es sei hervorgehoben, dass der Verlauf der elektromotorischen Kraft bzw. Stromstärke nicht ein rein periodischer (harmonischer) ist, welcher dem Gesetze der einfachen Schwingungen, dem Sinusgesetze folgt. Dieser Verlauf trifft nach Joubert für die Wechselstrommaschinen nach S. & H., welche im Anker kein Eisen besitzen, beiläufig zu, wird bei der Behandlung der Wechselstromprobleme als zulässig erklärt, und führt zu praktisch brauchbaren Resultaten. Thatsächlich weichen die Spannungs- und Stromkurven, sowie die Kurven für das harmonische magnetische Feld, bedeutend von der Form der Sinuslinie ab.

Wir bezeichnen in der Folge mit T die Zeitdauer einer Periode, mit $\frac{T}{2}$ die Wechselzeit. In dem zunächst Folgenden wählen wir A , Fig. 99, als Anfangspunkt der Zeit t , während in dieser Figur thatsächlich P als Anfangspunkt der Zeit angenommen wurde.

In der Zeit $t = T$ wird jede Spule den Weg 2π zurücklegen.

n	n	n	$t = \frac{T}{2}$	n	n	n	n	n	π	n
n	n	n	$t = \frac{T}{4}$	n	n	n	n	n	$\frac{\pi}{2}$	n
n	n	n	$t = 0$	n	n	n	n	n	0	n
n	n	n	$t = t$	n	n	n	n	n	θ	n

$\theta = \frac{2\pi t}{T}$, denn führen wir in $\theta = \frac{2\pi t}{T}$ die einzelnen Werte

$t = T$, $t = \frac{T}{2}$, $t = \frac{T}{4}$, $t = 0$, $t = t$ ein, so erhalten wir

$$\theta = \frac{2\pi T}{T} = 2\pi, \quad \theta = \frac{2\pi \frac{T}{2}}{T} = \pi, \quad \theta = \frac{2\pi \frac{T}{4}}{T} = \frac{\pi}{2}, \quad \theta = \frac{2\pi 0}{T} = 0, \quad \theta = \frac{2\pi t}{T}.$$

Setzen wir diesen Wert für θ in die obige Gleichung

$$E = a \cdot \sin \theta$$

ein, so übergeht dieselbe in die folgende:

$$E = a \cdot \sin \frac{2\pi t}{T}.$$

Die elektromotorischen Kräfte bzw. Stromstärken in den verschiedenen Stellungen der Spulen müssen dieser Gleichung Genüge leisten

$$\text{Für } t = 0 \text{ ist } E = a \cdot \sin 0 = 0.$$

$$, \quad t = \frac{T}{2} \quad , \quad E = a \cdot \sin \pi = 0.$$

$$, \quad t = T \quad , \quad E = a \cdot \sin 2\pi = 0.$$

$$, \quad t = \frac{3T}{2} \quad , \quad E = a \cdot \sin 3\pi = 0.$$

.....

$$, \quad t = \frac{T}{4} \text{ ist } E = a \cdot \sin \frac{\pi}{2} = a.$$

$$, \quad t = \frac{3T}{4} \quad , \quad E = a \cdot \sin \frac{3\pi}{2} = -a.$$

$$, \quad t = \frac{5T}{4} \quad , \quad E = a \cdot \sin \frac{5\pi}{2} = a \cdot \sin 450^\circ = a.$$

Die elektromotorische Kraft bzw. Stromstärke erreicht demnach für den Wert a ihren größten Wert (Maximum), denn für $E = a$ muss in der Formel $E = a \cdot \sin \frac{2\pi t}{T}$, $\sin \frac{2\pi t}{T} = 1$ sein und 1 ist der größte Wert, welchen ein Sinus erreichen kann.

In der Gleichung $E = a \cdot \sin \frac{2\pi t}{T}$ bedeutet t die Zeitdauer der ganzen Bewegung und $\frac{t}{T}$ die Anzahl der Perioden. Wenn der Vektor \overline{OA} , Fig. 99, einen Kreis beschreibt (eine Umdrehung um O als Drehpunkt ausführt), so legt er den Weg $2\pi r$ zurück. Wir können r jeden beliebigen Wert beilegen. Setzen wir $r = 1$, so ist der Weg $2\pi r = 2\pi$. Während der Vektor \overline{OA} eine Umdrehung vollführt, hat der Wechselstrom eine Periode zurückgelegt. Der in einer Sekunde von dem Vektor zurückgelegte Weg muss demnach $\frac{2\pi}{T}$ sein; den Weg aber, welchen ein Punkt am Halbmesser 1 bei einer gleichförmigen Bewegung in 1 Sekunde zurückgelegt, nennt man Winkelgeschwindigkeit (87) und bezeichnet dieselbe mit dem Buchstaben ω , d. h.:

$$\omega = \frac{2\pi}{T}.$$

Da T die Zeitdauer einer Periode bedeutet, werden in 1 Sekunde $\frac{1}{T}$ Perioden der harmonischen Funktion oder Umdrehungen des Vektors erfolgen. Wir wollen $\frac{1}{T}$ mit n bezeichnen. Bei einer zweipoligen

Dynamo entsprechen n -Umdrehungen in der Sekunde n -Perioden, bei einer vierpoligen dagegen 2 n -Perioden. Für die zweipolige Dynamo ist daher $\omega = \frac{2\pi}{T} = 2\pi n$, für die vierpolige

$$\omega = \frac{2\pi}{T} = 2\pi \cdot 2n = 4\pi n.$$

Der Punkt C , Fig. 99, hat demnach am Umfange eine gleichförmige Geschwindigkeit und seine Projektion auf den senkrechten Durchmesser \overline{OE} , also C_1 bewegt sich harmonisch. Dasselbe gilt von der Projektion des Halbmessers \overline{OC} auf den durch O gezogenen senkrechten Durchmesser. Den Höchstwert dieser Projektion nennt man die Amplitude (Halbmesser des betreffenden Kreises). Die Projektion von \overline{OC} ist gleich \overline{OC}_1 .

Befindet sich \overline{OC} in der Lage \overline{OA} , dann ist die Projektion von \overline{OC} (jetzt \overline{OA}) auf den senkrechten Durchmesser $= 0$. Kommt \overline{OC} nach \overline{OE} , so ist die Projektion von \overline{OC} (jetzt \overline{OE}) auf den senkrechten Durchmesser $= \overline{OE}$. Diese Projektionen des Vektors \overline{OC} haben demnach in den Stellungen \overline{OA} und \overline{OF} den Wert 0, in der Stellung \overline{OE} den positiven und in der Stellung \overline{OG} den negativen Höchstwert (Maximalwert). Wir können demnach harmonisch sich verändernde Größen durch eine Gerade \overline{OA} , Fig. 99, und durch deren Drehungsrichtung (den Pfeil in derselben Figur) darstellen. Obige Projektionen nehmen nach einer bestimmten Zeit immer wieder dieselbe Größe an, man nennt sie deshalb periodische Größen und die Bewegungen periodische Bewegungen. Solche Bewegungen zeigen z. B. Himmelskörper, Wassertheilchen im Meere, Kreuzkopf einer Dampfmaschine, elektromotorische Kraft, Stromstärke und harmonische magnetische Felder.

Betrachten wir den Punkt A , Fig. 99, als den Anfangspunkt der Zeit und bezeichnen die Projektion von \overline{OP} auf \overline{EG} zu einer beliebigen Zeit mit y , so ist $y = a \sin \theta = a \sin \omega t$.

Nehmen wir P , Fig. 99, als Anfangspunkt der Zeit an, so nennt man θ den Epochenwinkel, die zur Zurücklegung dieses Winkels erforderliche Zeit $a_1 p_1$ Epoche und es gilt die Gleichung $y = a \sin (\varphi + \theta) = a \sin (\omega t + \theta)$, dann hat θ einen positiven Wert und heißt Vorsprungs- oder Vorauswinkel. Nimmt man dagegen B als Anfangspunkt der Zeit an, so heißt dieser Winkel θ Verzögerungswinkel. Mit P als Anfangspunkt der Zeit gelten daher die folgenden Bezeichnungen:

$\angle AOP = \theta =$ Epochenwinkel.

$a_1 p_1 =$ Epoche (Zeitabschnitt).

$OA = OE = a =$ Amplitude.

$\angle POC = \varphi = \omega t =$ In der Zeit t
zurückgelegter Winkel.

$\varphi + \theta =$ Phasenwinkel.

$t + a_1 p_1 =$ Phase.

$OP =$ Vektor.

$t =$ Zeit.

118. Summation zweier periodisch veränderlicher Größen von gleicher Periode und verschiedener Phase.

In Fig. 100 stellen \overline{OA} und \overline{OB} die Höchstwerte zweier periodisch veränderlicher Größen vor. Gerade so wie bei Kräften, Bewegungen u. s. w. kann man auch hier das Parallelogramm $OACB$ einzeichnen, so dass \overline{OC} die Resultierende der Größen \overline{OA} und \overline{OB} wiedergibt. Die Fig. 100 stellt demnach links ein Vektor-, rechts ein Wellendiagramm zweier periodisch veränderlicher Größen von gleicher Periode und verschiedener Phase dar. Zwei solche Größen sind in der Fig. 100

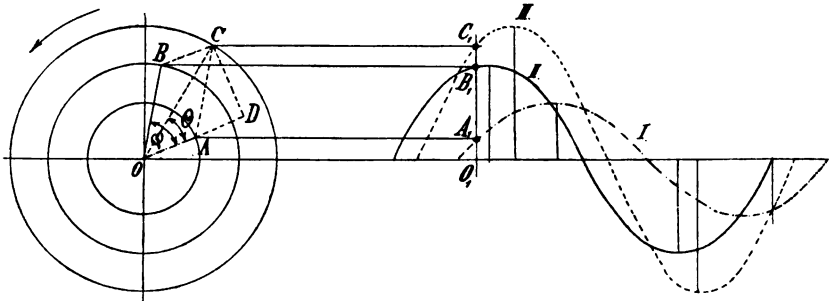


Fig. 100. Vektor- und Wellendiagramm zweier periodisch veränderlicher Größen von gleicher Periode und verschiedener Phase.

rechts durch die Kurven I und II gegeben; wir wollen es nachweisen, dass die Kurve III die Summe der Kurven I und II veranschaulicht. Errichtet man an irgend einer Stelle des Wellendiagrammes z. B. im Punkte O_1 eine Senkrechte, dann ist $\overline{O_1C_1} = \overline{O_1A_1} + \overline{O_1B_1}$ wobei $\overline{O_1A_1} = \overline{B_1C_1}$. Man kann diese Summation leicht mit Hilfe eines Zirkels oder eines Maßstabes ausführen. In Fig. 100 ist $\overline{O_1C_1} = 15.2 \text{ mm}$, $\overline{O_1B_1} = 12.5 \text{ mm}$, $\overline{O_1A_1} = \overline{B_1C_1} = 2.7 \text{ mm}$. Setzen wir diese Werte in die Gleichung $\overline{O_1C_1} = \overline{O_1A_1} + \overline{O_1B_1}$ ein, so erhalten wir $15.2 = 12.5 + 2.7$.

Anstatt mm können wir auch Ampère oder Volt einsetzen, indem wir z. B. 1 Ampère für eine Länge von 1 mm annehmen. Damit haben wir den Punkt C_1 der Summenkurve III bestimmt; auf dieselbe Art findet man sämtliche Punkte dieser Kurve. Das Vektordiagramm, linker Theil der Fig. 100, zeigt die folgenden Abmessungen:

Radius des innersten Kreises od. Amplitude der Linie $I = 7.5 \text{ mm.}$

„ „ mittleren „ „ „ „ „ $II = 12.7 \text{ „ .}$

„ „ äußersten „ „ „ „ „ $III = 17.6 \text{ „ .}$

Die Vektoren \overline{OA} und \overline{OB} ergeben demnach als Resultierende den Vektor $\overline{OC} = 17.6 \text{ mm.}$ Ebenso erhält man im Wellendiagramme, rechter Theil der Fig. 100, die Amplitude 17.6 mm als Amplitude der Summenkurve III . Dreht man das Parallelogramm $OACB$ um den Punkt O , so geben die Projektionen der Vektoren \overline{OA} , \overline{OB} und \overline{OC} auf den durch O gezogenen, senkrechten Durchmesser die Werte der veränderlichen Größen I , II und III zu den verschiedenen Zeiten der Bewegung an. Anstatt auf den senkrechten Durchmesser der concentrischen Kreise kann man die Vektoren \overline{OA} , \overline{OB} und \overline{OC} auch auf die senkrechte Gerade $O_1A_1B_1C_1$ projicieren und erhält dann

$\overline{O_1A_1}$ als Projektion von \overline{OA} , $\overline{O_1B_1}$ als Projektion von \overline{OB} und $\overline{O_1C_1}$ als Projektion von \overline{OC} . Nach dem Carnot'schen Satze (Projektionssatze)¹⁾ ist, Fig. 100,

$$\overline{OC} = \sqrt{\overline{OA}^2 + \overline{OB}^2 + 2 \overline{OA} \overline{OB} \cos \varphi};$$

aus derselben Figur folgt:

$$\operatorname{tg} \theta = \frac{\overline{CD}}{\overline{DO}} = \frac{\overline{OB} \sin \varphi}{\overline{OA} + \overline{OB} \cos \varphi}.$$

Aus diesen beiden Formeln kann man zunächst \overline{OB} u. θ berechnen.

119. Zusammensetzung mehrerer periodischer Größen von gleicher Periode und verschiedenen Phasen.

Sind mehr als 2 Vektoren (Komponenten) vorhanden, so erhält man die Resultierende ebenso wie bei Kräften durch Parallelogramme. Den Punkt, in welchem A , B , C und D zusammenstoßen, nennt man Ursprung. Um die Resultierende R zu finden, errichten wir zunächst über den Komponenten A und B ein Parallelogramm; so erhalten wir die erste Resultierende (in der Figur strichpunktirt). Setzen wir die erste Resultierende mit C zusammen, so ergibt sich die zweite Resultierende (in der Figur

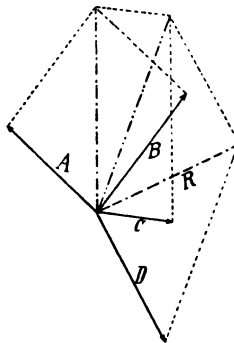


Fig. 101.

Summierung der periodischen Größen A , B , C u. D .

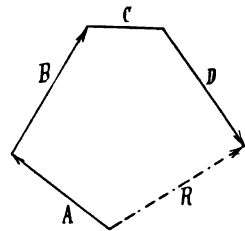


Fig. 102.

¹⁾ Das Quadrat einer Dreiecksseite wird gefunden, wenn man die beiden anderen Seiten addiert und um das doppelte Produkt dieser Seiten mit dem Cosinus des von ihnen gebildeten Außenwinkels vermehrt.

strichpunktirt). Zeichnen wir über der zweiten Resultierenden und über D das Parallelogramm, dann erhalten wir die dritte Resultierende, die Resultierende R des ganzen Systems.

Eine einfachere Konstruktion der Resultierenden R erscheint in Fig. 102 durchgeführt. Man trägt vom Ursprunge aus der Richtung nach parallel zu A , Fig. 101, die Strecke A , Fig. 102, von gleicher Länge auf, zieht vom Endpunkte der Strecke A , Fig. 102, eine Parallele zu B , Fig. 101, macht B , Fig. 102, so groß als B , Fig. 101, zieht vom Ende B , Fig. 102, eine Parallele zu C , Fig. 101, macht diese so groß als C , Fig. 101, und zieht schließlich von dem Ende von C , Fig. 102, eine Parallele D , Fig. 102, zu D , Fig. 101, und macht diese mit D , Fig. 101, gleich lang. Die Verbindungslinie des Ursprunges mit dem Endpunkte von D , Fig. 102, gibt die Resultierende R des Systems.

In der Fig. 102 ist $A = 26 \text{ mm}$, $B = 20 \text{ mm}$, $C = 10 \text{ mm}$, $D = 19 \text{ mm}$ und $R = 21 \text{ mm}$. Haben wir Stromkurven zusammenzusetzen, dann wählen wir für 1 Ampère 1 mm oder 1 cm oder eine beliebige andere Anzahl von mm oder cm , je nach der Größe der gewünschten Figur; dann erhalten wir die Resultierende in Ampère.

120. Verhältnis zwischen maximaler und mittlerer elektromotorischer Kraft.

Denkt man sich die Summe sämtlicher $E. M. K.$ innerhalb einer halben Periode, Fig. 99, durch eine mittlere elektromotorische Kraft $M(E)$ ersetzt, so kann man sich dieselbe als die Höhe eines über 0 und 180° bezeichneten Rechteckes darstellen. Setzt man diese Höhe gleich

$h = \frac{2a}{\pi}$, so wird man finden, dass die Fläche des Rechteckes gleich

ist der Fläche des von der Sinuslinie zwischen 0 und 180° und der Abscissenlinie begrenzten Fläche, d. h. die mittlere elektromotorische Kraft

$M(E) = \frac{2a}{\pi} = 0.636620 a$ und demnach ist die größte elektromotorische

Kraft $a = \frac{M(E)\pi}{2} = 1.57080 M(E)$. Oder kurz gesagt: Addiert man

sämtliche $E. M. K.$ innerhalb einer halben Periode und dividiert durch ihre Summe, so findet man $M(E) = 0.636620 a$.

121. Mittelwerte periodisch veränderlicher Größen (Blakesley).

Bei den Instrumenten, welche auf der Wärmewirkung beruhen, ist die Wärmewirkung (50), bei den Elektrodynamometern die abstoßend Kraft, dem Quadrate der Stromstärke proportional. Die Instrumente messen nicht die einzelnen Werte der Stromstärke, bezw. der elektromotorischen Kraft, sondern nur ihre Mittelwerte, die sogenannte effektive Stromstärke,

bezw. Spannung. Die Stromstärke z. B., welche man mit obigen Instrumenten bei Gleichstrom erhält, ist mit der effektiven Stromstärke bei Wechselstrom zu vergleichen. E sei die Maximalspannung, e ein augenblicklicher Wert der Spannung. Wir wollen die Gesamtwirkung der aufeinanderfolgenden augenblicklichen Spannungswerte z. B. auf das Elektrodynamometer bestimmen. Die einzelnen Spannungswerte sind die Projektionen der maximalen elektromotorischen Kraft E auf die Ordinatenachse. Fassen wir je 2 Projektionen (augenblickliche Werte) zusammen, welche um 90° auseinander befindlichen elektromotorischen Kräften entsprechen z. B. e und e' . Die rechtwinkligen Dreiecke $O E e$ und $O E' e'$ sind kongruent, weil die Hypothenusen und die Winkel $O E e$ und $E' O e'$ einander gleich sind; die Seiten der letzteren Winkel stehen aufeinander senkrecht.

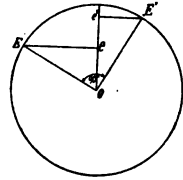


Fig. 103. Mittelwert periodisch veränderlicher Größen.

Daraus folgt sofort: $e^2 + e'^2 = E^2$

$$\frac{e^2 + e'^2}{2} = \frac{E^2}{2} \text{ oder } \sqrt{\frac{e^2 + e'^2}{2}} = \sqrt{\frac{E^2}{2}}, \text{ d. h.}$$

der Mittelwert der Quadrate der augenblicklichen Spannungen e und e' ist gleich dem halben Quadrate der Maximalspannung E . Die am Instrumente abgelesene Spannung oder Stromstärke nennt man effektiv.

$e_t = \frac{E}{\sqrt{2}}$, giltig für alle Instrumente, deren Wirkung von dem Quadrate der Spannung abhängt. Dasselbe gilt für Stromstärken.

$$i_t = \frac{J}{\sqrt{2}} = 0.7070 J.$$

122. Arbeit des Wechselstromes.

Um die effektive Arbeit des Wechselstromes zu bestimmen, greifen wir ähnlich wie in 121 zwei Arbeitswerte heraus, welche um $\frac{\pi}{2}$ oder 90° voneinander abstehen.

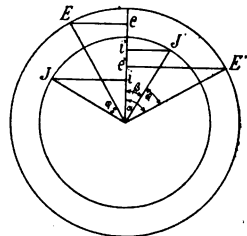


Fig. 104. Arbeit des Wechselstromes.

Die zugehörigen Stromstärken oder Spannungen haben gegeneinander die Phasenverschiebung φ . Je zwei solche zusammengehörige Vektoren geben als Mittelwert die effektive Arbeit des Wechselstromes an, d. h. $W = \frac{ei + e'i'}{2}$ = Mittelwert der Energie.

$$ei = EJ \sin \alpha \sin \beta.$$

$$e'i' = EJ \cos \alpha \cos \beta.$$

$$W = \frac{ei + e'i'}{2} = \frac{EJ \sin \alpha \sin \beta}{2} + \frac{EJ \cos \alpha \cos \beta}{2} \text{ oder}$$

$$W = \frac{EJ (\sin \alpha \sin \beta + \cos \alpha \cos \beta)}{2} = \frac{EJ \cos (\alpha - \beta)}{2} = \frac{EJ}{2} \cos \varphi,$$

und weil $e_t = \frac{E}{\sqrt{2}}$ und $i_t = \frac{J}{\sqrt{2}}$ (121), so ist

$$W = \frac{1}{2} e_t \sqrt{2} \cdot i_t \sqrt{2} \cos \varphi \text{ oder}$$

$W = e_t i_t \cos \varphi$, worin e_t und i_t die Ablesungen am Elektrodynamometer oder Hitzdrahtinstrumente bedeuten. $\cos \varphi$ nennt man Leistungsfaktor.

In Fig. 105 ist die Stromstärke i und die *E. M. K.* e gegeben; dieselben haben keine Phasenverschiebung gegeneinander. Man soll mit

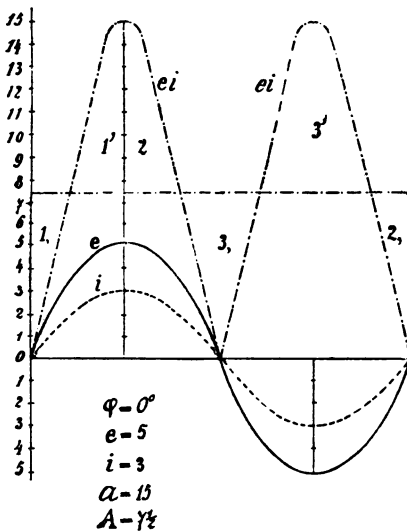


Fig. 105. Arbeit des Wechselstromes bei 0° Phasendifferenz.

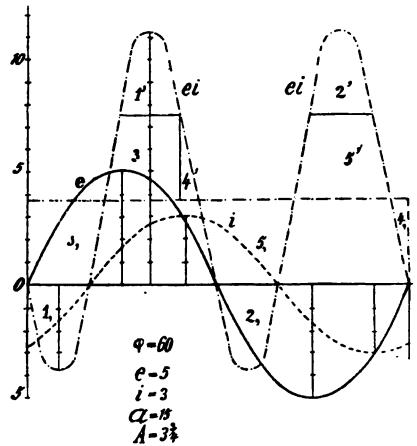


Fig. 106. Arbeit des Wechselstromes bei 60° Phasendifferenz.

Benützung der Angaben in derselben Figur die Arbeit dieses Wechselstromes durch ein Wellendiagramm bestimmen. Eine Einheit dieser Figur = 3 mm. Im Punkte 0 sind die Stromstärke und die Spannung = 0; es muß also auch ihr Produkt = 0 sein. Die maximale Stromstärke beträgt 3 Ampère, die maximale Spannung 5 Volt; daraus folgt als maximale Arbeit $3 \times 5 = 15$ Watt = 15 Einheiten = 45 mm. Zwischen dem Null- und Maximalwerte liegen alle übrigen Werte. Man findet dieselben ebenso wie zuvor den Maximalwert durch Multiplikation der senkrecht übereinander sich ergebenden Stromstärken und *E. M. K.* In dem Falle also, als keine Phasenverschiebung zwischen Strom und *E. M. K.* statt-

findet, ist die Arbeit des Wechselstromes dieselbe wie diejenige des Gleichstromes, da ja für $\varphi = 0$ die Formel $W = e_i i_t \cos \varphi$ in die Formel $W = e_i i_t$ übergeht. Die Arbeit des Wechselstromes ist durch die strichpunktierte Kurve und von der durch 0 gezogenen Abscisse umgrenzt. Aus der Figur ist es ersichtlich, dass die Flächen $1. = 1', 2. = 2', 3. = 3'$, so dass man die Fläche, welche von der Abscisse durch 0 und den strichpunktierten Kurven eingeschlossen erscheint, durch das Rechteck, welches die Abscissenaxe, die Ordinatenaxe und die 2 strichpunk-

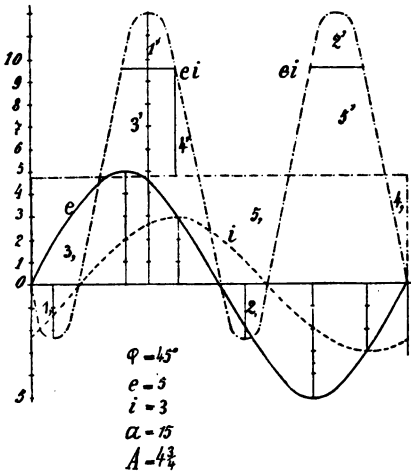


Fig. 107. Arbeit des Wechselstromes bei 45° Phasendifferenz.

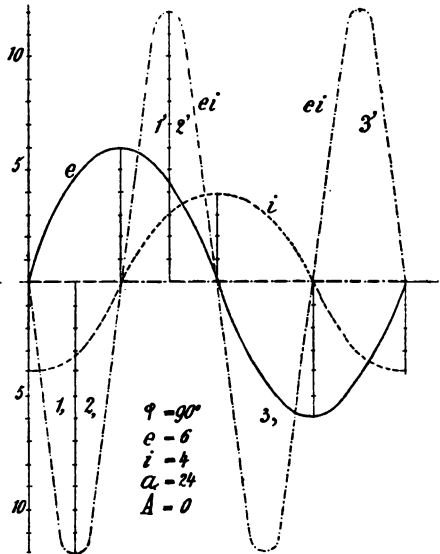


Fig. 108. Arbeit des Wechselstromes bei 90° Phasendifferenz.

tierten Geraden einschließen, ersetzen kann. Jede dieser Flächen stellt somit die gesamte Arbeit des Wechselstromes vor. Bezüglich der Arbeitsflächen gelten auch für die Fig. 106 bis 108 dieselben Betrachtungen. Während jedoch in Fig. 105 die Arbeitsflächen nur oberhalb der Abscissenaxe liegen, befinden sich dieselben in den folgenden Figuren 106 bis 108 zum Theile oberhalb (+ Arbeit), zum Theile unterhalb (— Arbeit) der Abscissenaxe. Die Flächeninhalte der von den strichpunktierten Kurven und den Abscissenachsen eingeschlossenen Kurven stellen die effektiven Arbeiten der Wechselströme während einer Periode dar, während die einzelnen Ordinaten innerhalb dieser Periode die einzelnen Werte der Arbeit angeben. Nach obigem erscheint es wohl als selbstverständlich, dass die effektive Arbeit des Wechselstromes während einer halben

Periode sowie in Fig. 105 auch in den Fig. 106 und 107 je durch die Rechtecke zwischen der Abscissenaxe, Ordinatenaxe und den 2 strichpunktirten Geraden gegeben sind. Aus der Figur 108 ersieht man, dass diese Arbeit den Wert 0 hat, da die positiven und negativen Arbeitsflächen einander gleich sind. Man nennt deshalb einen solchen Strom, welcher gegen seine Spannung eine Phasenverschiebung von 90° besitzt, einen „wattlosen“ Strom. In den Fig. 105 bis 108 sind schließlich die Phasenverschiebungen φ , Spannungen e , Stromstärken i , maximale Arbeiten a und effektiven Arbeiten A angegeben.

II. Kapitel.

Wechselstromkreis mit Widerstand, Selbstinduktion und Kapacität.

123. Stromkreis mit Widerstand und Selbstinduktion, Fig. 109.

J = der Länge der durch O und B gehenden gestrichelten Linie
 = Maximalwert des Stromes, d. h.: Wir tragen den Strom an irgend einer Stelle des Diagrammes von O aus auf. Der Wert der *E. M. K.* ohne Selbstinduktion bei der Stromstärke J und dem Widerstand R ist nach dem Ohm'schen Gesetze gleich $JR = \overline{OB}$.

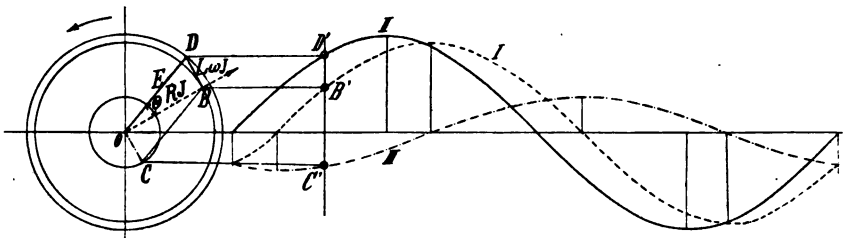


Fig. 109. Wechselstromkreis mit Widerstand und Selbstinduktion.

Wir tragen \overline{OB} auf der durch O und B gehenden, gestrichelten Linie (der Stromstärke) auf, weil zwischen der Stromstärke und der Nutzs-
 spannung JR keine Phasendifferenz herrscht. JR stellt eben die Span-
 nung dar, welche zur Überwindung des Ohm'schen Widerstandes er-
 forderlich ist.

Die *E. M. K.* der Selbstinduktion E_s wird nach früherem um 90°
 in der Phase hinter J zurückbleiben, weil E_s den größten Wert er-
 reicht, wenn die Stromstärke durch 0 hindurchgeht beziehungsweise die
 größte Änderung erfährt. Die Strom- und Spannungskurve, d. h. die
 J - und E_s -Kurve haben demnach eine Phasenverschiebung von 90° , so
 zwar, dass im Vektordiagramm E_s auf J senkrecht steht. E_s kann dem-

nach durch \overline{OC} dargestellt werden. Ziehen wir \overline{BD} senkrecht auf \overline{OB} , so stellt diese Gerade jene *E. M. K.* der Wechselstrommaschine dar, welche zur Tilgung der Selbstinduktion \overline{OC} erforderlich erscheint. \overline{OC} muss von O aus nach abwärts gerichtet sein, weil die *E. M. K.* der Selbstinduktion in der Phase gegen den Strom zurück sein muss, da zunächst der Strom auftritt, welcher die Selbstinduktion hervorruft. Die *E. M. K.* \overline{BD} dagegen, welche zur Tilgung der *E. M. K.* der Selbstinduktion \overline{OC} verwendet wird, muss in der entgegengesetzten Richtung von \overline{OC} auf \overline{OB} , also in der Richtung \overline{BD} aufgetragen werden, da nur entgegengesetzt gerichtete *E. M. K.* einander tilgen. Die zur Überwindung des Ohm'schen Widerstandes erforderliche *E. M. K.* \overline{OB} und die *E. M. K.* \overline{BD} , die zur Überwindung der Selbstinduktion nothwendig ist, geben als Resultierende die *E. M. K.* der Wechselstrommaschine $\overline{OD} = E$.

Eine Überlegung ergibt wohl, dass die *E. M. K.* der Selbstinduktion $\overline{OC} = E_s$ den folgenden Faktoren proportional ist:

1. Koeffizient der Selbstinduktion L , welcher durch die Anzahl der Windungen, die Abmessungen und die magnetischen Eigenschaften des Eisens des ganzen Stromkreises bestimmt erscheint.

2. Stromstärke J .

3. Winkelgeschwindigkeit $\omega = \frac{2\pi}{T}$. D. h.:

$$E_s = L \omega J.$$

Die Figur zeigt weiters, dass $\overline{OD}^2 = \overline{OB}^2 + \overline{BD}^2$ oder

$E = \overline{OD} = \sqrt{\overline{OB}^2 + \overline{BD}^2}$. Setzen wir für \overline{OB} und \overline{BD} die obigen Werte ein, so erhalten wir:

$$E = \sqrt{R^2 J^2 + L^2 J^2 \omega^2} \quad \text{und} \quad E = J \sqrt{R^2 + L^2 \omega^2} \quad \text{oder}$$

$$J = \frac{E}{\sqrt{R^2 + L^2 \omega^2}}.$$

Diese Gleichung kann man als das Ohm'sche Wechselstromgesetz bezeichnen. Vergleichen wir dasselbe mit dem Ohm'schen Gleichstrom-

gesetze $J = \frac{E}{W}$, so ist sofort ersichtlich, dass der Widerstand W durch

den Widerstand $\sqrt{R^2 + L^2 \omega^2}$ ersetzt worden ist. Wenn wir in $\sqrt{R^2 + L^2 \omega^2}$ das Glied $L^2 \omega^2$ vernachlässigen, was dann möglich ist, wenn der Selbstinduktionskoeffizient den Wert 0 hat, so wäre dem Ohm'schen Gleichstromgesetz entsprechend der Nenner $\sqrt{R^2} = R$ dem Ohm'schen Widerstande R . Wir sehen daraus, dass mit dem Auftreten von Selbstinduktion der Widerstand vergrößert erscheint.

Man nennt $\sqrt{R^2 + L^2 \omega^2} = \text{Impedanz} = \text{verzögernder oder scheinbarer Widerstand}$.

$L \omega = \text{Induktanz nach Steinmetz}$
 $= \text{Reaktanz} = \text{induktiver Wstd.}$

Aus dem rechtwinkligen Dreieck ODB folgt:

$$\operatorname{tg} \theta = \frac{\overline{BD}}{\overline{OB}} = \frac{L \omega J}{JR} = \frac{L \omega}{R}, \text{ d. h.:}$$

Je kleiner der Widerstand R ist, desto größer ist die Phasenverschiebung zwischen Strom und Spannung. Dasselbe ist ohneweiters auch aus der Figur ersichtlich. Wir sind demnach in der Lage, durch ein Dreieck, z. B. ODB , Fig. 109, die Beziehung zwischen treibender $OD = J\sqrt{R^2 + L^2 \omega^2}$, wirksamer $OB = JR$ und gegenwirkender $E.M.K. BD = J \omega L$ und Phasenverschiebung θ darzustellen. Kürzen wir alle 3 Seiten durch J , so erhalten wir ein neues Dreieck, welches dem ursprünglichen Dreiecke ähnlich sein muss. Dieses \triangle stellt die Beziehung zwischen verzögerndem $\sqrt{R^2 + L^2 \omega^2}$, Ohm'schem R und induktivem ωL Widerstand und Phasenverschiebung θ dar.

Das Ohm'sche Gleichstromgesetz lässt sich bekanntlich ebenfalls durch ein Dreieck darstellen. Setzt man z. B. in dem Dreiecke ODB , Fig. 109, $OB = \text{Widerstand}$, $BD = \text{Spannung}$, dann ist

$$\operatorname{tg} \theta = \frac{\overline{BD}}{\overline{OB}} = \frac{\text{Spannung}}{\text{Widerstand}} = \text{Stromstärke}, \text{ d. h.:}$$

Die Stromstärke und die Tangente des Winkels θ sind einander gleich.

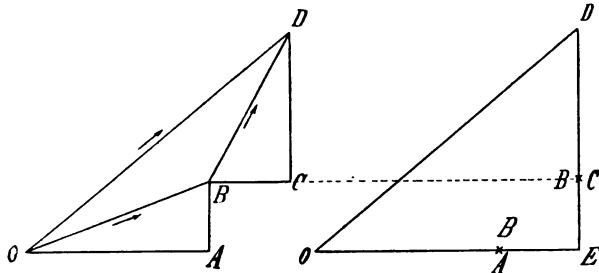


Fig. 110. Widerstände mit Selbstinduktion in Hintereinanderschaltung. Fig. 111.

124. Widerstände mit Selbstinduktion in Hintereinanderschaltung.

Hat man mehrere *E. M. K.* der Selbstinduktion hintereinander zu schalten, so summiert man dieselben so, wie oben (119) erläutert wurde. Man schiebt deshalb die beiden *E. M. K.* der Selbstinduktion \overline{OB} und

\overline{BD} ihrer Größe und Richtung nach aneinander. Die Resultierende \overline{OD} gibt dann die *E. M. K.* der Selbstinduktion beider Widerstände mit Selbstinduktion. Noch einfacher kann man die Widerstände der beiden Apparate mit Selbstinduktion \overline{OA} und \overline{AE} , Fig. 111, nebeneinander und darauf senkrecht die beiden Selbstinduktionen \overline{EC} und \overline{CD} auftragen. Die Resultierende \overline{OD} gibt dann die resultierende *E. M. K.* der Selbstinduktion.

Fig. 112 stellt das Schaltungsschema dreier hintereinander geschalteter Induktionsapparate mit den Widerständen und Selbstinduktionen $W_1 L_1$, $W_2 L_2$ und $W_3 L_3$ dar. Die zugehörige Konstruktion entsteht im Wesentlichen gerade so wie jene in den Fig. 110 und 111. Aus der Fig. 113 ist es ohneweiters klar, dass nach dem Pythagoreischen Lehrsatz¹⁾ in dem Dreieck OMH der scheinbare Widerstand

$$\sqrt{W^2 + \omega^2 L^2} = \sqrt{(W_1 + W_2 + W_3)^2 + \omega^2 (L_1 + L_2 + L_3)^2}.$$

Man kann sich demnach die drei Dreiecke OCB , CFD und FGH durch das Dreieck OHM ersetzt denken, da die Resultierende in beiden Fällen dieselbe ist.

125. Widerstand ohne Selbstinduktion hinter Widerstand mit Selbstinduktion.

Fig. 114 und 115 stellen den Fall dar, in welchem ein Widerstand ohne Selbstinduktion W_1 hinter einen Widerstand mit Selbstinduktion geschaltet erscheint. Die Konstruktion, Fig. 115, folgt aus den letzten drei

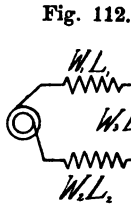


Fig. 112. Schaltungsschema der 3 hintereinander geschalteten Induktionsapparate $W_1 L_1$, $W_2 L_2$ und $W_3 L_3$.

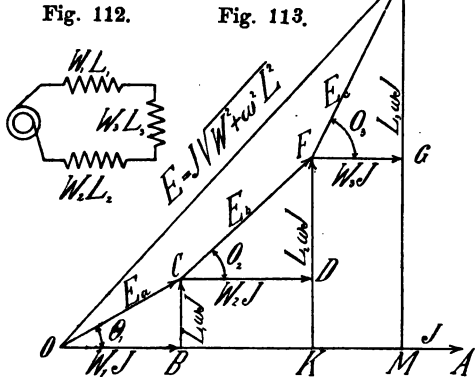


Fig. 113. Konstruktion der resultierenden *E. M. K.* der Selbstinduktion dreier Induktionsapparate.

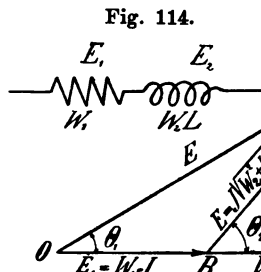


Fig. 114. Widerstand ohne Selbstinduktion W_1 hinter Widerstand mit Selbstinduktion $W_2 L$.

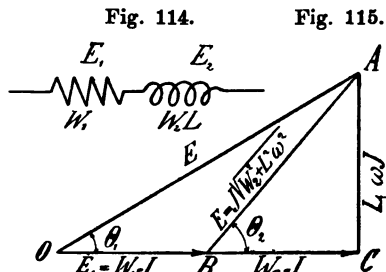


Fig. 115. Konstruktion der resultierenden *E. M. K.* der Selbstinduktion, wenn ein Widerstand W_1 hinter einen Widerstand W_2 mit Selbstinduktion geschaltet ist.

¹⁾ Im rechtwinkligen ebenen Dreieck ist das Quadrat der Hypotenuse gleich der Summe der Quadrate der beiden Katheten.

Konstruktionen, Fig. 110, 111 und 113. Da E_1 keine Phasenverschiebung hat, wird die Strecke OB horizontal aufgetragen, daran schließt $E = J \sqrt{W_2^2 + L^2 \omega^2}$ unter dem Winkel θ_2 . Für diesen Fall übergeht die obige Formel

$$\sqrt{(W_1 + W_2 + W_3)^2 + \omega^2 (L_1 + L_2 + L_3)^2}.$$

in die folgende: $\sqrt{(W_1 + W_2)^2 + \omega^2 L^2} = \text{Impedanz}.$

126. Widerstände mit Selbstinduktion in Parallelschaltung.

Zwischen zwei Punkten A und B seien zwei induktive Widerstände nebeneinander geschaltet; die Spannung zwischen A und B sei E .

1. Zweig: Widerstand R_1 , Stromstärke J_1 , Selbstinduktionskoeffizient L_1 .
2. " " R_2 , " J_2 , " L_2 .

Tragen wir die Spannung $E = \overline{OA}$, Fig. 116, auf eine Gerade, in irgend welchen Einheiten auf. $\overline{OA} = 42.5 \text{ mm}$. Für $1 \text{ mm} = 1 \text{ Volt}$ entsprechen 42.5 mm einer Spannung von 42.5 Volt . Diese Spannung \overline{OA} setzt sich in jedem Zweige aus zwei Komponenten zusammen, wo-

von je eine auf der anderen senkrecht stehen muss (123). Diese beiden Komponenten sind die $E.M.K.$ der Selbstinduktion und die durch den Ohm'schen Widerstand getilgte Spannung; sie gehören einem rechtwinkligen Dreiecke an.

Sämtliche rechtwinklige Dreiecke aber, welche man mit OA als Hypotenuse zeichnen kann, liegen in einem Halbkreise, dessen Halbmesser $= \frac{\overline{OA}}{2}$ ist, Fig. 116.

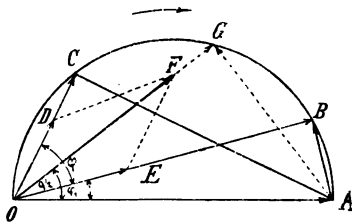


Fig. 116. Nebeneinanderschaltung zweier induktiver Widerstände.

Zieht man diesen Halbkreis und trägt von \overline{OA} aus den Winkel φ_1 , die Phasenverschiebung des ersten Zweigstromes auf, so muss $\overline{OB} = J_1 R_1$ sein. Ebenso trägt man von \overline{OA} aus den Winkel $(\varphi + \varphi_1)$ auf und dann ist für den zweiten Zweigstrom $\overline{OC} = J_2 R_2$. Dividiert man einerseits $\frac{J_1 R_1}{R_1}$ und $\frac{J_2 R_2}{R_2}$, d. h. dividiert man die Volt durch die Ohm, dann erhält man \overline{OE} und \overline{OD} die beiden Zweigströme und durch das Parallelogramm $OEFD$ die resultierende Stromstärke \overline{OF} .

Da die beiden Zweige nebeneinander geschaltet sind, muss E in den Zweigen denselben Wert haben und es folgt aus den Kirchhoff'schen Gesetzen:

$$E = J_1 \sqrt{R_1^2 + \omega^2 L_1^2} = J_2 \sqrt{R_2^2 + \omega^2 L_2^2} \text{ oder}$$

$$\frac{J_1}{J_2} = \frac{\sqrt{R_2^2 + \omega^2 L_2^2}}{\sqrt{R_1^2 + \omega^2 L_1^2}} \text{ und } \operatorname{tg} \varphi_1 = \frac{L_1 \omega}{R_1}, \operatorname{tg} (\varphi_1 + \varphi) = \frac{L_2 \omega}{R_2}.$$

Schließlich folgt aus der Figur $E = J \sqrt{R^2 + \omega^2 L^2}$ und $\operatorname{tg} \varphi_2 = \frac{L \omega}{R}$.

Beispiel: Mit Berücksichtigung der Abmessungen der Fig. 116 seien gegeben: $R_1 = 2.64 \text{ Ohm}$, $R_2 = 1.58 \text{ Ohm}$, $L_1 \omega = 0.7$, $L_2 \omega = 3.1$; φ_1 , $\varphi_1 + \varphi$, J_1 , J_2 , J , W_1 und W_2 sind zu ermitteln.

$$\operatorname{tg} \varphi_1 = \frac{L_1 \omega}{R_1} = \frac{0.7}{2.64} = 0.266; \varphi_1 \approx 15^\circ.$$

$$\operatorname{tg} (\varphi_1 + \varphi) = \frac{L_2 \omega}{R_2} = \frac{3.1}{1.58} = 1.96; \varphi_1 + \varphi \approx 63^\circ.$$

Trägt man φ_1 und $\varphi_1 + \varphi$ von OA aus auf und schlägt über \overline{OA} den Halbkreis, dann erhält man $\overline{OB} = J_1 R_1 = 41 \text{ Volt}$ und $\overline{OC} = J_2 R_2 = 19 \text{ Volt}$; daraus und aus den Angaben folgt: $J_1 = \frac{41}{2.64} = 15.5$

Ampère und $J_2 = \frac{19}{1.58} = 12 \text{ Ampère}$. Zeichnet man deshalb über $\overline{OE} = 15.5$ und $\overline{OD} = 12$ das Parallelogramm und misst die Resultierende \overline{OF} ab, so findet man $\overline{OF} \approx 27 \text{ mm} \approx 27 \text{ Ampère}$.

$$\text{Der scheinbare Widerstand } W_1 = \sqrt{R_1^2 + (L_1 \omega)^2} = \sqrt{(2.64)^2 + (0.7)^2} = 2.73 \text{ Ohm}.$$

$$\text{Der scheinbare Widerstand } W_2 = \sqrt{R_2^2 + (L_2 \omega)^2} = \sqrt{(1.58)^2 + (3.1)^2} = 3.4 \text{ Ohm}.$$

Aus dem Dreiecke OGA folgen die Gleichungen $\overline{OG} = JR$ $34 \text{ mm} = 34 \text{ Volt}$ und $\overline{AG} = J \omega L = 26 \text{ mm} = 26 \text{ Volt}$.

$$\text{Da } J = 27 \text{ Ampère, wird } R = \frac{34}{27} = 1.26 \text{ und } \omega L = \frac{26}{27} = 0.9.$$

127. Kondensator im Wechselstromkreis. In dem Stromkreise einer Wechselstrommaschine befinde sich ein induktionsloser Widerstand W und ein Kondensator, dessen Kapazität $= C \text{ Farad}$. Die Vektoren, Fig. 117, drehen sich in der Richtung des eingezeichneten Pfeiles mit der Winkelgeschwindigkeit $\omega = \frac{2\pi}{T}$. Das Dielektricum wird dann scheinbar

von einem Strom J durchflossen, den wir uns als Vektor \overline{OA} an irgend einer Stelle des Vektor-Diagrammes auftragen. Dieser Strom erzeugt in dem Widerstande W den Spannungsverlust WJ , welchen wir, da er mit dem Strome J gleiche Phase haben muss, auf \overline{OA} auftragen und gleich \overline{OB} annehmen wollen. Der Kondensator wird eine bestimmte Potentialdifferenz annehmen und wir wollen nachweisen, dass wir dieselbe durch \overline{OD} darstellen können. Aus 123 folgt, dass Strom und *E. M. K.* der Selbst-

induktion aufeinander senkrecht stehen. Schalten wir nun in einen Telephonstromkreis eine Selbstinduktion oder einen Kondensator ein, dann wird das Gespräch undeutlich; schalten wir jedoch Selbstinduktion und Kapazität zugleich in den Telephonstromkreis, dann wird bei passender Wahl dieser Größen das Gespräch wieder deutlich, d. h.: Selbstinduktion und Kapazität heben einander auf. Aus diesem

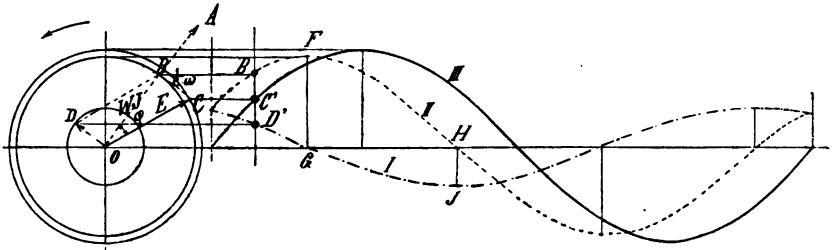


Fig. 117. Widerstand und Kapazität in Hintereinanderschaltung.

Grunde müssen wir diese beiden Größen im Diagramme in der entgegengesetzten Richtung auftragen. In Fig. 109 haben wir die *E. M. K.* \overline{OC} senkrecht nach abwärts auf den Strom errichtet, in Fig. 117 müssen wir demnach die *E. M. K.* \overline{OD} senkrecht und in der entgegengesetzten Richtung auf den Strom auftragen. Während demnach bei der Selbstinduktion die *E. M. K.* um 90° hinter dem Strome zurückbleibt, eilt die *E. M. K.* des Kondensators dem Strome um 90° voraus. Die *E. M. K.* der Wechselstrommaschine, welche die Potentialdifferenz am Kondensator aufzuheben hat, kann man demnach in der entgegengesetzten Richtung von \overline{OB} , also in der Richtung \overline{BC} auftragen. Eine Überlegung ergibt, dass die Potentialdifferenz am Kondensator \overline{BC} der Stromstärke J gerade, der Kapazität C und der Winkelgeschwindigkeit ω dagegen verkehrt

proportional ist, d. h.: $\overline{BC} = \frac{J}{\omega C}$.¹⁾

Die Klemmenspannung der Wechselstrommaschine E setzt sich aus den beiden Komponenten \overline{OB} und \overline{BC} zusammen; sie entspricht demnach dem Vektor \overline{OC} . Aus Fig. 117 folgt:

$$E = \sqrt{\left(\frac{J}{\omega C}\right)^2 + (JW)^2} = J \sqrt{\left(\frac{1}{\omega C}\right)^2 + W^2} \quad \text{und}$$

$$J = \frac{E}{\sqrt{\left(\frac{1}{\omega C}\right)^2 + W^2}}.$$

¹⁾ Eine trigonometrische Ableitung dieser Formel gibt Thomas H. Blakesley. Die elektrischen Wechselströme, 1891, S. 18 bis 23.

Man kann diese Formel als das Ohm'sche Gesetz für obigen Kondensatorstromkreis bezeichnen. In dem Dreiecke $OB C$ ist

$$\text{schließlich } \operatorname{tg} \varphi = \frac{\overline{BC}}{\overline{BO}} = \frac{\frac{J}{\omega C}}{JW} = \frac{1}{\omega CW}.$$

Fig. 117 stellt links das Vektor-, rechts das Wellendiagramm dar. Im Vektordiagramm versinnlichen $\overline{OD} = \overline{BC}$, JW und E Maximalwerte. Die augenblicklichen Werte dieser Größen innerhalb einer halben Periode erhält man, wenn man das Parallelogramm $ODBC$ einmal um den Punkt O herumdreht und die Vektoren \overline{OD} , \overline{OB} und \overline{OC} auf die durch O gezogene Ordinatenaxe projiziert. In der Figur erscheinen \overline{OD} , \overline{OB} und \overline{OC} auf die Ordinatenaxe $BC'D'$ projiziert und die Abstände der Punkte D' , C' und B von der Abscissenaxe, der Horizontalen durch O , sind die augenblicklichen Werte (die Projektionen). Der rechte Theil der Fig. 117 veranschaulicht das Wellendiagramm. In diesem Diagramm verstehen wir unter der Kurve I die Klemmenspannung der Wechselstrommaschine, unter III die Kurve der Spannung WJ und unter der Kurve II die Kondensatorspannung. In dem Bilde soll die Kurve II der Summe der Kurven I und III gleich sein (118).

Namen- und Sachverzeichnis.

Die Namen und Firmen sind gesperrt gesetzt.

	Seite
Abdruck, negativer	44
„ positiver	44
Ablenkungsregel nach Ampère	46
Abmessung	85
Abreißen des Ankers	65
Accumulator	42
Alliance-Wechselstrommaschine	67, 68
Alternierender Strom	75
Aluminium	100, 102, 104
Aluminiumbronze	100, 102, 104
Ampère	46, 54, 73
Ampère	21, 111
Ampère-Minute	21
„ -Sekunde	21
„ -Stunde	21
Ampère'sche Ablenkungsregel	48
Ampère'sche Molekularströme	61
Amplitude	116
Analytische Methode	114
Anion	39
Anode	39
Ansammlungsapparat	7
Antimon	100, 102, 104
Äquivalent der Arbeitseinheit, kalori- sches	92
Äquivalent, elektrochemisches	21
Äquivalenz von Wärme u. Arbeit	45
Arbeit	90
Arbeit des Wechselstromes	123
Arbeit des Wechselstromes, effective	123
Arbeitsstärke	90
Arbeit, elektrische 26, 110, 111, 112, 113	
Armatur	7, 67
Armstrong	7
Astatische Nadel	47

	Seite
Aufnahmefähigkeit, magnetische	113
Basse & Selve	101, 103, 105
Batterie	9, 40
Belegung	7
Bell	80
Beleuchtung ohne Draht	81
Bennet	5
Berliner	79, 80
Beschleunigung	88, 89, 111, 112
Biot-Savart	28, 33, 41
Biot-Savart'sches Gesetz	81
Blake	79
Blakesley, Thomas H.	132
Blei, gepresst	100, 102, 104
Blitz	11
Blitzableiter	11
Boltzmann	10
Branly	81
British Association	84
Brückenmethode	36
Bunsen	22, 32
Bürste	68
Cadmium	100, 102, 104
Callaud	41
Centimeter-Dyn	90
Centimeter-Gramm-Sekunden-System	85
Childern	44
Clamond	82
Clark	22, 41, 67
Cosinus	26
Cotangens	26
Coulomb	21, 97, 111
Coulomb	92, 94
Coulomb'sches Gesetz	92

	Seite
Crooke'sche Röhren	13
Crooke William	13
Cuneus	9
Cyklus	116
Cylinderinduktor	70
Czeija, Nissl & Co.	28, 68
Dal Negro	66
Daniell	22, 32, 41
Davy Humphrey	46
Dämpfung	29
Diamagnetische Körper	47
Diëlektricität	10
Diëlektricitätskonstante	10
Diëlektricum	7
Dimension	85
Donner	11
Doppel-T-Anker	68
Drahtlänge, Berechnung	49
Drahtkombination	42
Drehungsmoment	91
Drehungsmoment, magnetisches	94
Druck	112
Du Bois Reymond	83
Dyn	89
Dynamo	78
Dynamo elektrischer Grundsatz	71
Dynamo der österr. Schuckertwerke	77
Dynamo, Gleichstrom-	72
Edison	79, 80
Effekt, elektrischer 26, 110, 111, 112, 113	
Effektive Spannung	123
Effektive Stromstärke	123
Einheiten der British Association	84
Einheiten des Pariser Kongresses	84
Einheit der elektromotorischen Kraft	97
„ des Magnetismus	92
Eisendraht, gewöhnlich	100, 102, 104
„ schwedisch	100, 102, 104
Eisen, rein	100, 102, 104
Elektricität, Aktino-	11
„ atmosphärische	11
„ Begriff	3
„ bewegte	14
„ chemische Wirkungen	12, 39
„ Durchgang durch Gase	13
„ elektrische Wirkungen	13
„ Fernwirkung	5
„ gebundene	5

	Seite
Elektricität, Geschwindigkeit	15
„ Induktion	5
„ Influenz	5
„ Lichtwirkungen	13, 46
„ magnetische Wirkungen	13, 46
„ mechanische „	13, 46
„ Mittheilung	4
„ natürliche	5
„ negative	3
„ Photo-	11
„ physiologische Wirkungen	12, 39
„ positive	3
„ Pyro-	11
„ ruhende	3, 11
„ Vertheilung	5
„ Wesen	15
„ Wirkungen	12
„ Wärmewirkungen	12, 44
Elektricitätserrregung	14
Elektricitätsmenge	21, 94, 97, 111, 113
Elektrische Arbeit	110, 111, 113
„ Maße	84, 94
„ Schwingungen	81
Elektrischer Effekt	26, 110, 111, 112, 113
„ Strom	14
Elektrisches Feld, Intensität	95
„ Potential	95, 97
Elektrisirermaschine	6
„ Influenz-	11
„ Hydro-	7
Elektrochemie	40
Elektrochemische Zerlegung	39
Elektrode	7, 39
Elektrolyse	39
Elektrolyt	39
Elektromagnet	48
Elektromagnet, theilweise bewickelt	59
Elektromagnetische Einheiten	96, 113
Elektromagnetinduktion	63
Elektromagnetismus	46
Elektrometallurgie	44
Elektromotor	76
Elektromotorische Kraft	14, 22, 97, 113
Elektromotorische Kraft, Verhältnis zwischen maximaler und minimaler	122
Elektrostatische Stromeinheit	94
Elektrostatisches Potential	95
Elektroskop	4

	Seite
Elektroskop, Condensator-	8
Elektrotechnik	84
Element, Bunsen	41
" Callaud	41
" Clark	21
" Daniell	41
Elemente	40
Element, geschlossenes	40
" Grove	41
" konstantes	40
" kurzgeschlossenes	40
" Leclanché	41
" Meidinger	41
" offenes	40
" Schaltung	41
Endosmose, elektrische	40
Epoche	119
Epochenwinkel	119
Erdmagnetismus	27
" , Horizontalkomponente	27
Erg	90
Erregung, fremde	71
" gesonderte	70, 71
" Selbst-	71
" separate	70, 71
Etlinghausen	67
Extraströme	62
Farad	25, 109
Faraday . 10, 16, 43, 56, 66, 73, 95	
Feddersen	81
Fernseher	80
Fernwirkungen der Elektrizität . 5, 46	
Fläche	85, 111, 112
Flächeninhalt	85
Flemming, J. A.	73
Fluorescieren	13
Franklin	4, 9, 11
Franklin'sche Tafel	9
Frequenz	116
Funke, Entladungs-	11, 22
Funkeninduktor nach Ruhmkorff . 78	
Funkentelegraphie	81
Funktion, harmonische	116
" periodische	116
Galvani	14, 15, 83
Galvanische Metallfärbung	44

	Seite
Galvanochromie	44
Galvanometer	47
Galvanoplastik	44
Galvanostegie	44
Galvanoskop	48
Gaugain	28
Gauß Friedrich	84, 85
Gefälle	22
Gegenströme	53
Geissler	82
Geissler'sche Röhren	13
Geitner	101, 103, 105
Gekreuzte Ströme	53
Gérard	82
Geschwindigkeit	86, 111, 112
Gesetz nach Coulomb	92
" " Joule	44
" " Lenz	65
" " Maxwell	66
Gilbert William	3
Gleichstrom	68, 70, 72, 73, 74
Gleichstrom-Kommutator	67
Gleichstrom-Lautwerk	50
Gleichstrommaschine	72
Gold	100, 102, 104
Grad	87
Grammkalorie	92
Grammophon nach E. Berliner . . 79	
Graphit	100, 102, 104
Graphische Methode	114
Graphophon nach Tainter	79
Gravieren der Metalle	44
Gray Elisha	52
Grove	22, 32, 41, 44
Grundsatz, dynamoelektrischer . 71	
Grunmach Leo	106
Guerike, Otto von	6
Gülcher R.	82
Gülcher'sche Thermosäule	83
Harmonische Funktion	116
Harmonischer Strom	75
Haustelegraph	51
Heliogravure	44
Helmholtz, Hermann von	16
Henry	80, 98
Henry	98, 111
Hertz Heinrich	16, 81
Hittorf	13

	Seite
Hjorth	70
Hochenegg Carl	109
Hoffmann	52
Holmes	67
horse-power	90
horse-power-hour	90
Hörapparat	79
Hörtelephon	79
Hughes, D. E.	52, 79
Humboldt, Alexander von	109
Induktion durch Magnete	63
„ , elektrodynamische	61
„ elektrostatische	5
„ gegenseitige	61
„ höherer Ordnung	80
„ in körperlichen Leitern	80
„ magnetische	112
Induktionskoeffizient	98, 113
Induktionsströme	61
„ , Richtung	61
Induktor	67
„ , Bewegungsphasen des	69
Influenz	5
„ , magnetische	54
Intensität des elektrischen Feldes	95
„ des magnetischen Feldes	93
„ der Arbeitsleistung	90
„ der Magnetisierung	93
Jon	39
Joule	44, 45, 110
Joule	26, 110, 111
Joule's Gesetz	44
Kalorie	45
Kalorisches Äquivalent	92
Kamm Leo	52
Kapazität	95
„ , elektromagnetische 109, 111, 113	
„ , Induktions-, spezifische	10
Kapazität und Widerstand in Hinter- einanderschaltung	132
Kapazität, Wärme-	45
Kareis Josef	82
Kathode	39
Kation	39
Kessler Josef	28, 30, 32, 33

	Seite
Kilogrammometer	90
Kilogramkalorie	92
Kilowatt	26
Kirchhoff	33, 34, 35, 86
Kirchhoff'sches Gesetz, Erstes	33
„ „ „ Zweites	34
Kleist	9
Klingel, elektrische	50
Klopfer	52
Kobalt	100, 102
Koeffizient der Induktion	98
„ der gegenseitigen Induktion	98
„ der Selbstinduktion	98
Kohärer	81
Kohle	100, 102, 104
Kollektor	7
Kollektor-Platte	7
Kommutator, Gleichstrom-	67, 68
Kondensator	7, 16
„ Cylinder-	9
„ Glimmer-	9
„ Kugel-	10
„ Normal-	9
„ Papier-	9
„ -Platte	7
„ Platten-	7
„ im Wechselstromkreis	131
Konduktor	7, 16
Konstantan	101, 103, 105
Körperinhalt	85
Kraft	89, 111, 112
Kraftfluss, magnetischer	112
Kraft, magnetisierende	113
„ magnetomotorische	113
Kraftlinien-Bilder	57, 59
Kraftlinien-Regeln nach Faraday	56
Kraftlinien-Theorie	56
Kraftlinien-Streuung	60
Kratzert	48, 73, 106
Kratzert'sche Regel	73
Kreisströme	54
Kruppin	100, 102, 104
Kubikinhalt	85
Kupfer	100, 102, 104
Ladungsapparat	7
Lage	49
Längeneinheit	85, 112
Läutewerk, Gleichstrom-	50

	Seite
Läutewerk, Wechselstrom-	52
Leclanché	22
Leistung, elektrische 26, 110, 111, 112	
Leistungsfaktor	124
Leiter, gute	4
„ schlechte	4
Leitungen, getrennte	76
„ verkettete	76
Leitungsfähigkeit	18, 113
„ , spezifische	113
„ bezogen auf Quecksilber	98, 107
„ im Megamhcm	106
„ bezogen auf Ohm	107
Leitungsvermögen	18
Lenz	65, 73
Lenz'sches Gesetz	65
Leydnerflasche	9
Ludolph'sche Zahl	33
Magnesium	100, 102, 104
Magnetelektrische Maschine	66
Magnetelektrische Maschine nach Ettinghausen	67
Magnetelektrische Maschine nach Holmes	67
Magnetelektrische Maschine nach Pixii	67
Magnetelektrische Maschine nach Saxton	67
Magnetelektrische Maschine nach Stöhrer	67, 68
Magnetische Aufnahme-fähigkeit	113
Magnetisches Drehmoment	94
„ Feld	56
Magnetische Felder der Ströme	60
Magnetisches Feld, Intensität	93, 112
Magnetische Induktion	112
Magnetischer Kraftfluß	112
Magnetische Maße	92, 112
Magnetisches Moment	92, 112
Magnetische Permeabilität	113
Magnetisches Potential	93
Magnetische Reluktivität	113
Magnetischer Widerstand	113
Magnetisierung, Intensität der	93
Magnetische Achse	27
Magnetisieren	54
Magnetisierende Kraft	113

	Seite
Magnetismus, Einheit des	92
Magnetismus, spezifischer	93
Magnetinduktion	63
Magnetomotorische Kraft	113
Magnetismus, natürlicher	48
„ remanenter	48
„ Stärke des	49
„ zurückbleibender	48
Mangankupfer	100, 102, 104
Marconi Guglielmo	81, 82
Maschine mit Dauermagneten	70, 71
„ mit fremder Erregung	71
„ Gleichstrom-	72
„ , magnetelektrische	66
„ mit besonders erregten Magneten	70, 71
Maschine, pyromagnetische	66
Maxwell Clark	16, 66
Maxwell'sches Gesetz	66
Maße, abgeleitete	85
„ absolute	84
„ elektrostatische	94
„ internationale	84
„ magnetische	92, 113
„ mechanische	85, 112
„ nach Gauß	84
„ physikalische	84
Masse	112
Mechanische Maße	85, 112
Mechanisches Wärmeäquivalent	91
Megacoulomb	21, 111
Megampère	21, 111
Megafarad	109, 111
Megamhcm	106
Megohm	18, 111
Megavolt	22, 111
Mehrphasenströme	75
Messingdraht	100, 102, 104
Metallfärbung, galvanische	44
Meterkilogramm	90
„ -Sekunden-System	85
Methode, analytische	114
Meidinger	22, 41
Meyer R.	45
Mho	99
Milet, Thales von	3
Millimeter - Milligramm - Sekunden-System	85
Mikroampère	21, 111

	Seite
Mikrocoulomb	21, 111
Mikrohm	18, 111
Mikrohmcm	106
Mikrofarad	109, 111
Mikrophon nach Hughes	79
Mittelwert periodisch veränderlicher Größen	
Mikrovolt	22, 111
Molekül	54
Molekularströme, Ampère'sche	61
Moment einer Kraft	91
Moment, magnetisches	92, 112
Moment, statisches	91
Morse	51
Morse-Schreibapparat	51
Multiplikator	47
Müller, Hugo W.	22
Nebenschlussmaschine	72
Nebenströme	61
Neef	61, 78
Neef'scher Hammer	61
Neusilber	100, 102, 104
Nickel	100, 102, 104
Nickelin	100, 102, 104
Nickelkupfer	101, 103, 105
Nickelmangankupfer	101, 103, 105
Nipkow P.	80
Noë	82
Nordlicht	11
Oersted	6
Öffnungsschlag	39
Ohm	22, 23, 24, 98
Ohm	16, 111
Ohm'sches Gesetz	22
„ „ Beispiele	23, 24, 25
„ „ für einen Kondensatorstromkreis	133
Ohmcentimeter	99
Ohm, internationales	99
Ohm, legales	16
Ohm'sches Wechselstromgesetz	127
Oscillation	81
Pachytrop	42
Palladium	101, 103, 105
Parallaxe	31

	Seite
Parallele Ströme	53
Paramagnetische Körper	47
Patentnickel	101, 103, 105
Pendulärer Strom	75
Periodische Function	116
Periodische Größen, Zusammen- setzung	120, 121
Periodischer Strom	75
Permeabilität, magnetische	113
Peukert Wilhelm	82
Pferdekraft	90, 111
„ , englische	26
„ metrische	26
Pferdestärke	26, 90, 111
Pferdestärkestunde	90
Phase	75, 116
Phasendifferenz	116
Phasenverschiebung	116
Phasenwinkel	120
Phasenzeit	116
Pixii	67
Phonograph nach Edison	79
Phosphorbronze	101, 103, 105
Phosphorescieren	13
Photophon	80
Physikalisch - technische Reichsanstalt in Charlotten- burg	108
Physikalisch - technische Reichsanstalt, Untersuchun- gen über Widerstände	108, 109
Platin	101, 103, 105
Platin-Iridium	101, 103, 105
„ -Rhodium	101, 103, 105
„ -Silber	101, 103, 105
Poggendorf	11, 28
Polardiagramm	114
Polarkoordinatensystem	114
Polarlicht	11
Polarisation der Elektroden	39
Polarisation, dielektrische	6
Polbildungen	58
Polloser Ring	58
Polstärke	92, 111, 112
Polwechsel	61, 116
Potentialdifferenz	97, 113
Potential, elektrostatisches	95
„ elektromagnetisches	97
„ magnetisches	93

	Seite
Pouillet	28
Pyroelektrische Maschine	66
Quadrant	98
Quecksilber	101, 103, 105
Radian	87
Rassel	50
Rauminhalt	85, 111
Rechte Handregel	46
Reduktionsfaktor	33
Regel nach Kratzer	73
Regel, Rechte Hand	46
Reinmetallgewinnung	44
Relais	51
Reluktivität, magnetische	113
Rheotan	87
Rheostat, Starkstrom-	20
„ Stöpsel-	18
Rhythmus	116
Rieß	7, 8
Righi	81
Ring, Schleif-	70
Roberts	44
Röntgen, Wilhelm Conrad	13
Röntgen-Strahlen	13
Ruhmkorff	13, 66, 78
Ruhmkorff'scher Funkeninduktor	78
Rückschlag, elektrischer	13
Sahulka Johann	52
Sammler	42
„ , Entladen	42
„ Formieren	42
„ Laden	42
Saxton	67
Schleifring	70
Schließungsschlag	39
Schreibapparat nach Morse	51
Schweigiger	47
Schuckert-Werke Öster.	78
Schwingungen, elektrische	81
Sekundärelement	42
Sekundenenerg.	90, 110
Sekundenkilogrammter	90, 110
Sekunden-Volt-Ampère	26
Selbsterregung	70, 71
Selbstinduktion	62
Selbstinduktionskoeffizient	98

	Seite
Serienmaschine	72
Sicherungen	46
Siemens Einheit.	16, 99
Siemens & Halske	9, 20
Siemens, Wernervon 18, 68, 70, 71	
Sinsteden	70
Silber	101, 103, 105
Silberbronze	101, 103, 105
Sinus	26
Sinus-Funktion	116
Sinus-Gesetz	28
Sinus-Gesetz, einfaches	114
Sinuskurve	116
Sinuslinie	116
Skalar	116
Slaby A.	82
Smee	22, 32
Spannung	97
„ , Beispiele	22
„ effektiv	123
„ Versuchsergebnisse	22
Spannungsdifferenz	22, 97
Spannungsmessung	81
Spannungsreihe	14
Spezifische Leitungsfähigkeit	113
Spezifischer Magnetismus	93
Spezifischer Widerstand	99, 113
Spirale	43
„ , dextrorsale	47
„ linksgewunden	48
„ rechtsgewunden	48
„ sinistrorsale	48
Sprechapparat	79
Stahldraht	101, 103, 105
Statisches Moment	91
Stromeinheit, elektrostatische	94
Stromerzeugung	73
Strommessung	30
Stromrichtungsregel, magnetelektri- sche Maschine	67
Stromrichtungswechsel	70
Stromumkehr	67
Stromverzweigung, einfache	34
Stromwechsel	116
Ströme u Magnete, Vergleich	60
Stromstärke	96, 111, 113
Stromstärke, effektiv	123
S y m m e r	3
S z c z e p a n i k J o h a n n	80

	Seite		Seite
Tainter	79, 80	Volt-Ampère	26, 110
Tangens	26	Volt-Coulomb	26, 110
Tangens Gesetz	27	Volt legales	22
Tangenten-Busssole	28	„ richtiges	22
„ „ Kessler'sche	28	Volumen	85, 112
Telautograph nach Elisha Gray	52	Waltenhofen, Dr. von	10, 65, 73, 82, 89, 109
Telegraphie ohne Draht	81	Warren de la Rue	22
Telephon	78	Wasserzersetzung	43
Telescripteur nach Hoffmann	52	Wasserzersetzungsapparat	43
Teleskop, elektrisches	80	Watt	26, 110, 111
Tellur	101, 103, 105	Wärmeäquivalent	91, 111
Temperaturkoeffizient	108	Wärmekapazität	45
Tesla Nicola	82	Wärme, spezifische	45
Thermoelement	82	Weber W.	28
Thermoelektreticität	82	Wechselstrom	62, 68, 70, 74, 114
„ nach Gülcher	82	„ , Arbeit	123
Thermotan	101, 103, 105	„ „ bei Phasendif- ferenz 123, 124, 125	
Thierische Elektrizität	83	„ „ effektiv	125
Thompson, Silv. P	65	Wechselstrom-Dynamo	75
Thomson	37	Wechselstrom-Läutwerk	52
Thomson'sche Doppelbrücke	37	Wechselstrommethode	114
Transformator	78	Wechselstromkreis mit Kondensator	131
Transmitter	79	Wechselstromkreis mit Widerstand und Selbstinduktion	126
Trägheitsmoment	91, 112	Wechselstromgesetz, Ohm'sches	127
Tuma Josef	81	Wechselstrommaschine Alliance-	67
Typendruker nach Hughes	52	Wechselwirkungen zwischen Strömen und zwischen Strömen und Mag- neten	53
Undulatorischer Strom	75	Wecker	50
Vektor	116	Weiller Lazare	101, 103
Vektordiagramm	114, 120	Wellendiagramm	120
Vergleich zwischen Strömen und Magneten	60	Wellenlinie	116
Verkettete Leitungen	76	Wellenstrom	75
Verkupfern	44	Werk	90
Vernickeln	44	Wheatstone	36
Versilbern	44	Wheatstone'sche Brücke	36
Versuche nach Feddersen	81	Wicklungsrichtung	48
„ „ Hertz	81	Widerstand	16, 111
„ „ Marconi	81	„ , Berechnung	17
„ „ Slaby	82	„ bifilarer	20
„ „ Tesla	82	„ elektromagnetischer	98, 113
„ „ Tuma	81	„ elektrostatischer	96
Verstärkungszahl	8, 10	„ magnetischer	113
Vertheilung der Elektrizität	5	„ spezifischer	16, 99, 113
Volt	21, 111	„ ohne Selbstinduktion hin- ter Widerstand mit Selbstinduktion	129
Volta	8, 14, 15		
Voltameter	43		
„ , Kupfer-	44		
„ , Silber-	43		

	Seite		Seite
Widerstand und Kapazität in Hinter-		Winkleinheit	87, 112
einanderschaltung	132	Winkelbeschleunigung	88
Widerstandszunahme	107	Winkelgeschwindigkeit	87, 112
Widerstandskasten	18	Winter	6
„ „ , Schaltung	19	Winter'scher Ring	6
Widerstandskoeffizient	106	Wirkungen der Elektrizität	12, 38
Widerstandstabellen 100, 101, 102, 103		Wismuth	101, 103, 105
Widerstände in Ohm	107	Zeit	112
„ „ Siemens-Einheiten	106	Zeitarbeit	90
„ mit Selbstinduktion in		Zerograph nach Leo Kamm	52
Hintereinanderschaltung	128	Zink	101, 103, 105
Widerstände mit Selbstinduktion in		Zinn	101, 103, 105
Nebeneinanderschaltung	130	Zusammensetzung periodischer Grö-	
Wilde	70, 71	ßen	120, 121
Wilke	45, 48, 49		

Berichtigungen:

Seite 17, Zeile 4 v. o. lies Q, statt q.

„ 45, „ 8 v. o. sind nach σ die Worte „eines Körpers“ einzuschalten.

„ 50, „ 2 v. o. lies 2·31, statt 0·4, denn $N = \frac{R-r}{h} = \frac{96-22}{2 \cdot 31} \approx 32$.

„ 80, „ 13 v. o. lies Glimmerplatte, statt Silberplatte.

„ 84, „ 4 v. o. lies Physikalische, statt Elektrische

„ 92, „ 11 v. u. lies L^2 statt L .

„ 93, „ 12 v. u. lies $\frac{M}{V}$, statt $M V$.

„ 93, „ 11 v. u. lies $J = \frac{L^{3/2} M^{1/2} T^{-1}}{I^3} = L^{-1/2} M^{1/2} T^{-1}$,

statt $J = \frac{L^{3/2} M^{1/2} T^{-1}}{M} = L^{3/2} M^{-1/2} T^{-1}$.

„ 93, „ 8 v. u. lies $1 M^{-1/2} K g^{1/2} S^{-1} = \frac{100^{-1/2} C^{-1/2} 1000^{1/2} G^{1/2}}{S} =$
 $= 10^{1/2} C^{-1/2} G^{1/2} S^{-1}$,

statt $1 M^{3/2} K g^{-1/2} S^{-1} = \frac{100^{3/2} C^{3/2} S^{-1}}{1000^{1/2} G^{1/2}} = 10^{7/2} C^{3/2} G^{-1/2} S^{-1}$.

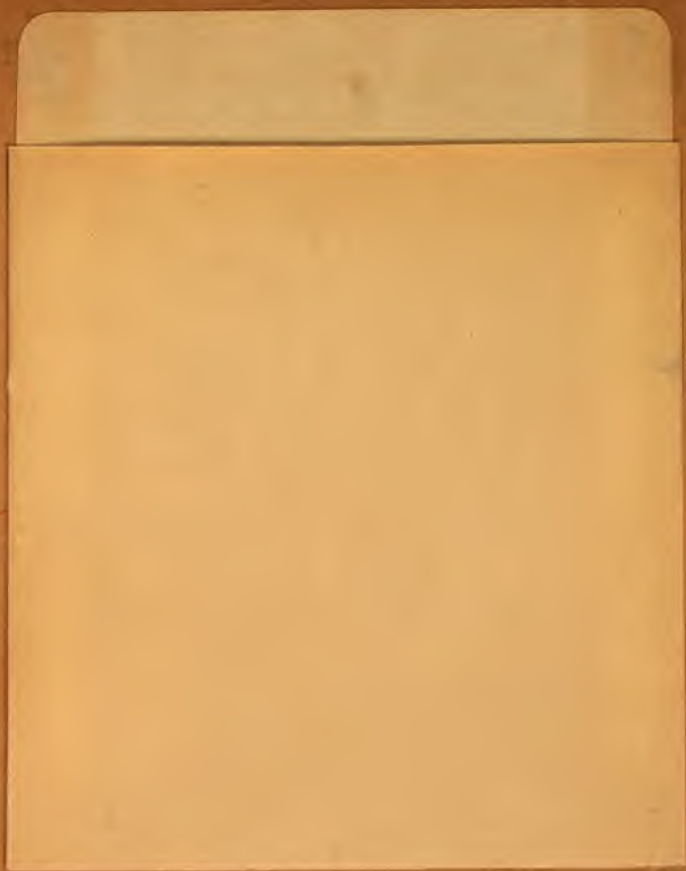
„ 95, „ 8 v. u. lies $F = \frac{L M T^{-2}}{L^{3/2} M^{1/2} T^{-1}} = L^{-1/2} M^{1/2} T^{-1}$,

statt $F = \frac{L M T^{-2}}{L^3 M^{1/2} T^{-1}} = L^{-1} M^{1/2} T^{-1}$.

89089682892



B89089682892A



89089682892



b89089682892a